



Tema 6:

Diseño multiciclo del procesador

Fundamentos de computadores II

José Manuel Mendías Cuadros

Dpto. Arquitectura de Computadores y Automática

Universidad Complutense de Madrid





Contenidos

- ✓ Introducción.
- ✓ Diseño de la ruta de datos.
- ✓ Diseño del controlador.
- ✓ Comparativa: monociclo vs. multiciclo.
- ✓ Métricas de rendimiento.

- ✓ Apéndice tecnológico.

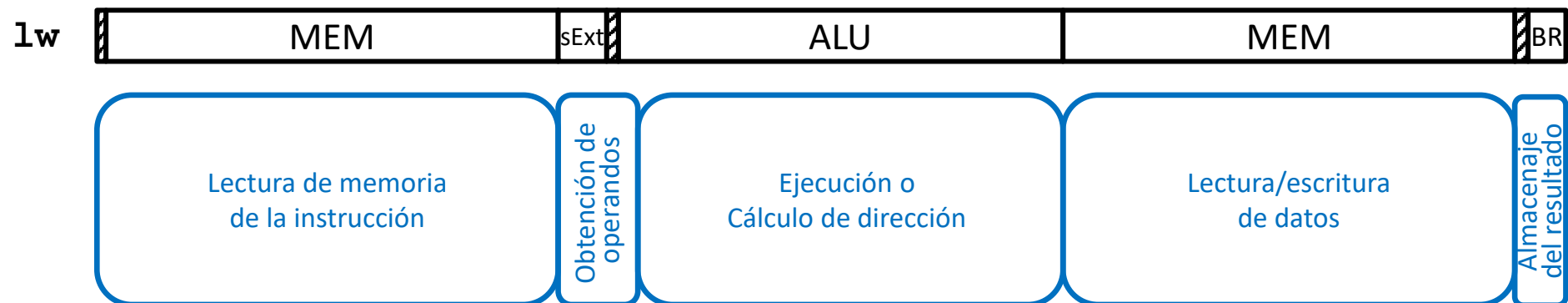
Transparencias basadas en los libros:

- S.L. Harris and D. Harris. *Digital Design and Computer Architecture. RISC-V Edition.*
- D.A. Patterson and J.L. Hennessy. *Computer Organization and Design. RISC-V Edition.*



Introducción

- El **procesador multiciclo** trata de solventar los problemas del monociclo **dividiendo en varias etapas** la ejecución de una instrucción:
 - El **tiempo de ciclo** viene dado por la **etapa más lenta**.
 - Será muy inferior al tiempo de ciclo del procesador monociclo.
 - Cada **instrucción tardará un tiempo distinto en ejecutarse** por requerir un número diferente de ciclos de reloj para hacerlo.
 - El **tiempo de ejecución** de una instrucción será **proporcional a su complejidad**.
 - **Se puede reusar hardware** siempre que se utilice en ciclos distintos.
 - Requiere de una única ALU y una única memoria para instrucciones y datos.

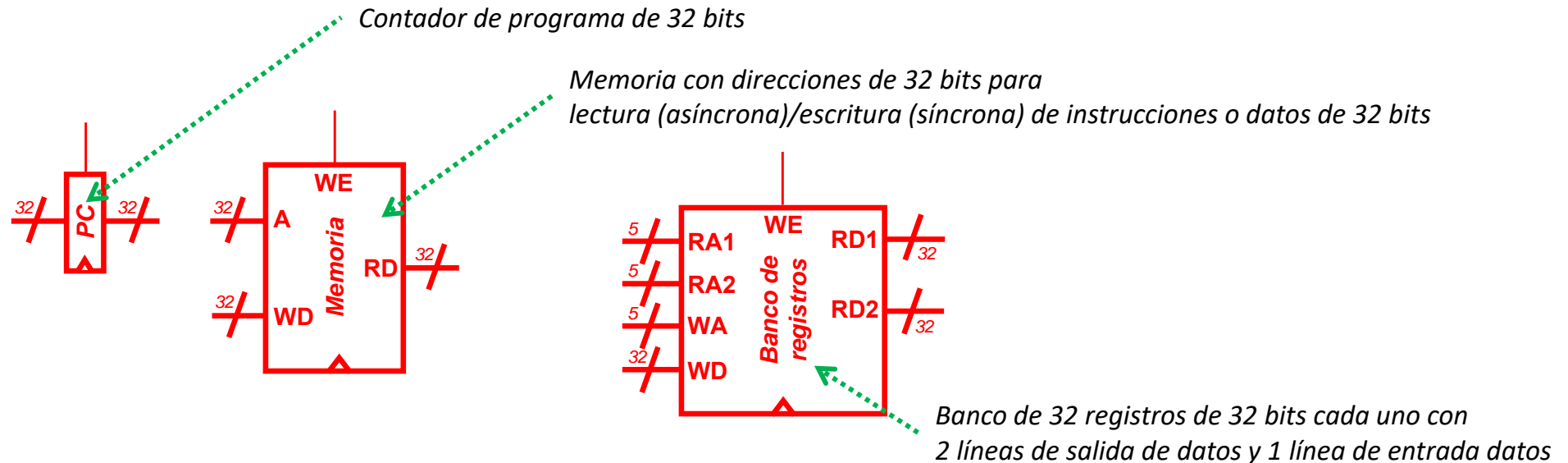




Diseño de la ruta de datos

Elementos de almacenamiento “arquitectónicos”

- Los elementos de almacenamiento visibles al programador, son los **mismos** que en procesador monociclo.



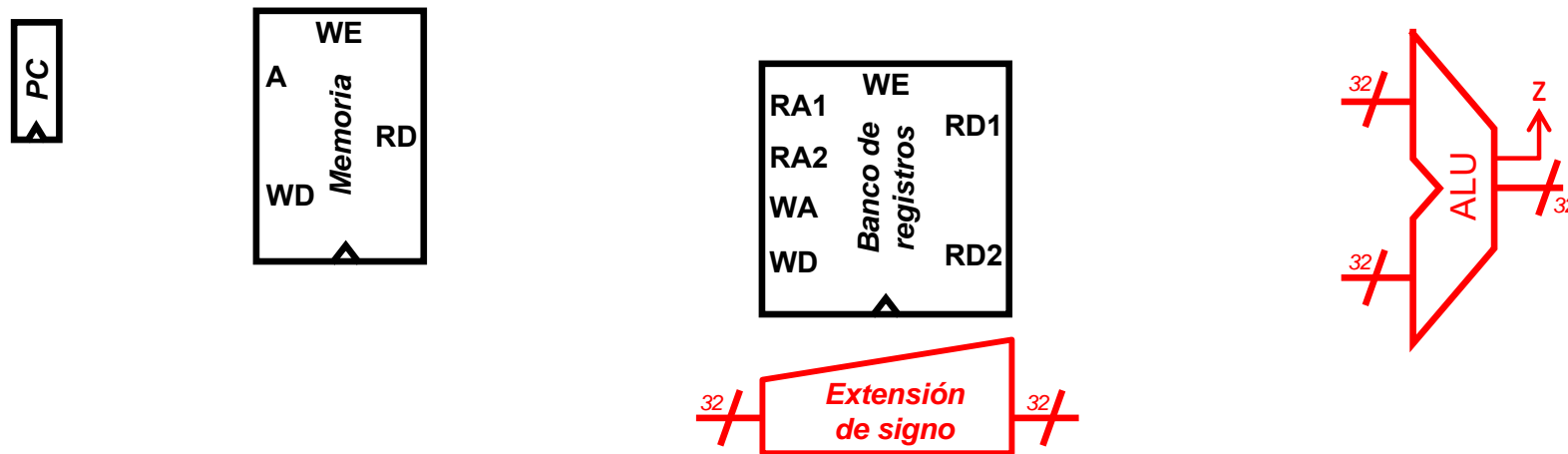
- Sin embargo, el procesador multiciclo tiene una única **memoria unificada**.
 - Las **instrucciones se leen** de memoria en un **ciclo de reloj distinto** al ciclo en que se **leen/escriben los datos** por lo que no es necesario tener 2.
- Además, el **PC** será un **registro convencional** con señal de carga.
 - En el procesador multiciclo el PC no se actualiza en todos los ciclos.



Diseño de la ruta de datos

Elementos funcionales

- Dispone también de una **ALU** y un **Extensor de Signo** combinacionales **idénticos** a los existentes en la implementación monociclo.



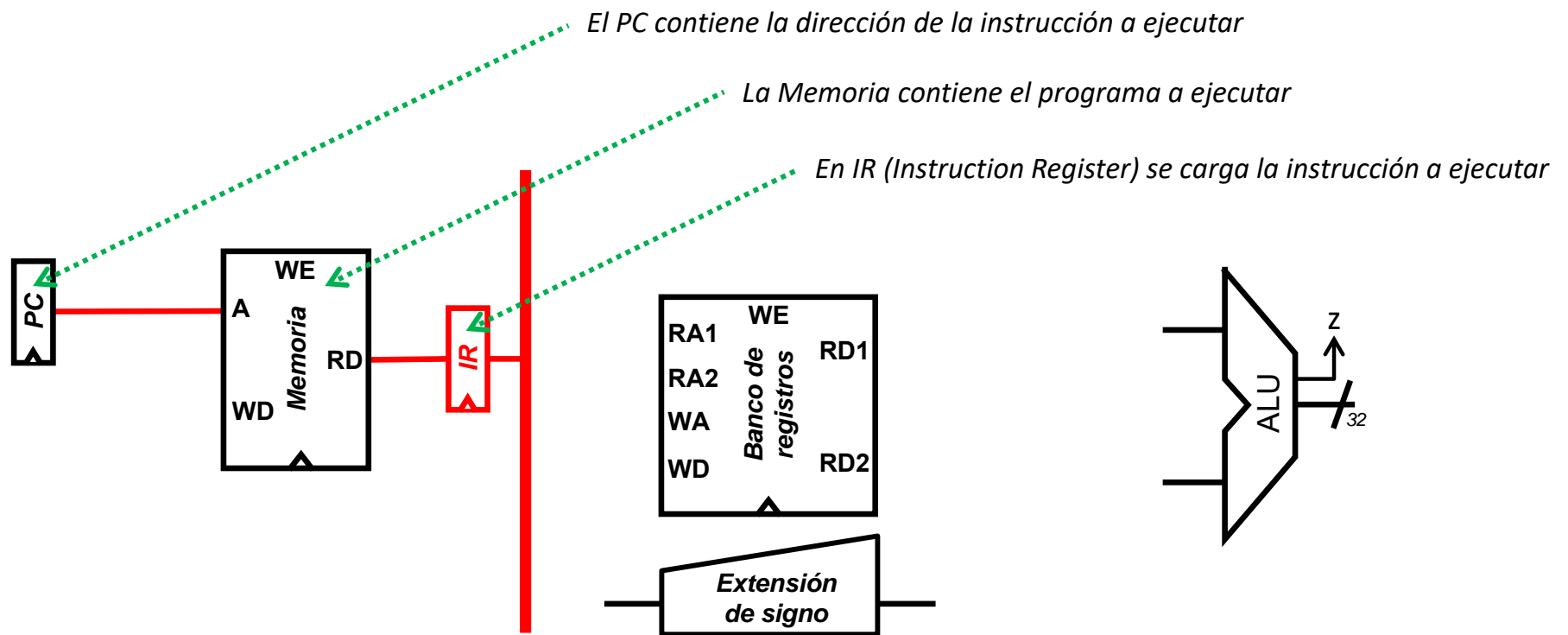
- En el procesador multiciclo, **la ALU se reutiliza** para hacer todas las operaciones aritméticas que sean necesarias.
 - **No existen sumadores adicionales** para operar con direcciones.



Diseño de la ruta de datos

Lectura de la instrucción

- La ejecución de toda instrucción comienza con su lectura de Memoria.



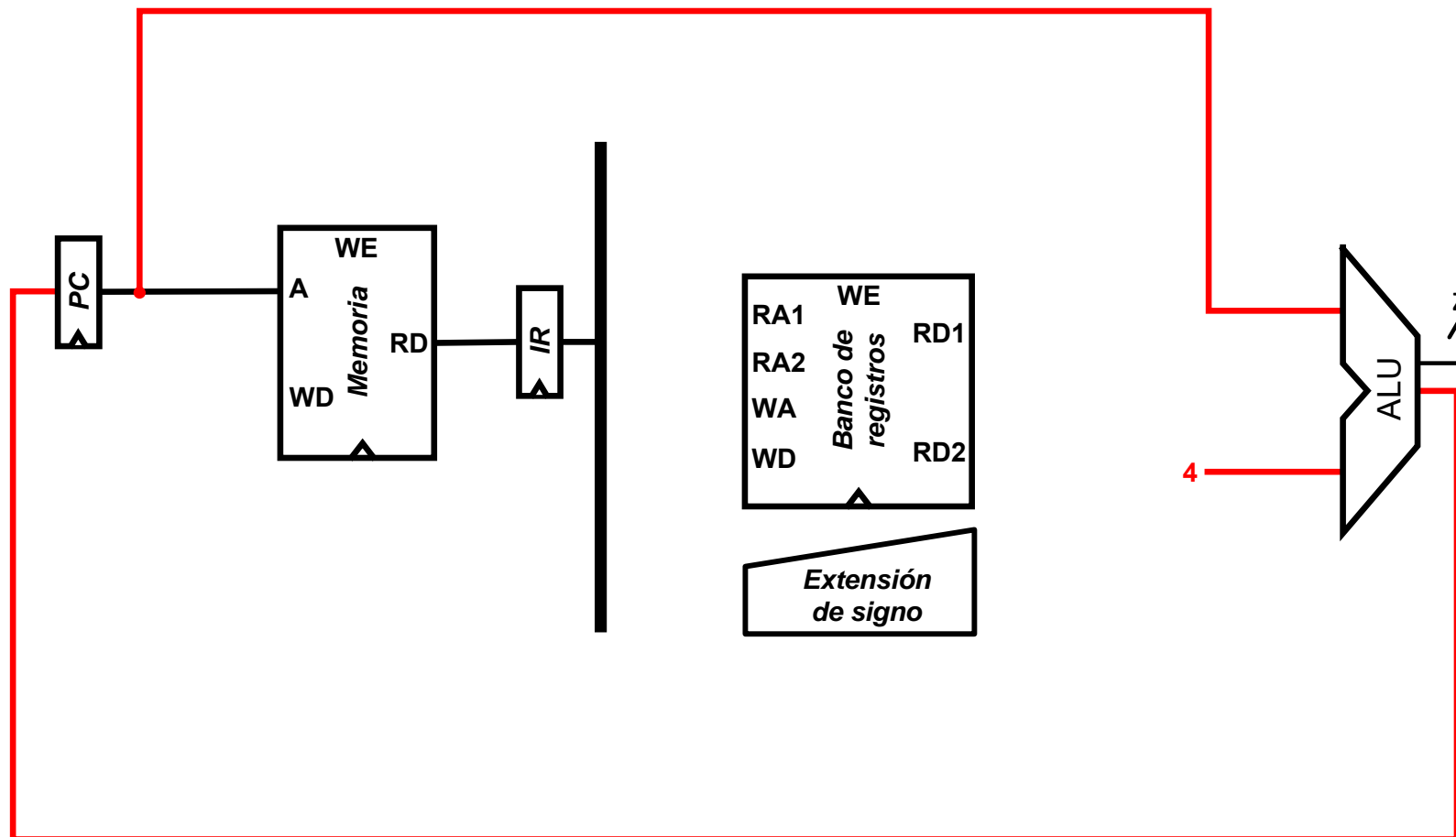
- La instrucción leída de Memoria se carga en el registro auxiliar IR que la almacenará durante todos los ciclos que dure su ejecución.



Diseño de la ruta de datos

Incremento del PC

- A la vez que se carga la instrucción en IR, puede actualizarse el PC con la dirección de la instrucción siguiente sumándole 4 en la ALU

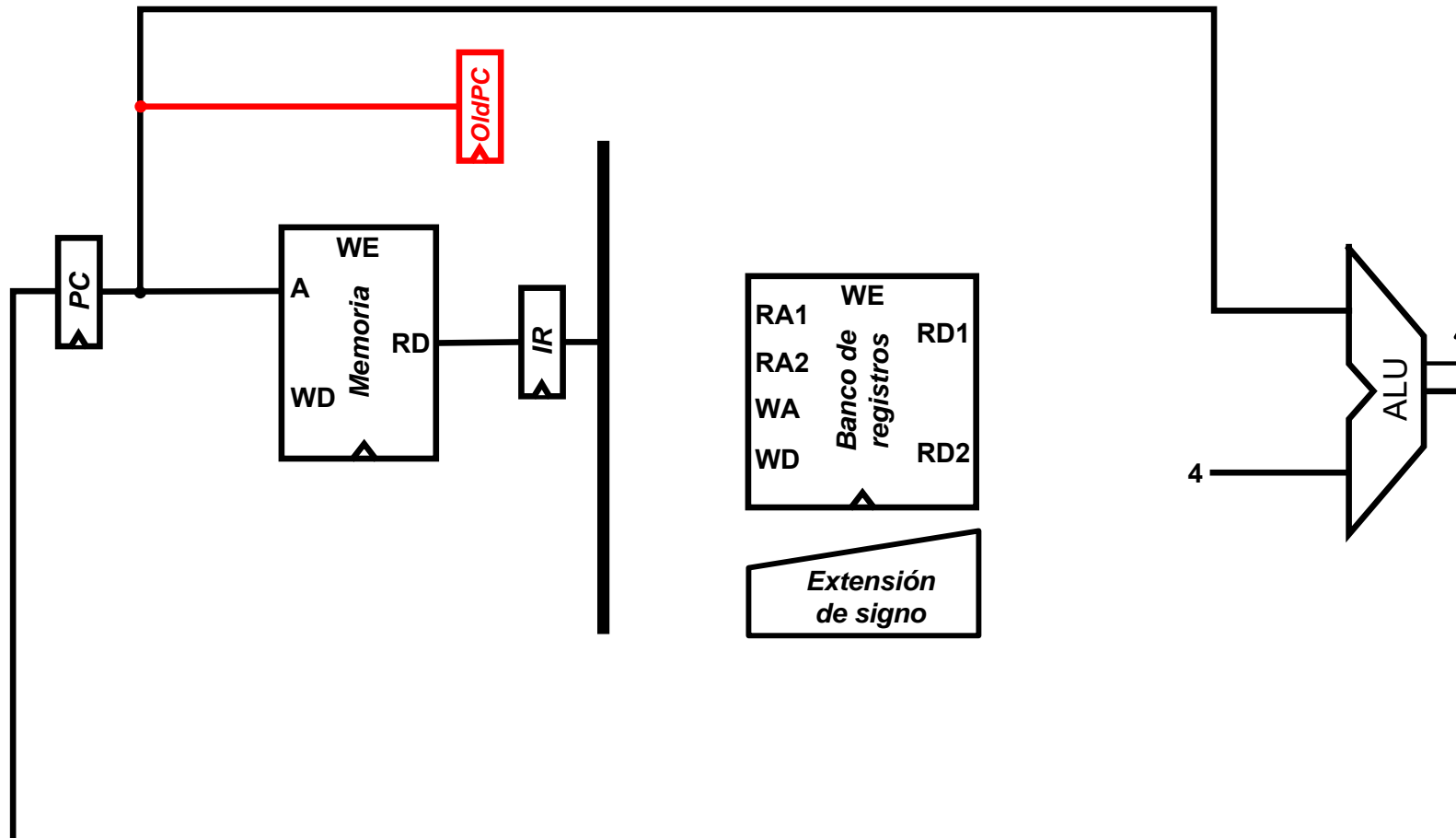




Diseño de la ruta de datos

Salvado de la dirección de la instrucción actual

- El PC sin incrementar se salva en el **registro auxiliar oldPC** para el cálculo de direcciones de salto relativas a PC (instrucciones `beq` o `ja1`).

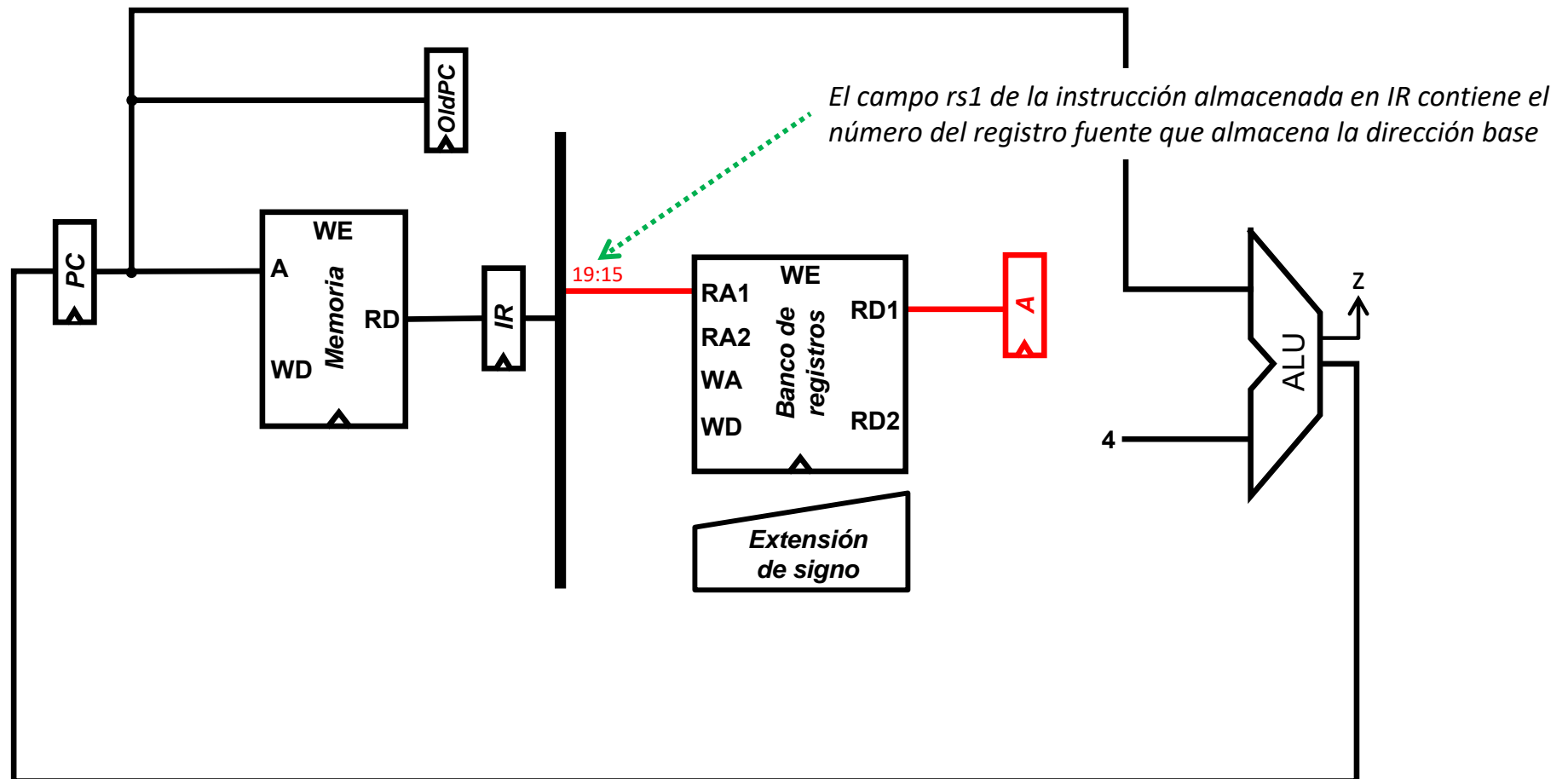




Diseño de la ruta de datos

Instrucción **lw**: lectura del registro base

- Para almacenar la dirección base contenida en el registro rs1 del Banco de Registros se añade el registro auxiliar A.



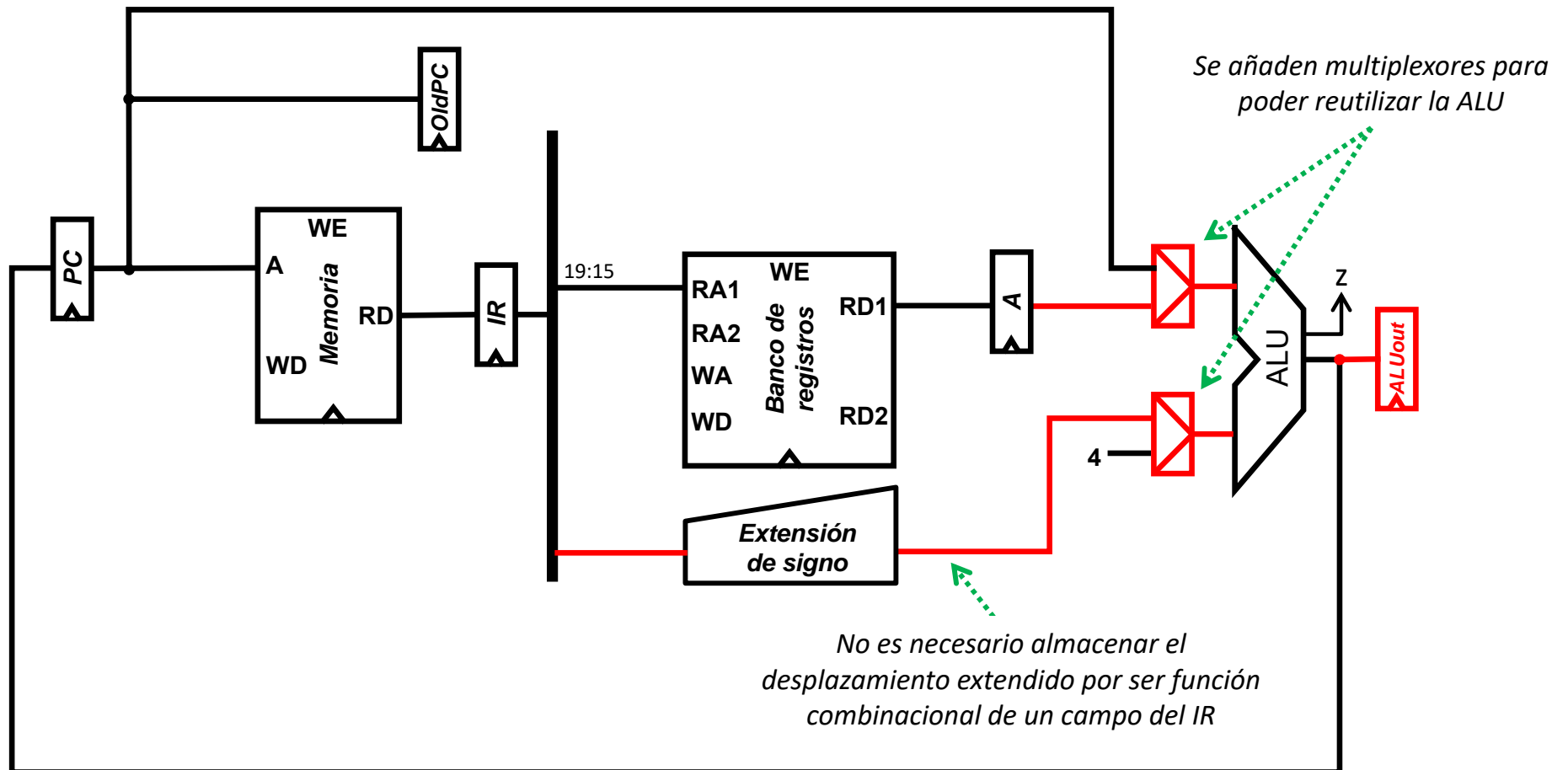
$$BR[rd] \leftarrow Mem[BR[rs1] + sExt(imm)], PC \leftarrow PC+4$$



Diseño de la ruta de datos

Instrucción **lw**: cálculo de la dirección efectiva

- El signo del desplazamiento se extiende, se suma en la ALU con la dirección base almacenada en A y se carga en el **registro auxiliar ALUout**.



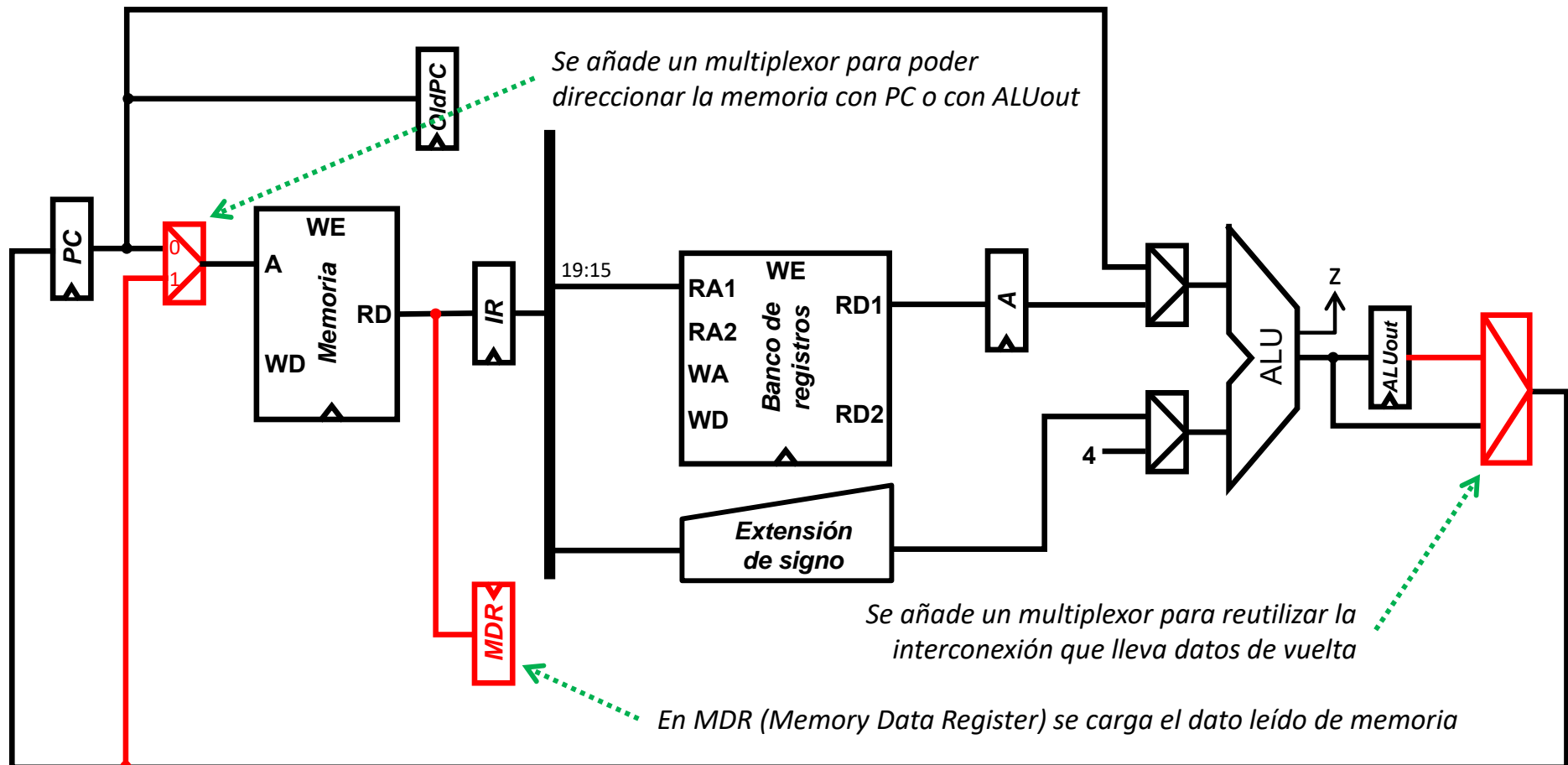
$$BR[rd] \leftarrow Mem[BR[rs1] + sExt(imm)], PC \leftarrow PC+4$$



Diseño de la ruta de datos

Instrucción lw: lectura del operando

- La memoria se direcciona con la dirección efectiva almacenada en ALUout y el dato leído se guarda en el **registro auxiliar MDR**.



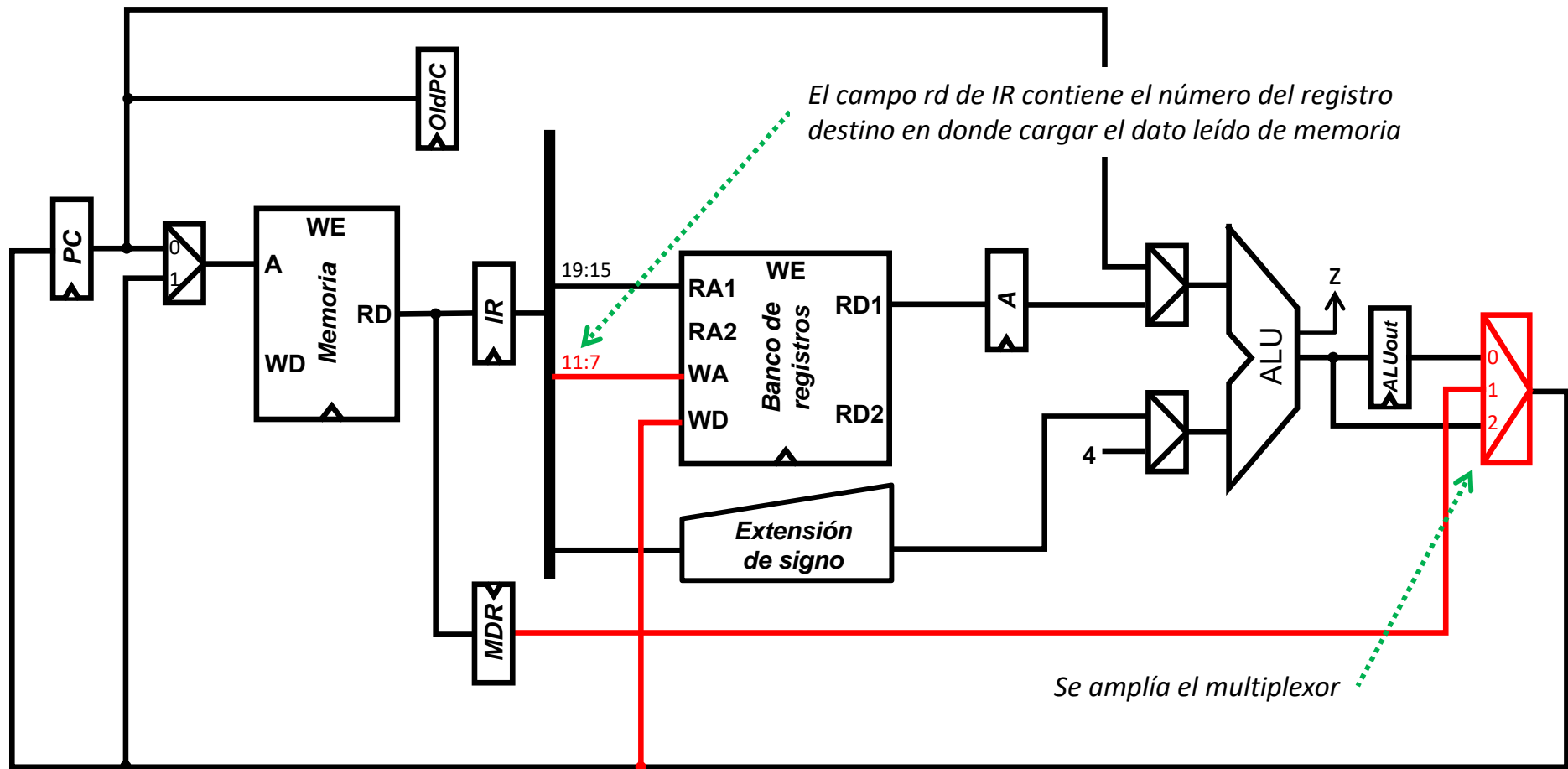
$$BR[rd] \leftarrow Mem[BR[rs1] + sExt(imm)], PC \leftarrow PC+4$$



Diseño de la ruta de datos

Instrucción **lw**: almacenaje del operando

- Se guarda en el **Banco de Registros** el dato almacenado en MDR (previamente leído de Memoria).



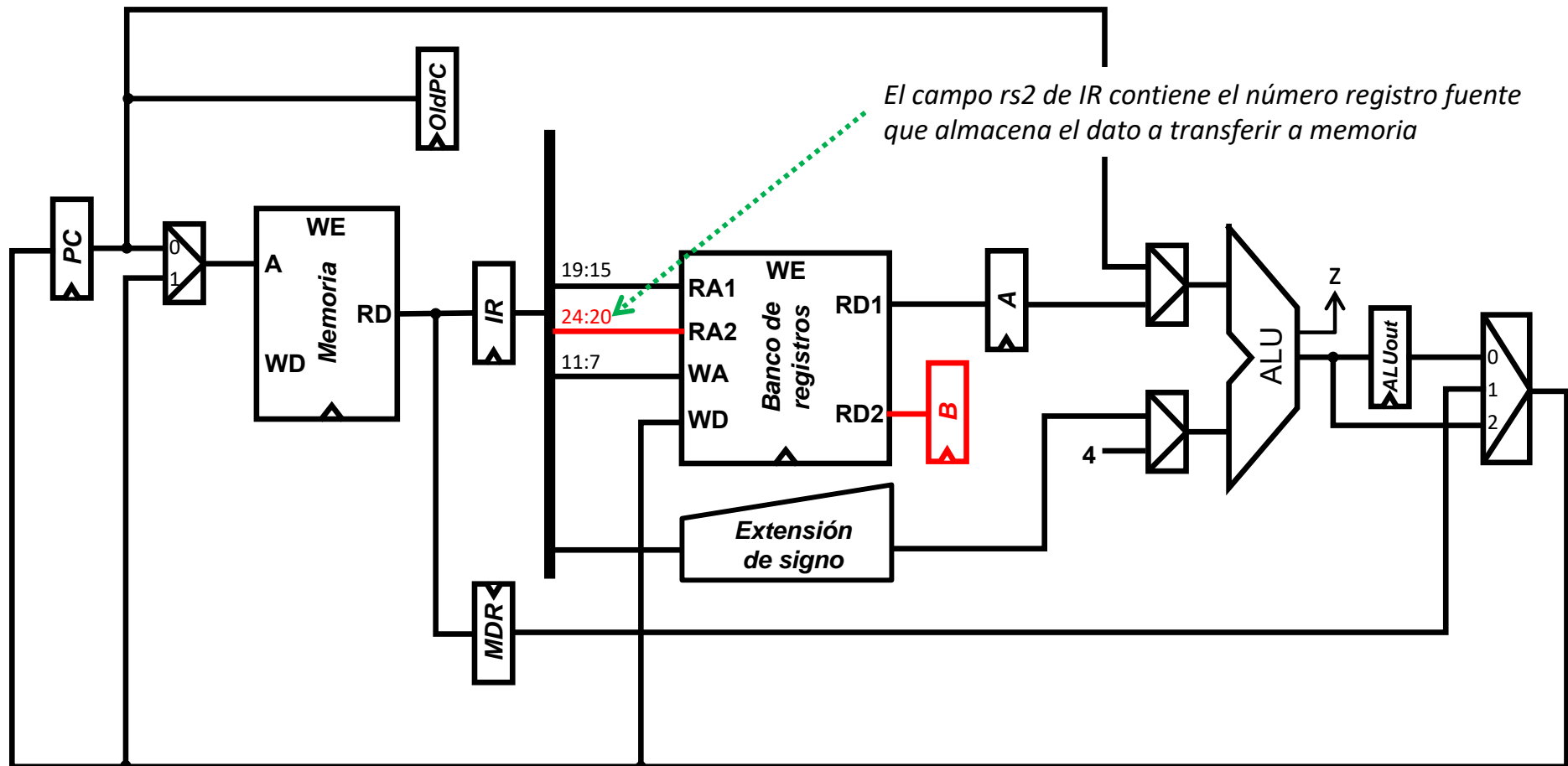
$$BR[rd] \leftarrow Mem[BR[rs1] + sExt(imm)], PC \leftarrow PC+4$$



Diseño de la ruta de datos

Instrucción **sw**: lectura del operando

- Se añade el **registro auxiliar B** para almacenar el dato contenido en el registro rs2 del Banco de Registros



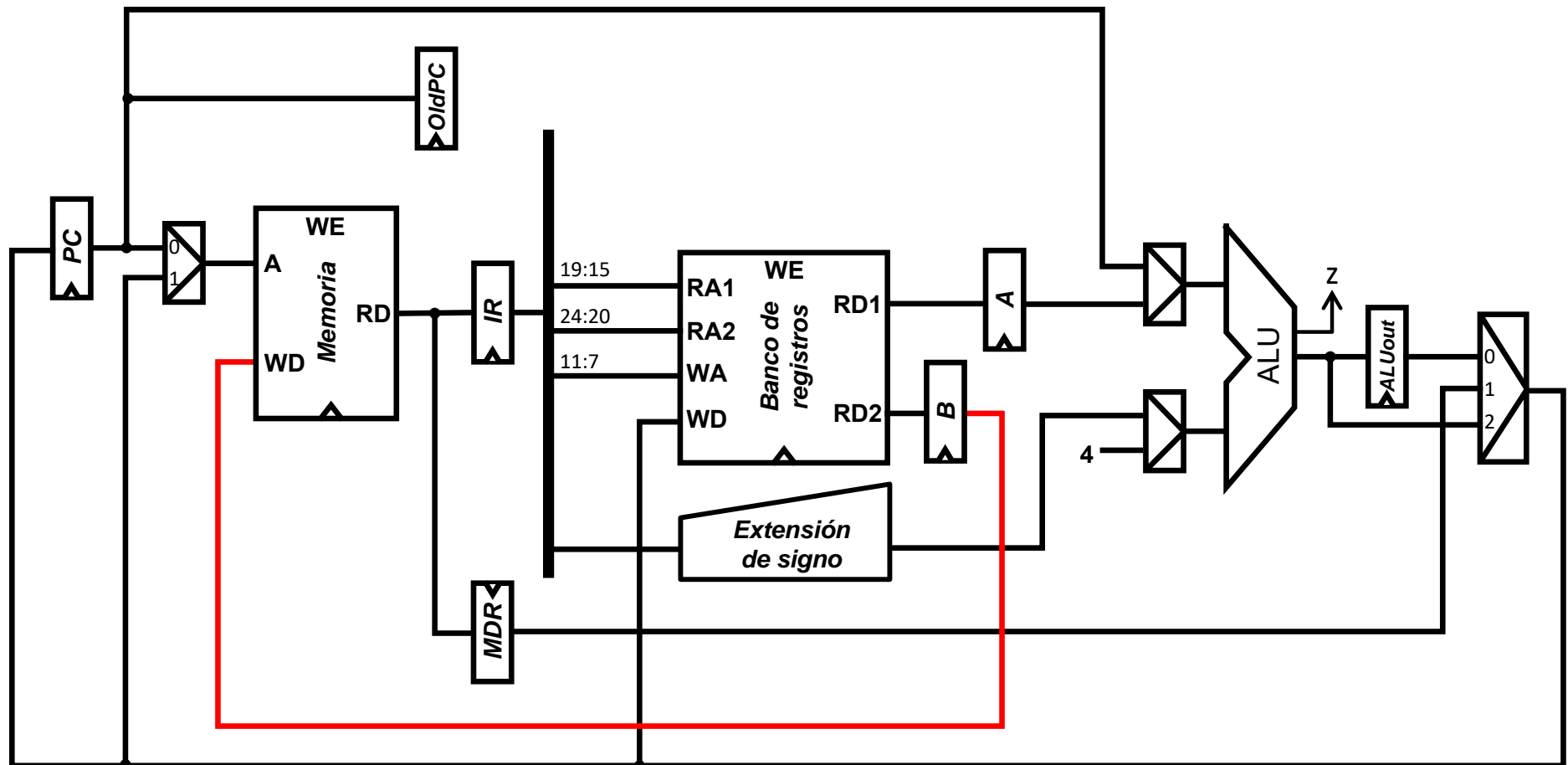
$$\text{Mem}[\text{BR}[\text{rs1}] + \text{sExt}(\text{imm})] \leftarrow \text{BR}[\text{rs2}], \text{PC} \leftarrow \text{PC} + 4$$



Diseño de la ruta de datos

Instrucción sw: almacenaje del operando

- Se guarda en **Memoria** el dato almacenado en B (leído previamente del Banco de Registros).



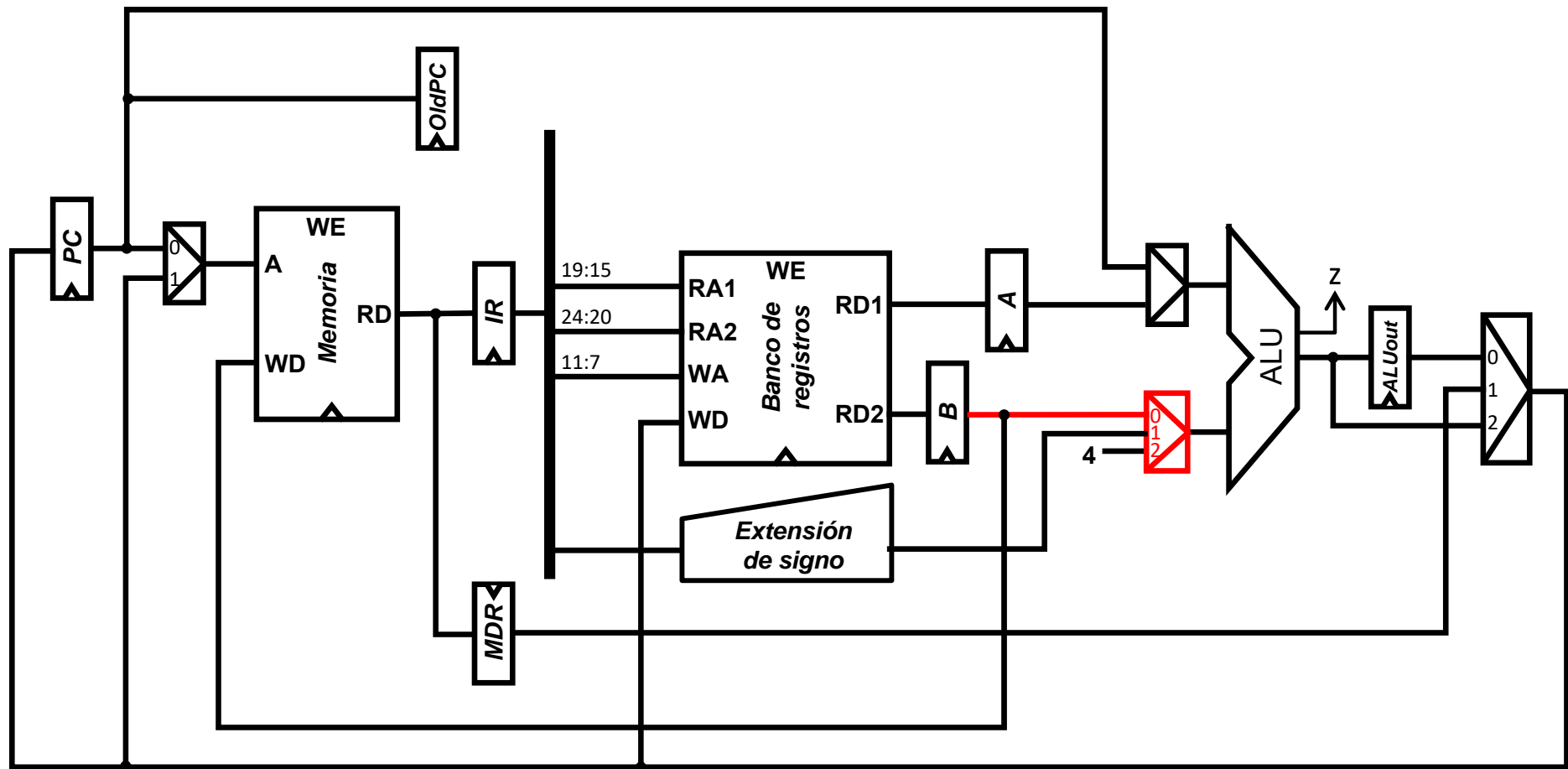
$$\text{Mem}[\text{BR}[\text{rs1}] + \text{sExt}(\text{imm})] \leftarrow \text{BR}[\text{rs2}], \text{PC} \leftarrow \text{PC}+4$$



Diseño de la ruta de datos

Instrucciones tipo **add**: cálculo de operación

- Se **amplia el multiplexor** para reutilizar la ALU para que realice las operaciones aritmético lógicas con ambos operandos en el BR



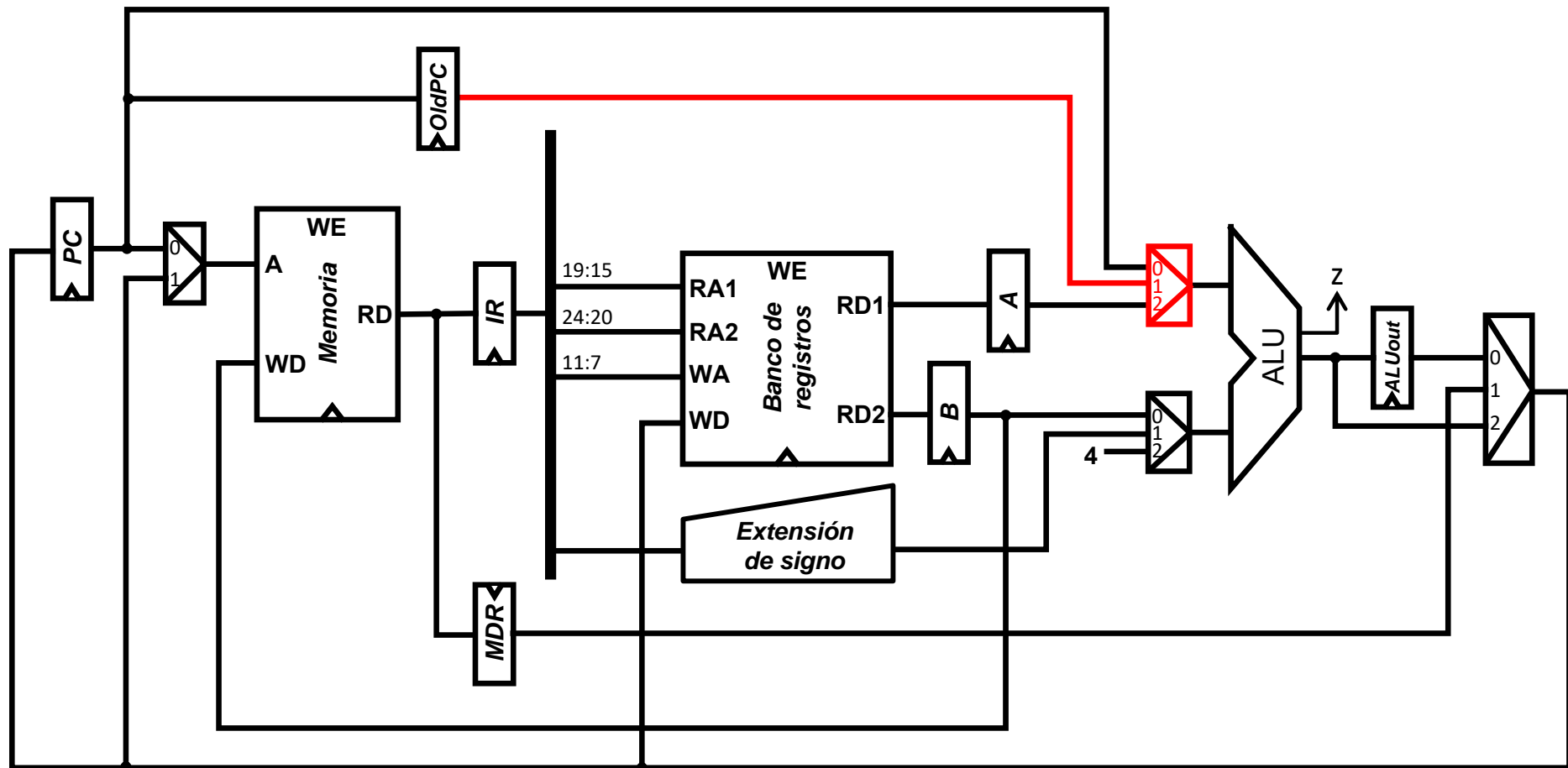
$$BR[rd] \leftarrow BR[rs1] \text{ op } BR[rs2], PC \leftarrow PC+4$$



Diseño de la ruta de datos

Instrucción **beq**: cálculo de la dirección de salto

- Se **amplia el multiplexor** para poder reutilizar la ALU para realizar el cálculo de la dirección de salto.



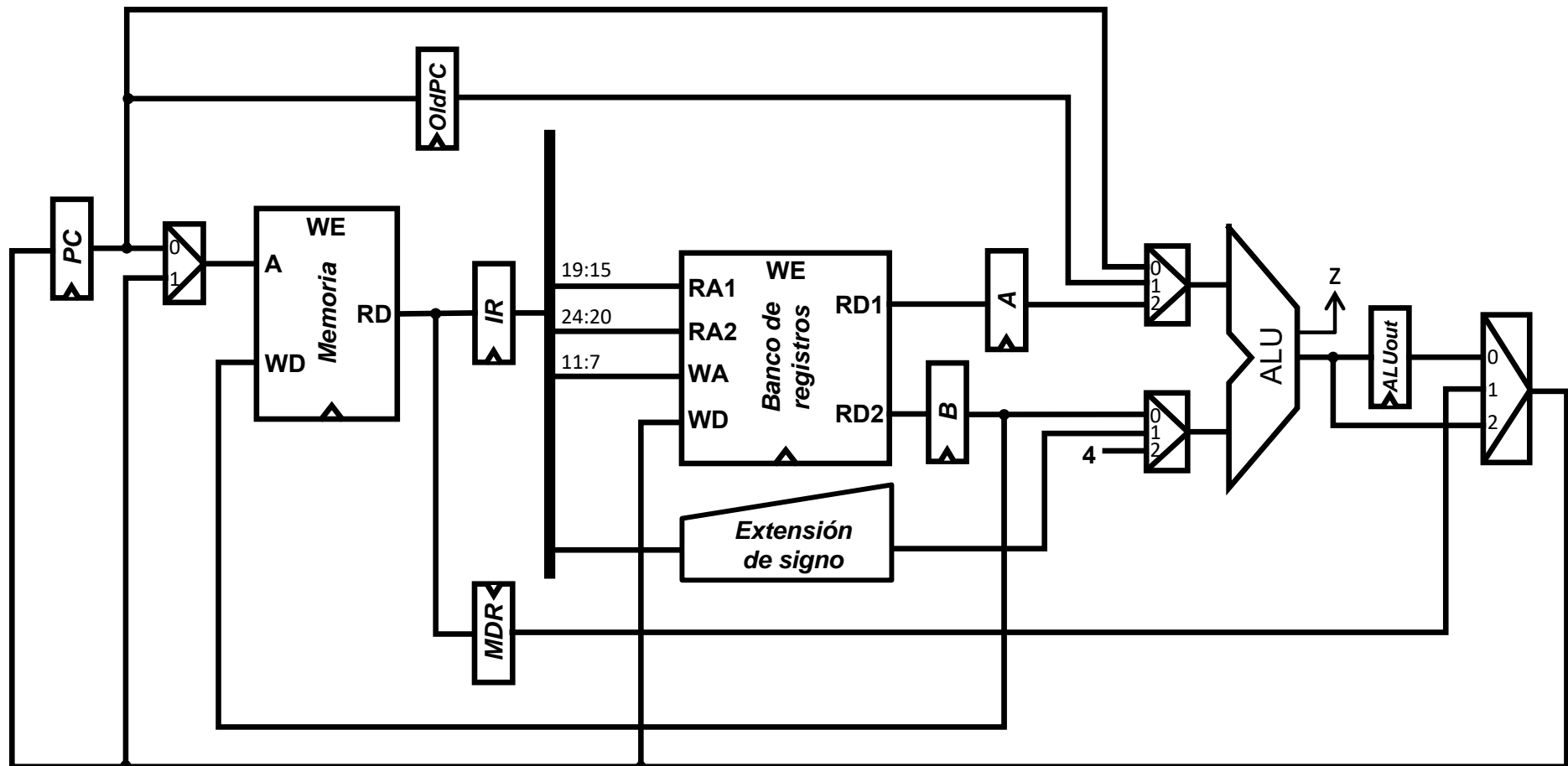
$$PC \leftarrow \text{if} (BR[rs1] = BR[rs2]) \text{ then } (PC + sExt(imm)) \text{ else } (PC+4)$$



Diseño de la ruta de datos

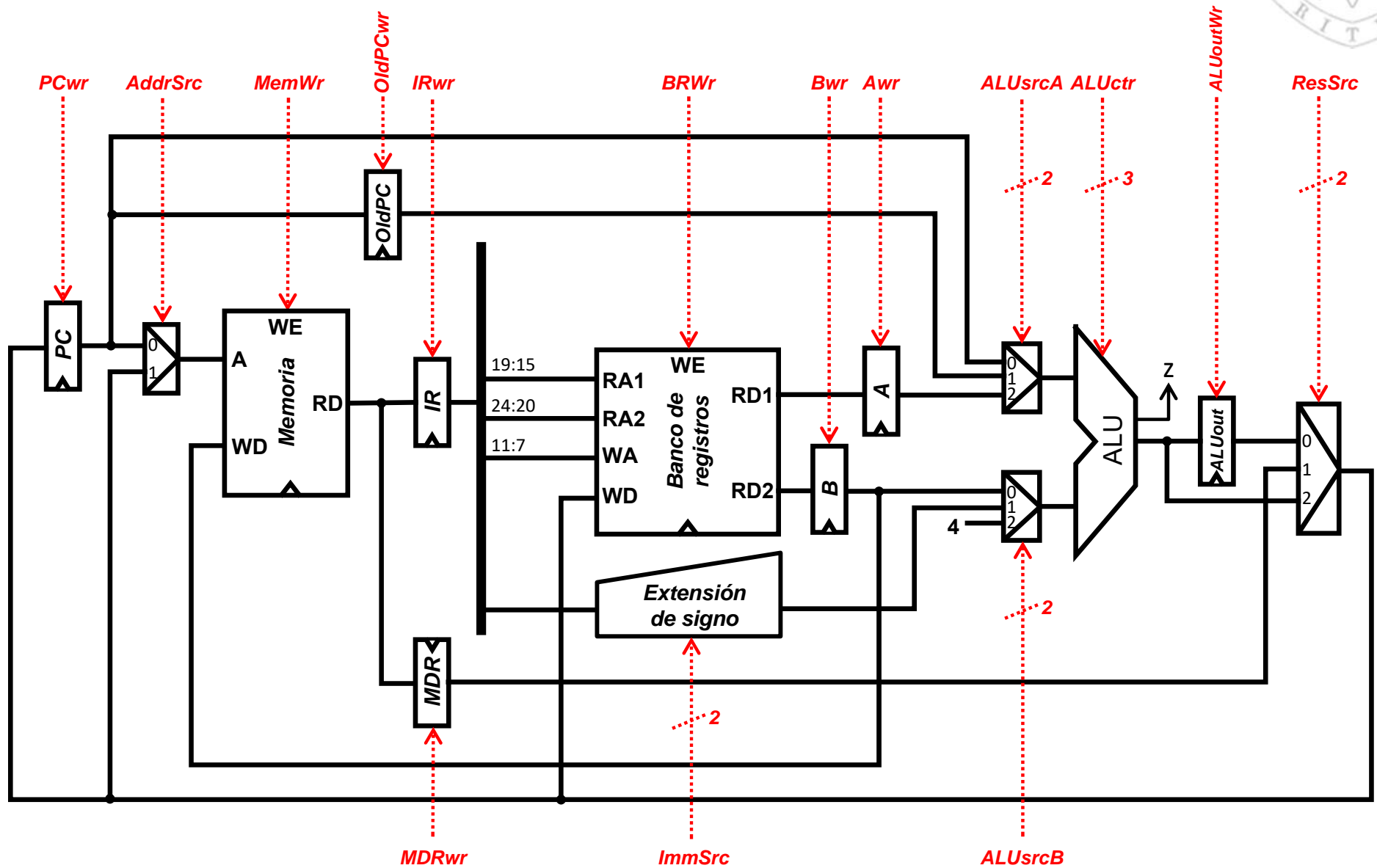
Ruta de datos RISC-V reducido

- Esta ruta de datos puede ejecutar cualquier secuencia de instrucciones del repertorio del RISC-V reducido.



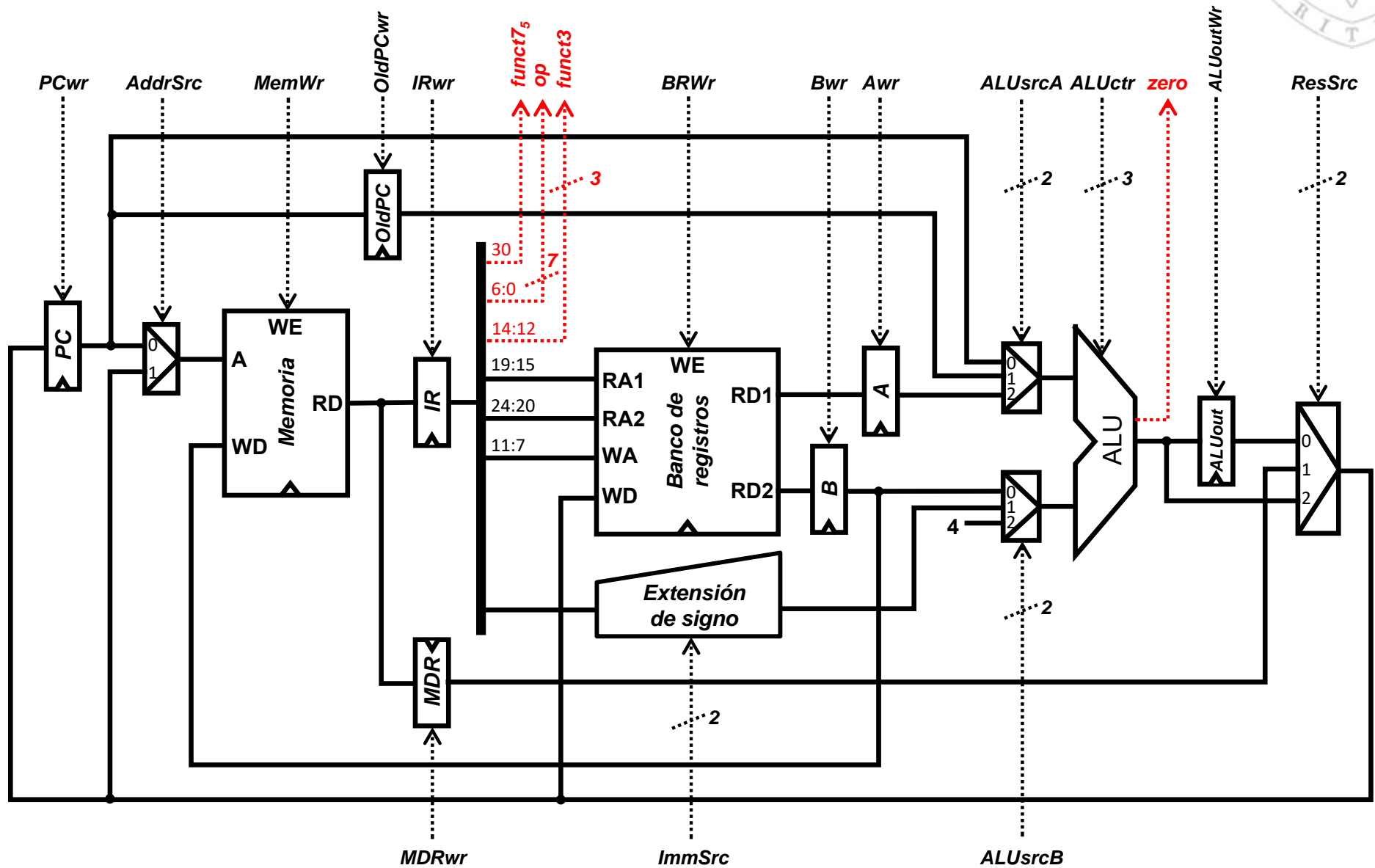
Diseño de la ruta de datos

Señales de control



Diseño de la ruta de datos

Señales de estado

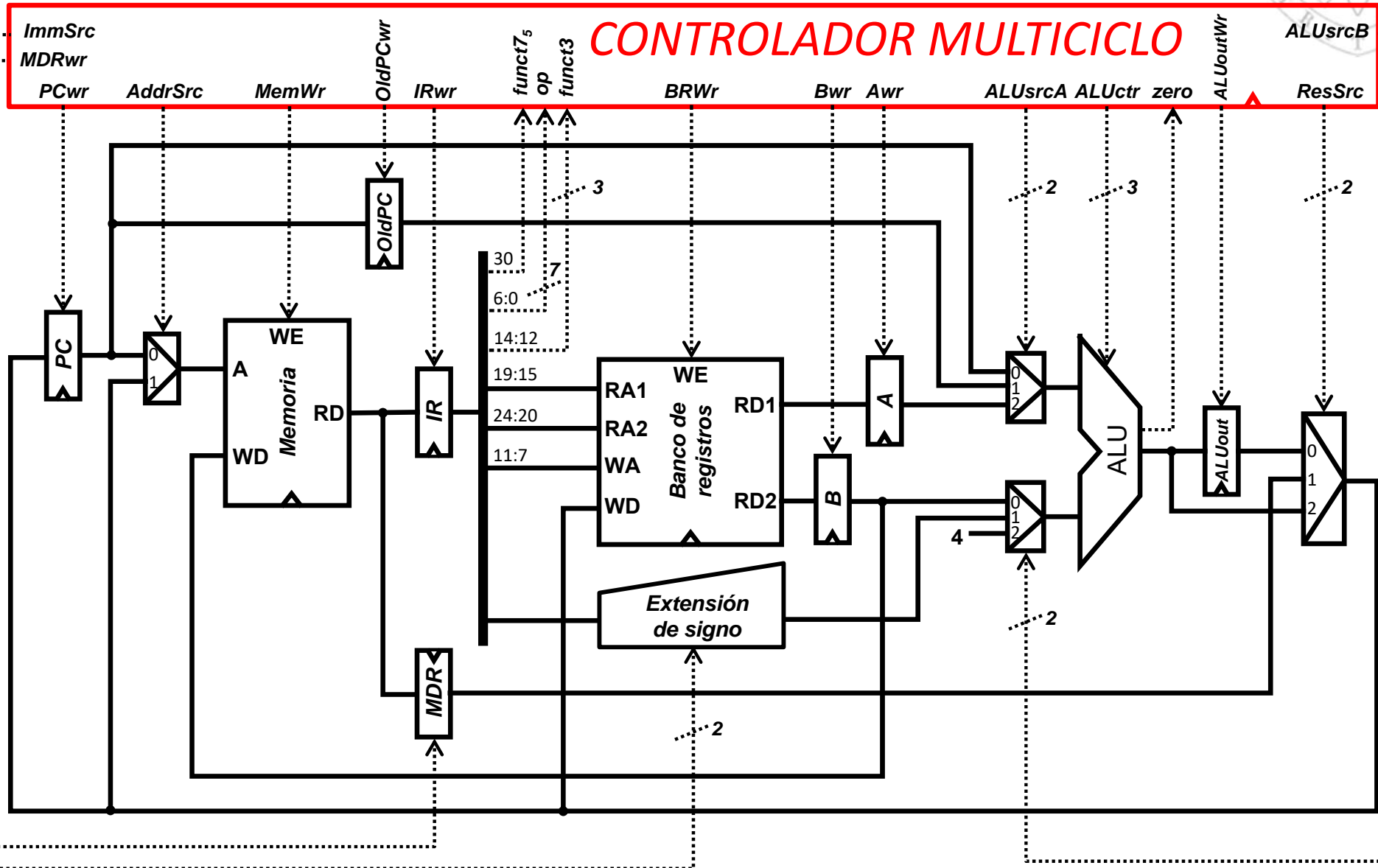


Diseño de la ruta de datos

Conexión con el controlador



CONTROLADOR MULTICICLO



Diseño de la ruta de datos

Conexión de reloj y reset

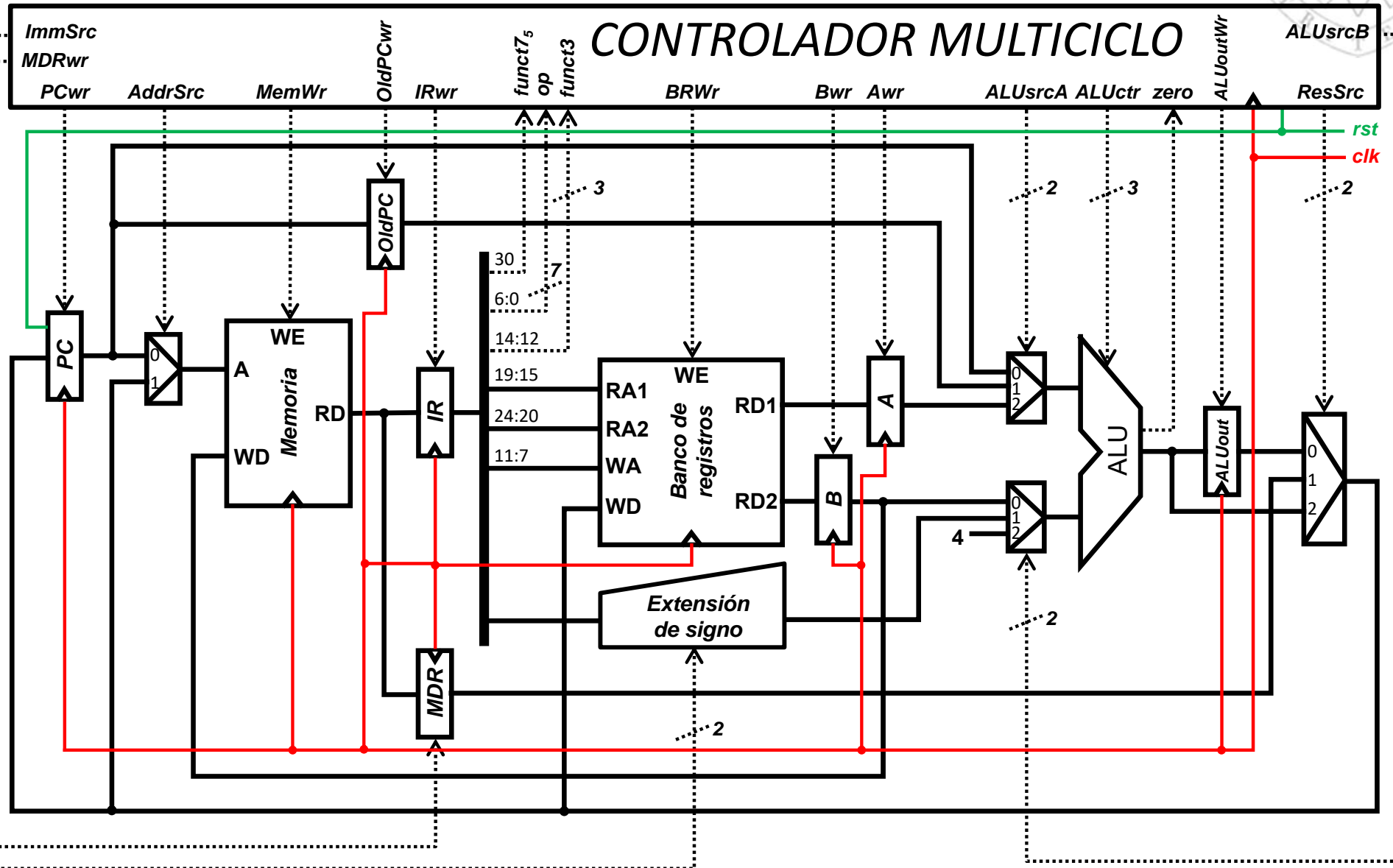


versión 27/10/23

tema 6:
Diseño multiciclo del procesador

FC-2

21



Diseño de la ruta de datos

Estructura del sistema completo

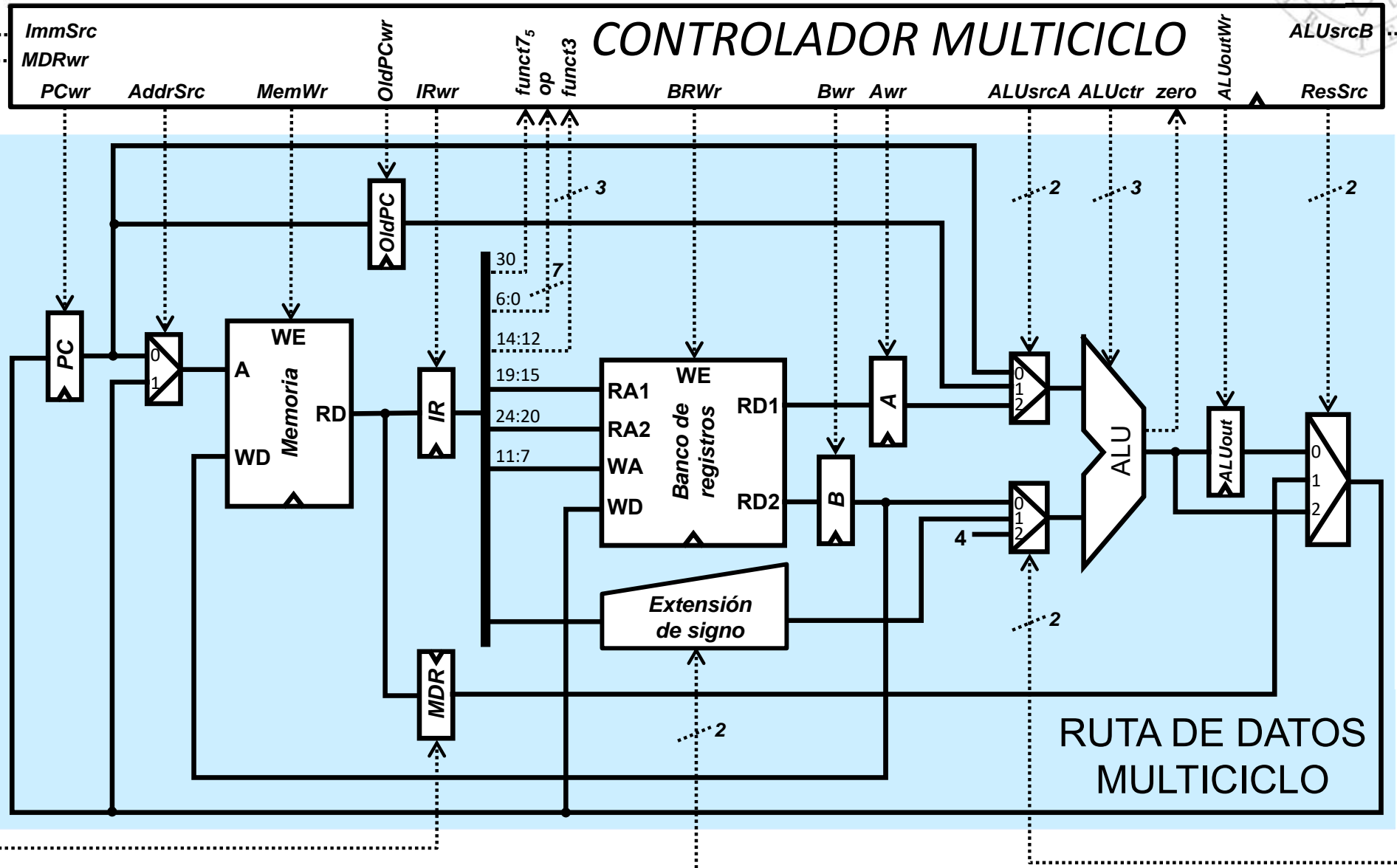


versión 27/10/23

tema 6:
Diseño multiciclo del procesador

FC-2

22

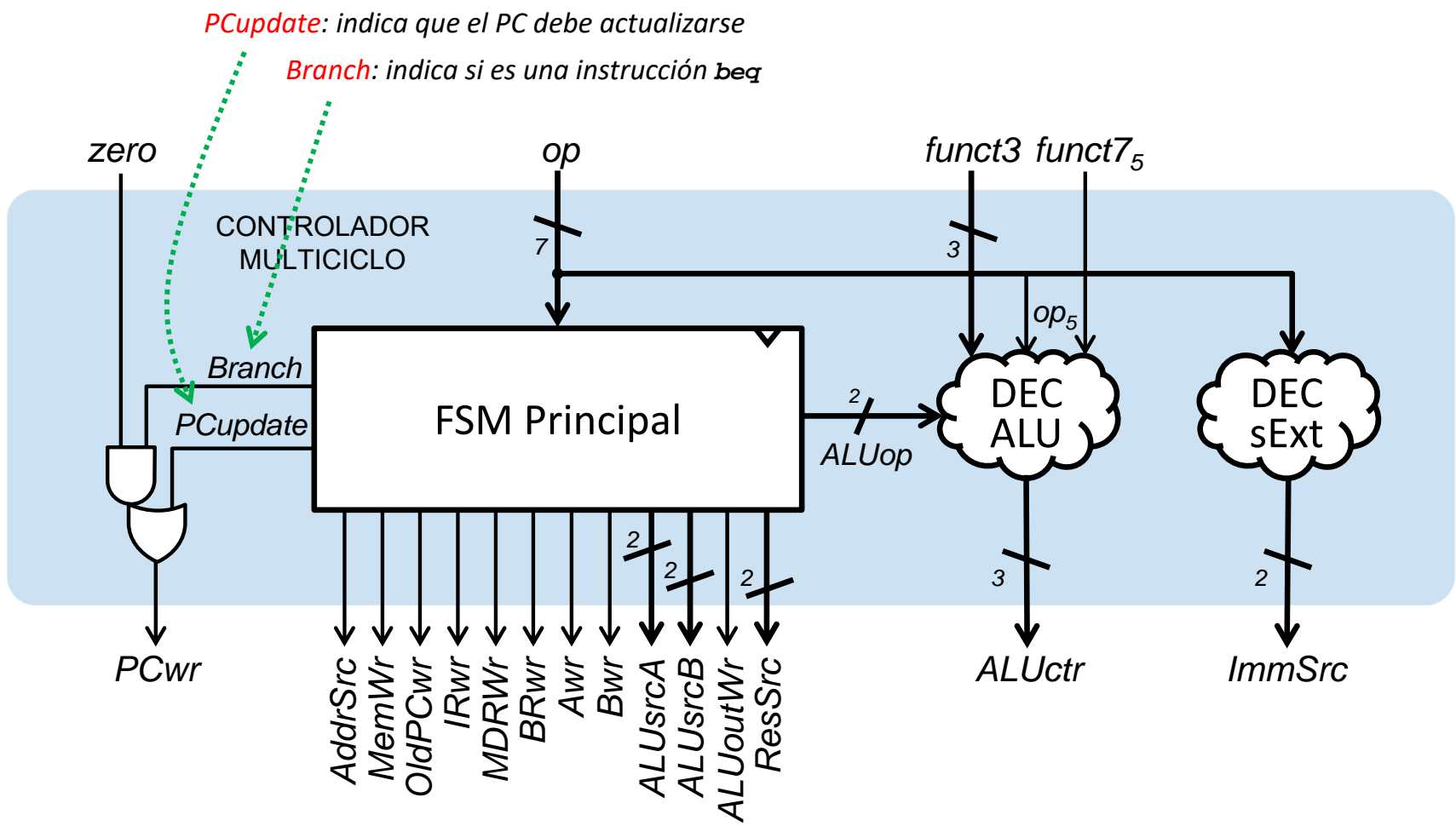




Diseño del controlador

Estructura del controlador (i)

- En el **procesador multiciclo**, el controlador es un **circuito secuencial**:
 - Con una estructura en **4 subcircuitos** análoga al controlador monociclo



Diseño del controlador

Estructura del controlador (ii)

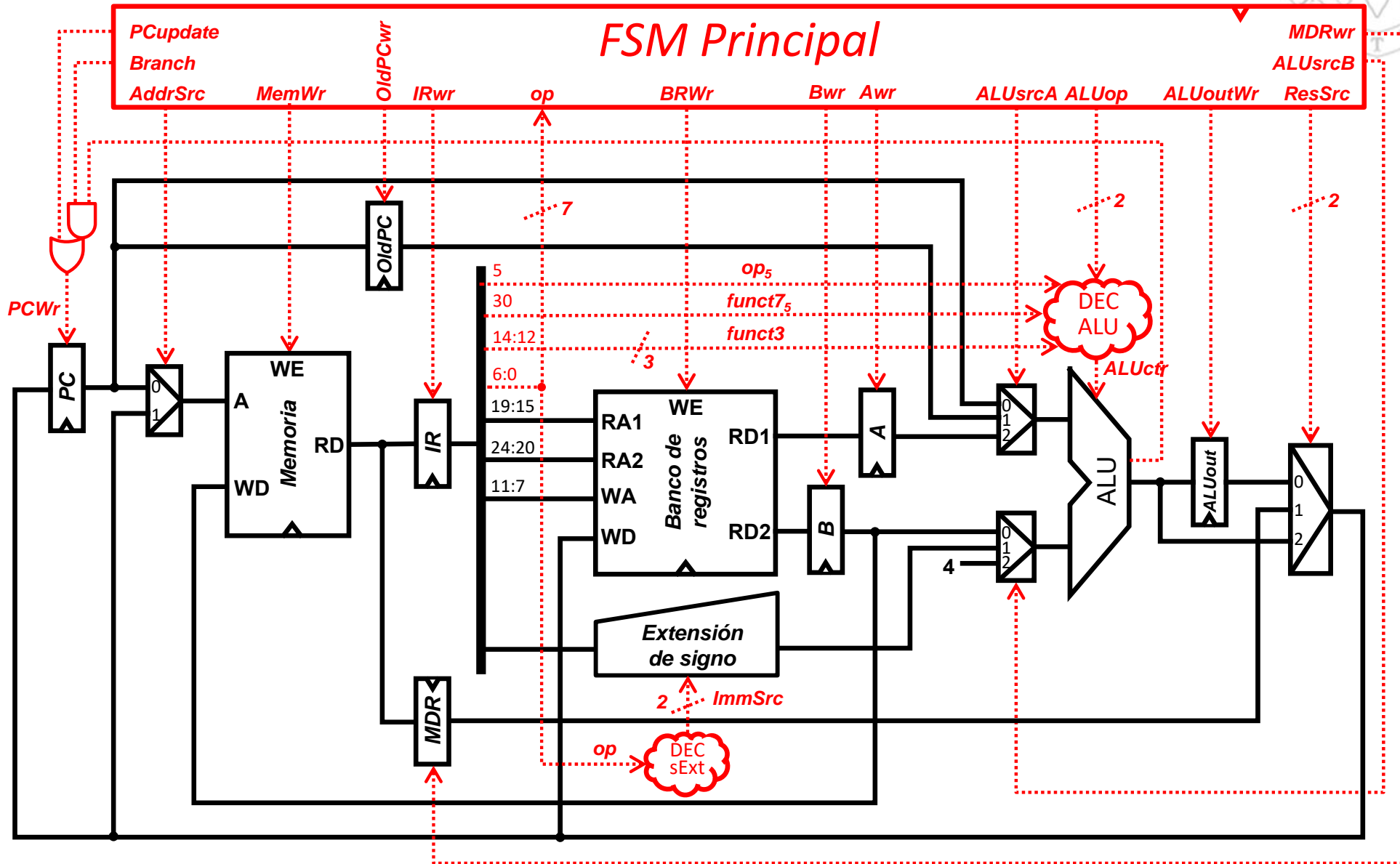


versión 27/10/23

tema 6:
Diseño multiciclo del procesador

FC-2

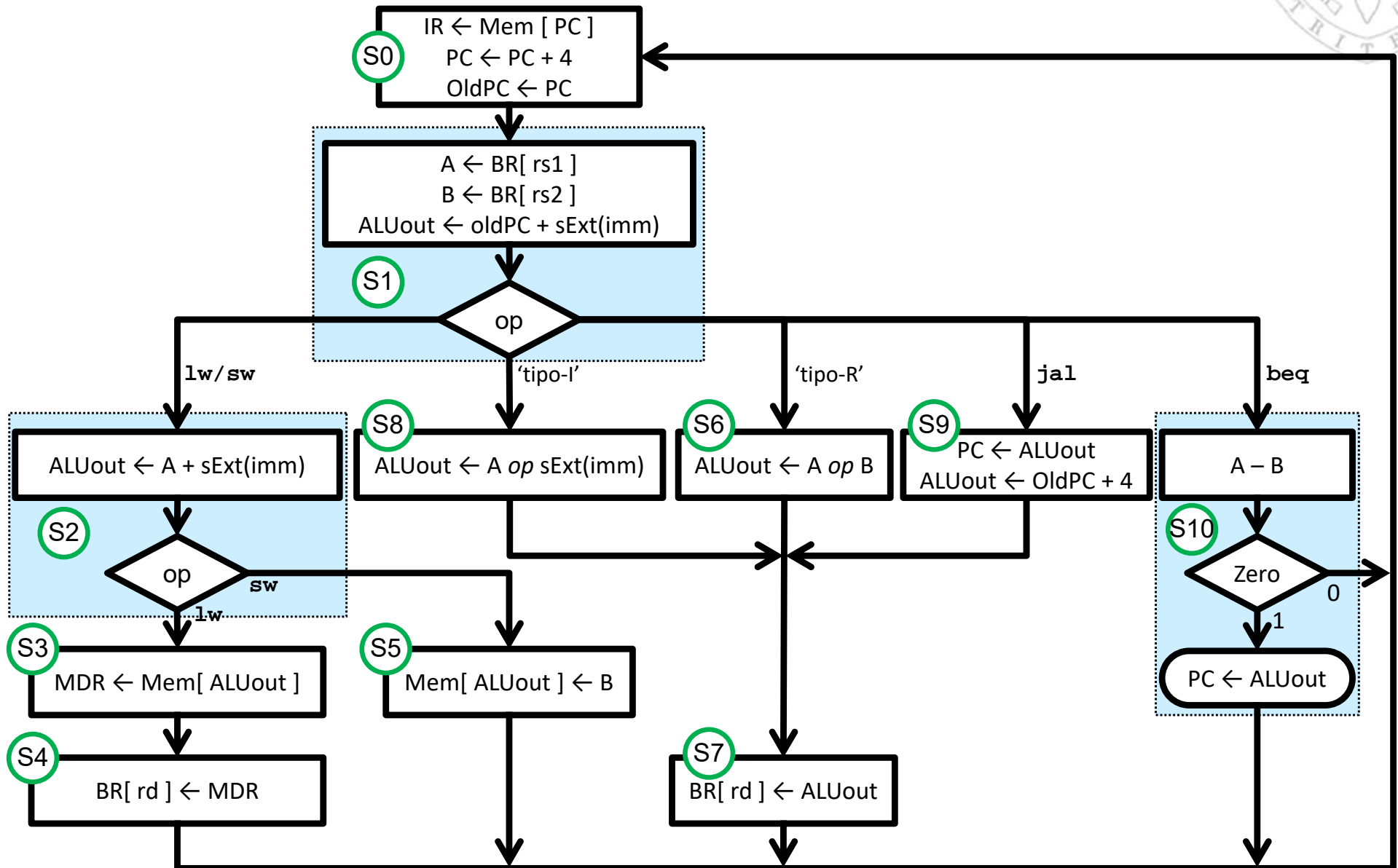
24





Diseño del controlador

diagrama ASM completo de la FSM principal





Diseño del controlador

ciclo de instrucción (i)

- Conceptualmente la ejecución de instrucciones se efectúa pasando cíclicamente por 5 etapas:
 - Búsqueda en memoria de la instrucción
 - Decodificación y obtención de operandos
 - Ejecución o cálculo de dirección
 - Acceso a memoria de datos
 - Escritura del resultado
- Es lo que se conoce como **ciclo de instrucción**
 - En el procesador multiciclo cada fase se realiza en 1 ciclo de reloj.
 - Cada instrucción tarda un número distinto de ciclos, según las fases del ciclo de instrucción que deba realizar:

IF: Instruction Fetch
ID: Instruction Decode
EX: Execution
MEM: Memory R/W
WB: Write-Back

Instrucción	# de ciclos
lw	5
sw / jal / aritmético-logicas	4
beq	3



Diseño del controlador

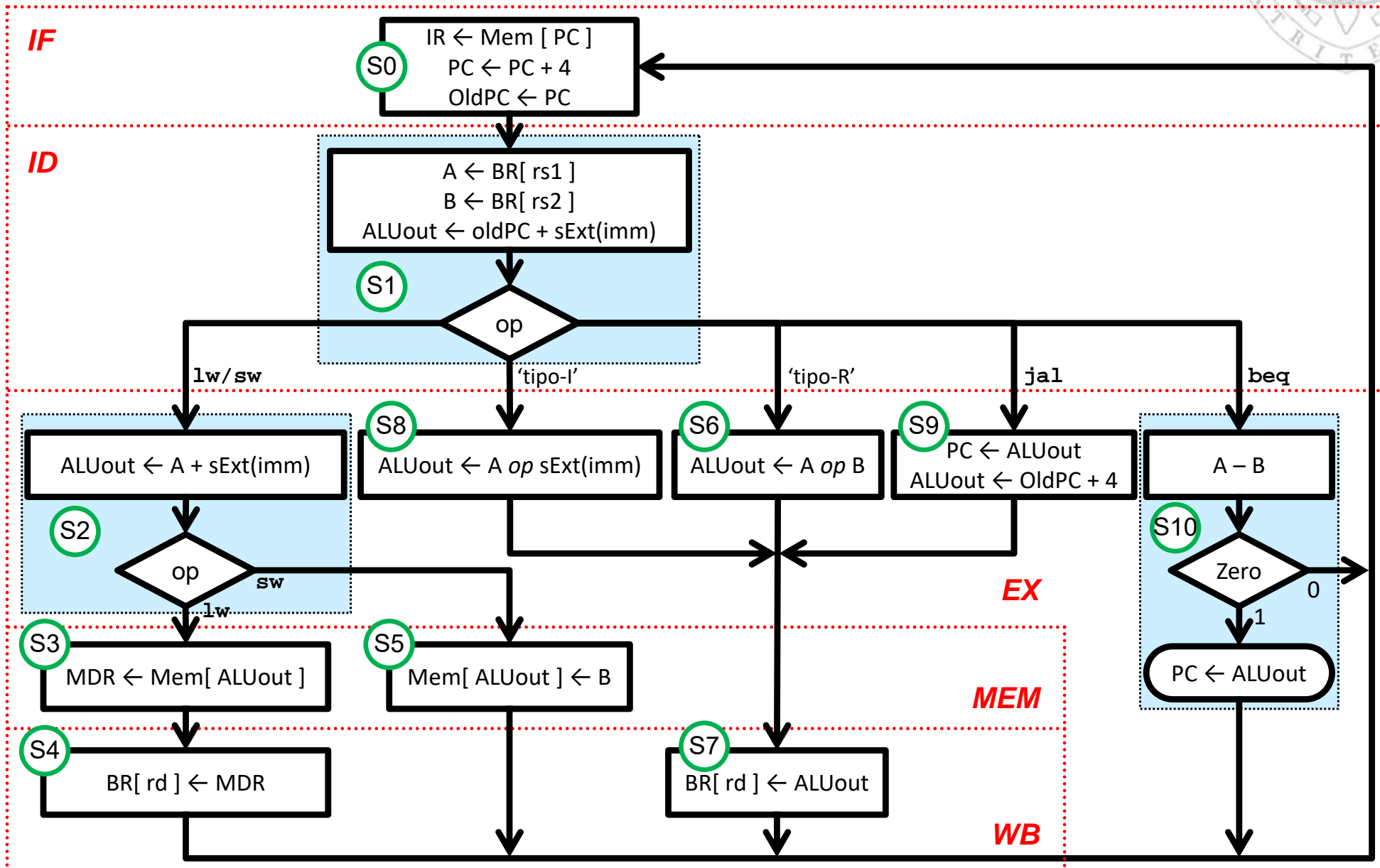
ciclo de instrucción (ii)

versión 27/10/23

tema 6:
Diseño multiciclo del procesador

FC-2

27





Diseño del controlador

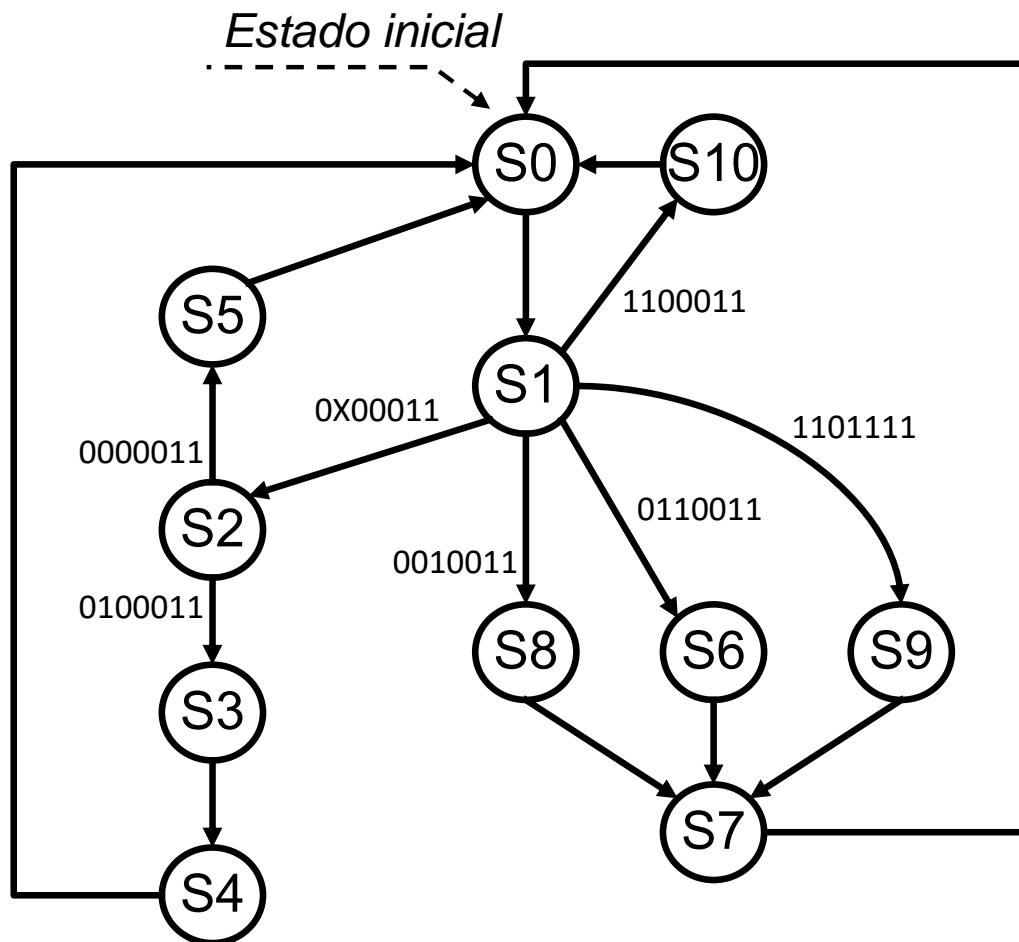


- Diagrama ASM = Diagrama de estados de una FSM.
 - Cada **bloque ASM** equivale a un **estado de la FSM**.
 - Las **transiciones entre bloques** equivalen a **transiciones entre estados**.
 - Cada **transferencia entre registros** de un bloque ASM se traduce a **valores de señales de control** en el estado correspondiente.
- Las **transferencias entre registros** realizadas en cada estado **se traducen**:
 - Poniendo a 1 las señales de carga de los registros destino.
 - Poniendo a 0 las señales de carga del resto de registros.
 - Poniendo al valor que corresponda las señales de selección de los MUX implicados en las transferencias.
 - Poniendo a *don't care* las señales de selección del resto de MUX.
- Una vez obtenido el diagrama de estados del controlador, se optimiza para reducir el coste de la lógica.



Diseño del controlador

FSM Principal: función de transición de estados



Función de transición de estados

estado	op	estado'
S0	XXXXXXXX	S1
S1	0X00011 (lw/sw)	S2
S1	0010011 (tipo-l)	S8
S1	0110011 (tipo-R)	S6
S1	1101111 (jal)	S9
S1	1100011 (beq)	S10
S2	0000011 (lw)	S3
S2	0100011 (sw)	S5
S3	XXXXXXXX	S4
S4	XXXXXXXX	S0
S5	XXXXXXXX	S0
S6	XXXXXXXX	S7
S7	XXXXXXXX	S0
S8	XXXXXXXX	S7
S9	XXXXXXXX	S7
S10	XXXXXXXX	S0



Diseño del controlador

FSM Principal: función de salida

Función de salida

estado	Branch	PCupdate	AddrSrc	MemWr	OldPCwr	IRwr	MDRwr	BRwr	AWr	Bwr	ALUsrcA	ALUsrcB	ALUop	ALUoutWr	ResSrc
S0	0	1	0	0	1	1	0	0	0	0	00	10	00	0	10
S1	0	0	-	0	0	0	0	0	1	1	01	01	00	1	-
S2	0	0	-	0	0	0	0	0	0	0	10	01	00	1	-
S3	0	0	1	0	0	0	1	0	0	0	-	-	-	0	00
S4	0	0	-	0	0	0	0	1	0	0	-	-	-	0	01
S5	0	0	1	1	0	0	0	0	0	0	-	-	-	0	00
S6	0	0	-	0	0	0	0	0	0	0	10	00	10	1	-
S7	0	0	-	0	0	0	0	1	0	0	-	-	-	0	00
S8	0	0	-	0	0	0	0	0	0	0	10	01	10	1	-
S9	0	1	-	0	0	0	0	0	0	0	01	10	00	1	00
S10	1	0	-	0	0	0	0	0	0	0	10	00	01	0	00



Diseño del controlador

1ª optimización

idénticas

Función de salida

estado	Branch	PCupdate	AddrSrc	MemWr	OldPCwr	IRwr	MDRwr	BRwr	AWr	Bwr	ALUsrcA	ALUsrcB	ALUop	ALUoutWr	ResSrc
S0	0	1	0	0	1	1	0	0	0	0	00	10	00	0	10
S1	0	0	-	0	0	0	0	0	1	1	01	01	00	1	-
S2	0	0	-	0	0	0	0	0	0	0	10	01	00	1	-
S3	0	0	1	0	0	0	1	0	0	0	-	-	-	0	00
S4	0	0	-	0	0	0	0	1	0	0	-	-	-	0	01
S5	0	0	1	1	0	0	0	0	0	0	-	-	-	0	00
S6	0	0	-	0	0	0	0	0	0	0	10	00	10	1	-
S7	0	0	-	0	0	0	0	1	0	0	-	-	-	0	00
S8	0	0	-	0	0	0	0	0	0	0	10	01	10	1	-
S9	0	1	-	0	0	0	0	0	0	0	01	10	00	1	00
S10	1	0	-	0	0	0	0	0	0	0	10	00	01	0	00

- Las señales OldPCwr e IRwr tienen la misma tabla de verdad
 - Una puede usarse para controlar ambos puntos de control
 - La otra puede eliminarse del controlador

Diseño del controlador

1ª optimización

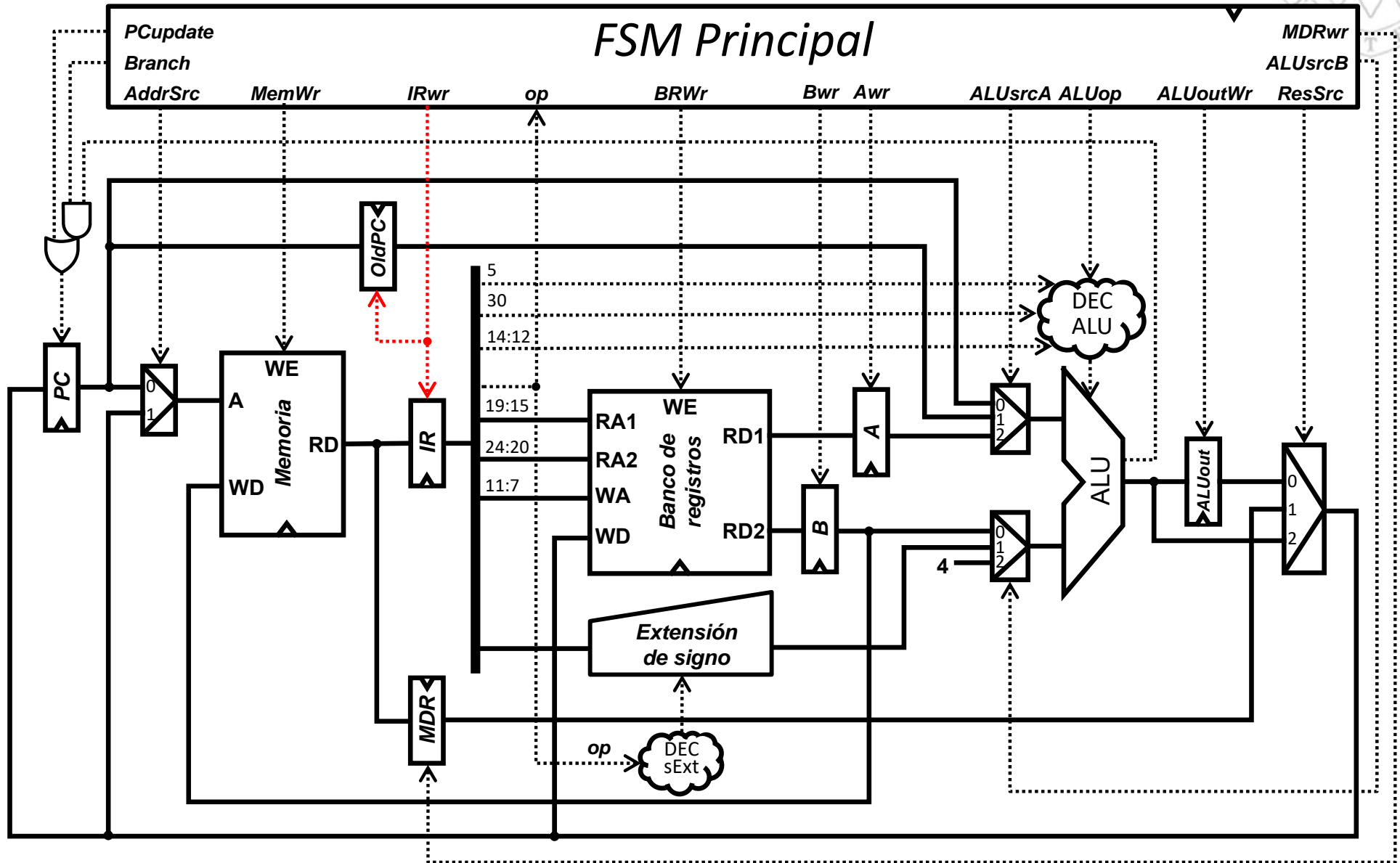


versión 27/10/23

tema 6:
Diseño multiciclo del procesador

FC-2

32

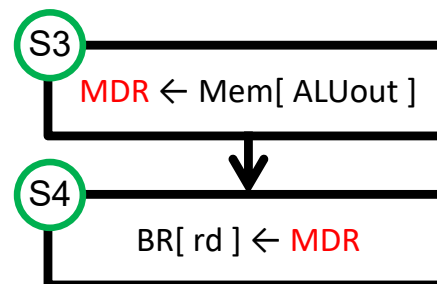




Diseño del controlador

2ª optimización

- Se denomina **vida de un dato**, el intervalo de ciclos comprendido entre su **carga** en un registro y su **último uso**.
- Los **datos almacenados** en algunos de los registros auxiliares del procesador multiciclo **tienen una vida muy corta**:
 - El **registro auxiliar MDR** solo se usa en la ejecución de instrucciones **lw**
 - En el estado **S3 se carga en MDR** un dato leído de memoria, y dicho dato **se consume en S4** (el estado siguiente al S3) para almacenarlo en el Banco de Registros.
 - Una vez almacenado el dato, **no vuelve a ser necesario** en esa instrucción.
 - Por ello, lo que se haga con MDR en el **resto de estados es irrelevante**.





Diseño del controlador

2ª optimización

Función de salida

MDRwr	estado	Branch	PCupdate	AddrSrc	MemWr	IRwr	MDRwr	BRwr	AWr	Bwr	ALUsrcA	ALUsrcB	ALUop	ALUoutWr	ResSrc
0	S0	0	1	0	0	1	-	0	0	0	00	10	00	0	10
0	S1	0	0	-	0	0	-	0	1	1	01	01	00	1	-
0	S2	0	0	-	0	0	-	0	0	0	10	01	00	1	-
1	S3	0	0	1	0	0	1	0	0	0	-	-	-	0	00
0	S4	0	0	-	0	0	-	1	0	0	-	-	-	0	01
0	S5	0	0	1	1	0	-	0	0	0	-	-	-	0	00
0	S6	0	0	-	0	0	-	0	0	0	10	00	10	1	-
0	S7	0	0	-	0	0	-	1	0	0	-	-	-	0	00
0	S8	0	0	-	0	0	-	0	0	0	10	01	10	1	-
0	S9	0	1	-	0	0	-	0	0	0	01	10	00	1	00
0	S10	1	0	-	0	0	-	0	0	0	10	00	01	0	00

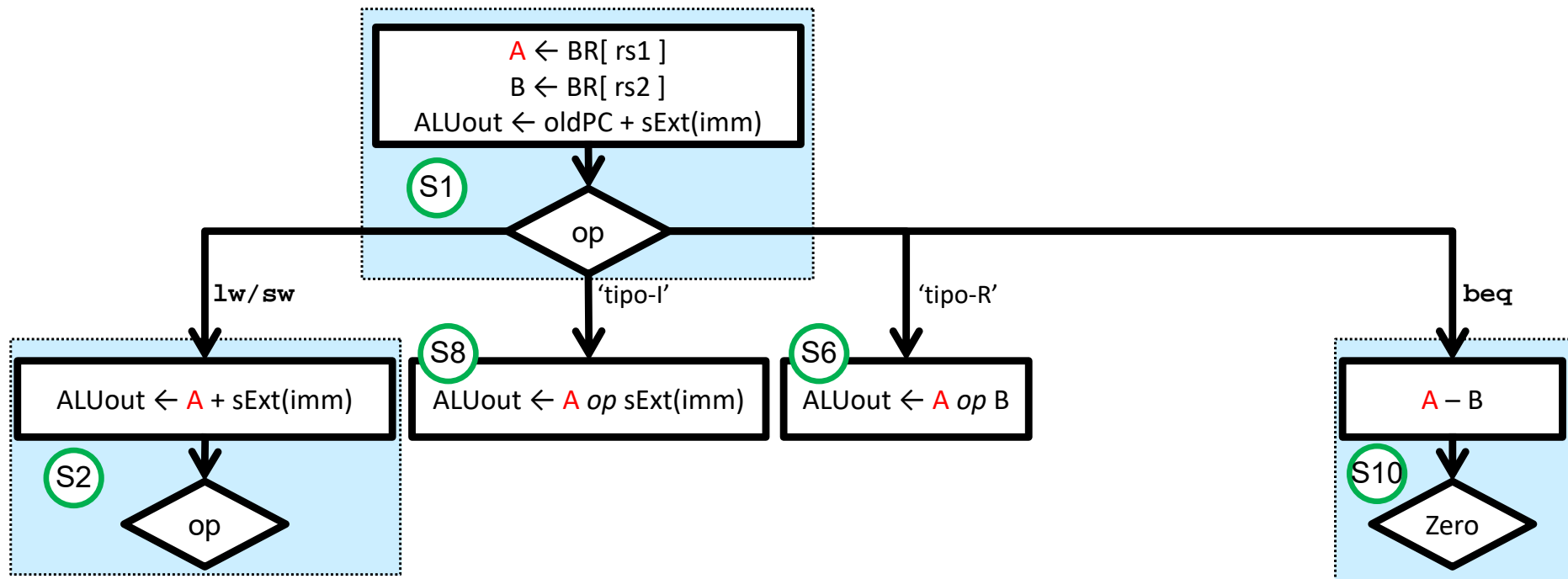
- Dado que lo único relevante es que MDR se cargue en el estado S3, la señal MDRwr debe valer 1 en S3
 - Lo que valga en el resto de estados no importa



Diseño del controlador

2ª optimización

- Caso similar ocurre con los datos almacenados en el **registro auxiliar A**:
 - En el estado **S1 se carga en A** un operando fuente leído del Banco de Registros que **se consume siempre en el estado siguiente**: S2, S8, S6 o S10 según el tipo de instrucción que sea.

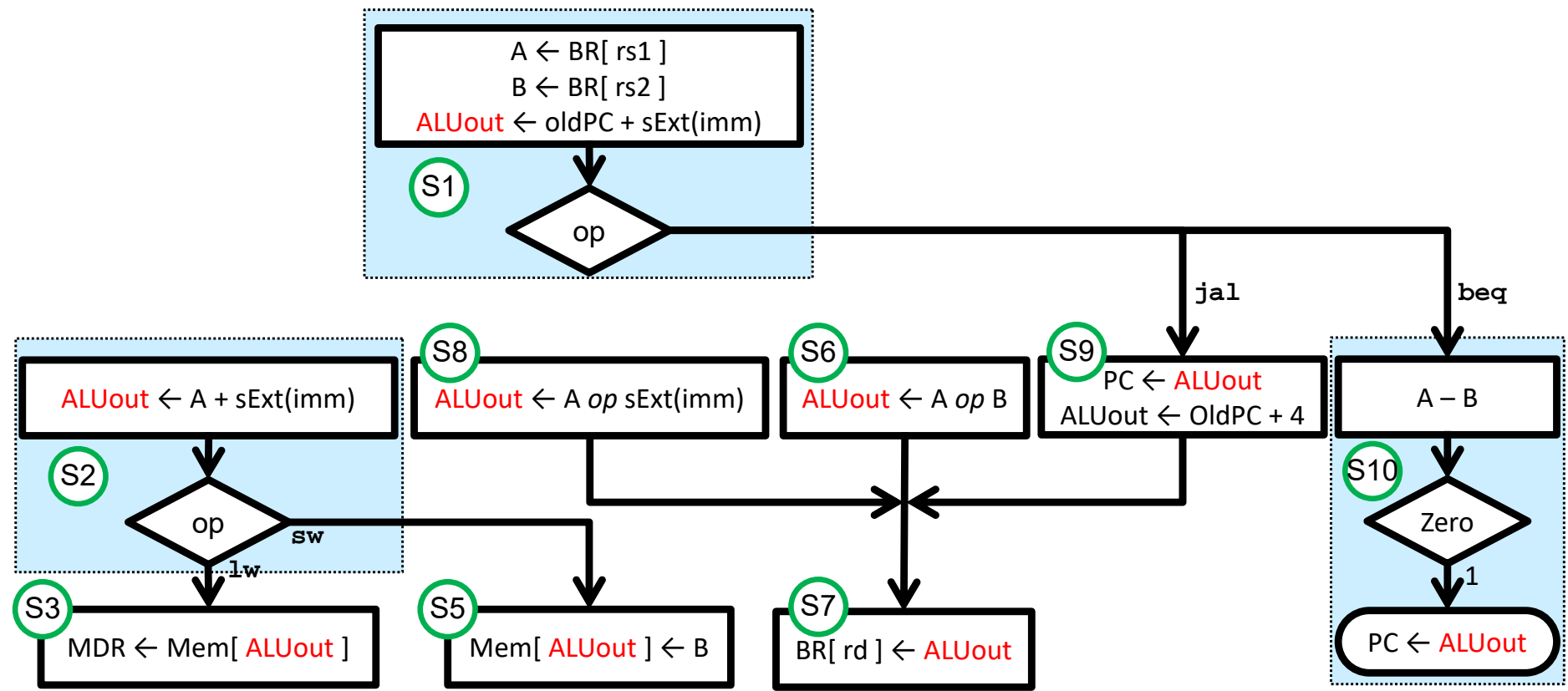




Diseño del controlador

2ª optimización

- Ídem con los datos almacenados en el **registro auxiliar ALUout**:
 - En S1 se carga la dirección de salto que se consume en S9 o S10.
 - En S2 se carga el resultado de una operación de la ALU que se consume en S3 o S5 y los que se cargan en S8, S6 y S9 se consumen en S7.

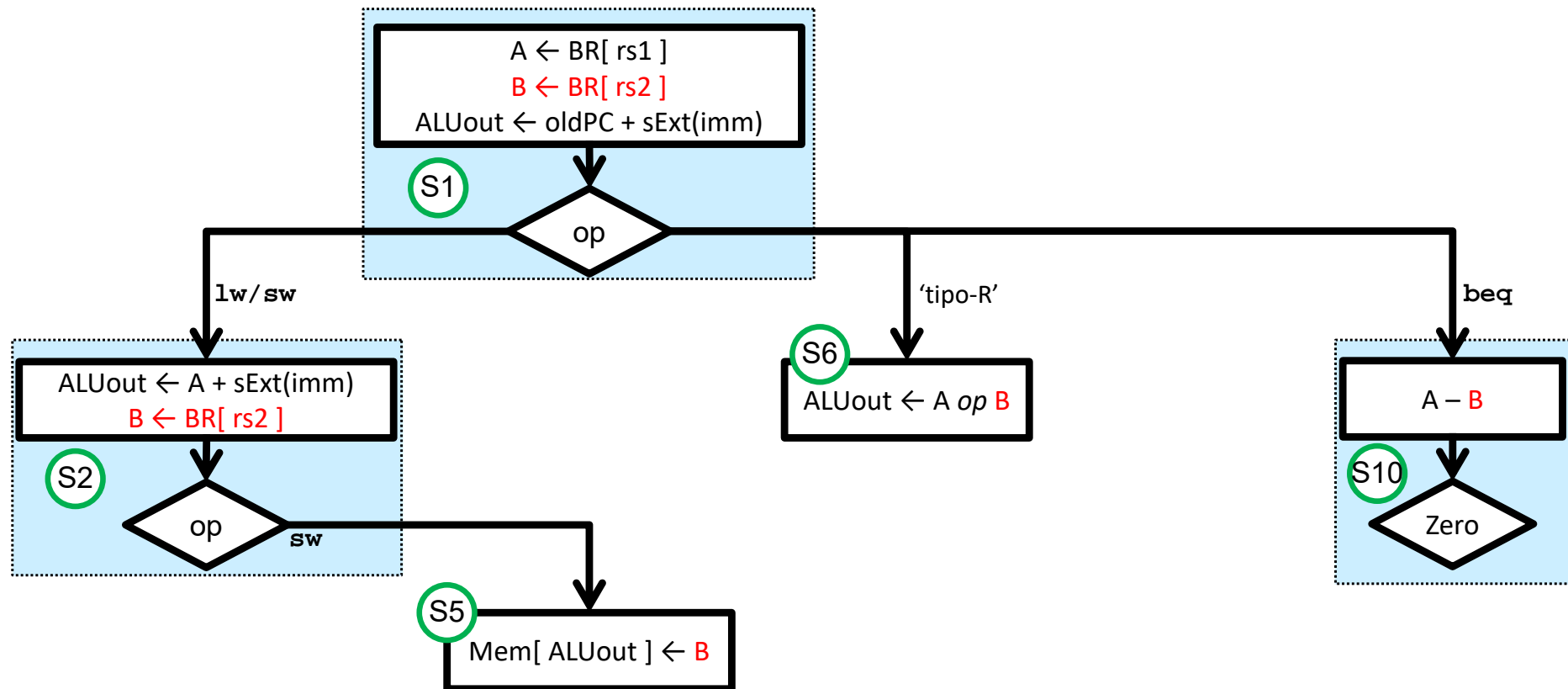




Diseño del controlador

2ª optimización

- El caso del **registro auxiliar B** es ligeramente diferente:
 - En el estado **S1 se carga** en B un operando fuente leído del Banco de Registros que **se consume en el ciclo siguiente** (S6 o S10) o **2 ciclos después** (S5).
 - Pero si B volviera a cargarse en S2 el comportamiento final no se alteraría y el caso sería análogo a los anteriores.





Diseño del controlador

2ª optimización

Función de salida

MDRwr	Awr	Bwr	ALUoutWr
0	0	0	0
0	1	1	1
0	0	0	1
1	0	0	0
0	0	0	0
0	0	0	0
0	0	0	1
0	0	0	0
0	0	0	1
0	0	0	1
0	0	0	0

estado	Branch	PCupdate	AddrSrc	MemWr	IRwr	MDRwr	BRwr	Awr	Bwr	ALUsrcA	ALUsrcB	ALUOp	ALUoutWr	ResSrc
S0	0	1	0	0	1	-	0	-	-	00	10	00	-	10
S1	0	0	-	0	0	-	0	1	1	01	01	00	1	-
S2	0	0	-	0	0	-	0	-	1	10	01	00	1	-
S3	0	0	1	0	0	1	0	-	-	-	-	-	-	00
S4	0	0	-	0	0	-	1	-	-	-	-	-	-	01
S5	0	0	1	1	0	-	0	-	-	-	-	-	-	00
S6	0	0	-	0	0	-	0	-	-	10	00	10	1	-
S7	0	0	-	0	0	-	1	-	-	-	-	-	-	00
S8	0	0	-	0	0	-	0	-	-	10	01	10	1	-
S9	0	1	-	0	0	-	0	-	-	01	10	00	1	00
S10	1	0	-	0	0	-	0	-	-	10	00	01	-	00

- Todas estas señales de control **pueden valer permanentemente 1 y ser eliminadas** del controlador
 - Estos registros auxiliares almacenarán basura en los ciclos no relevantes.



Diseño del controlador

FSM Principal: función de salida optimizada

Función de salida

estado	Branch	PCupdate	AddrSrc	MemWr	IRwr	BRwr	ALUsrcA	ALUsrcB	ALUop	ResSrc
S0	0	1	0	0	1	0	00	10	00	10
S1	0	0	-	0	0	0	01	01	00	-
S2	0	0	-	0	0	0	10	01	00	-
S3	0	0	1	0	0	0	-	-	-	00
S4	0	0	-	0	0	1	-	-	-	01
S5	0	0	1	1	0	0	-	-	-	00
S6	0	0	-	0	0	0	10	00	10	-
S7	0	0	-	0	0	1	-	-	-	00
S8	0	0	-	0	0	0	10	01	10	-
S9	0	1	-	0	0	0	01	10	00	00
S10	1	0	-	0	0	0	10	00	01	00

Diseño del controlador

Estructura del sistema completo optimizado

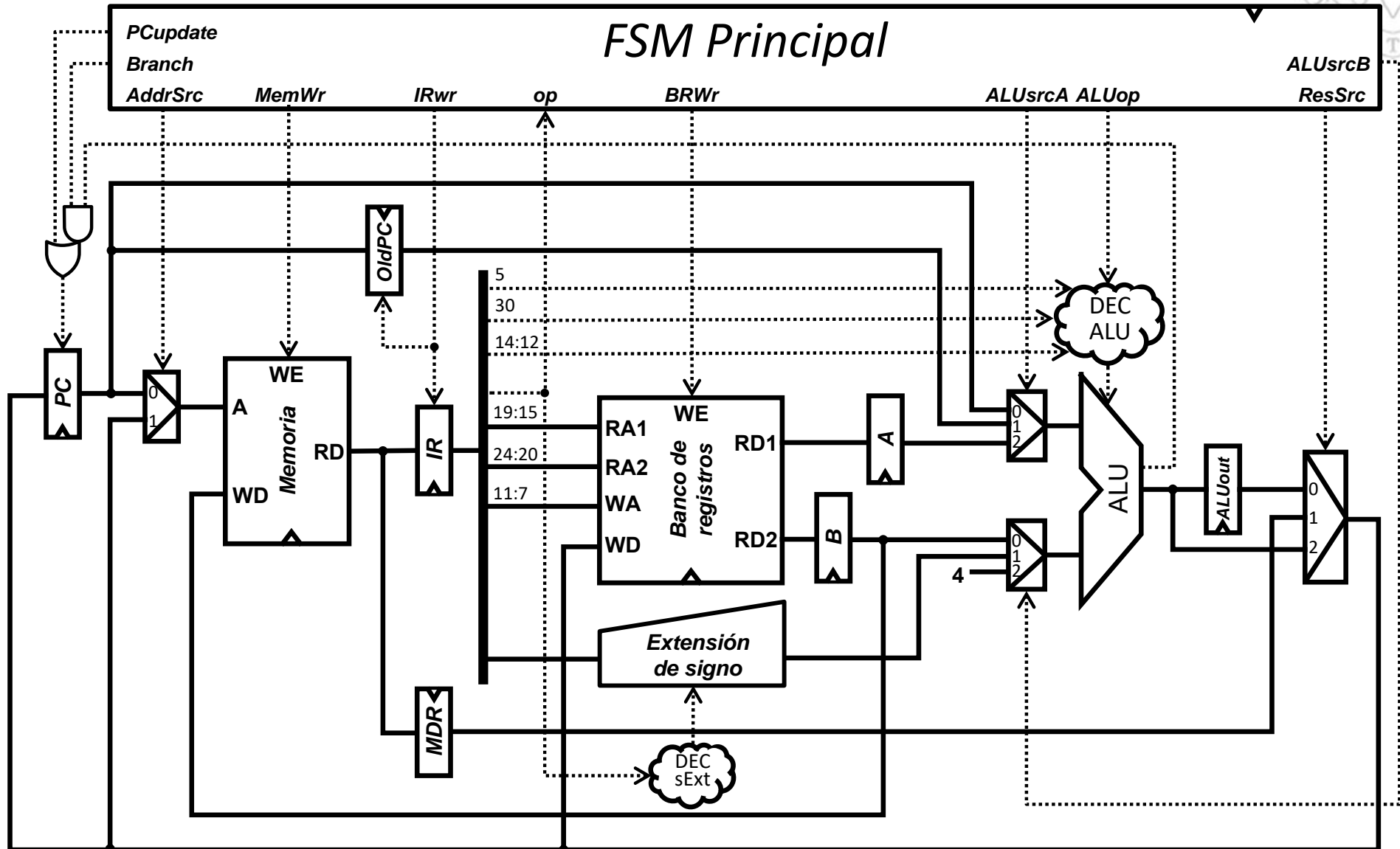


versión 27/10/23

tema 6:
Diseño multiciclo del procesador

FC-2

41



Diseño del controlador

Estructura según nomenclatura Harris & Harris

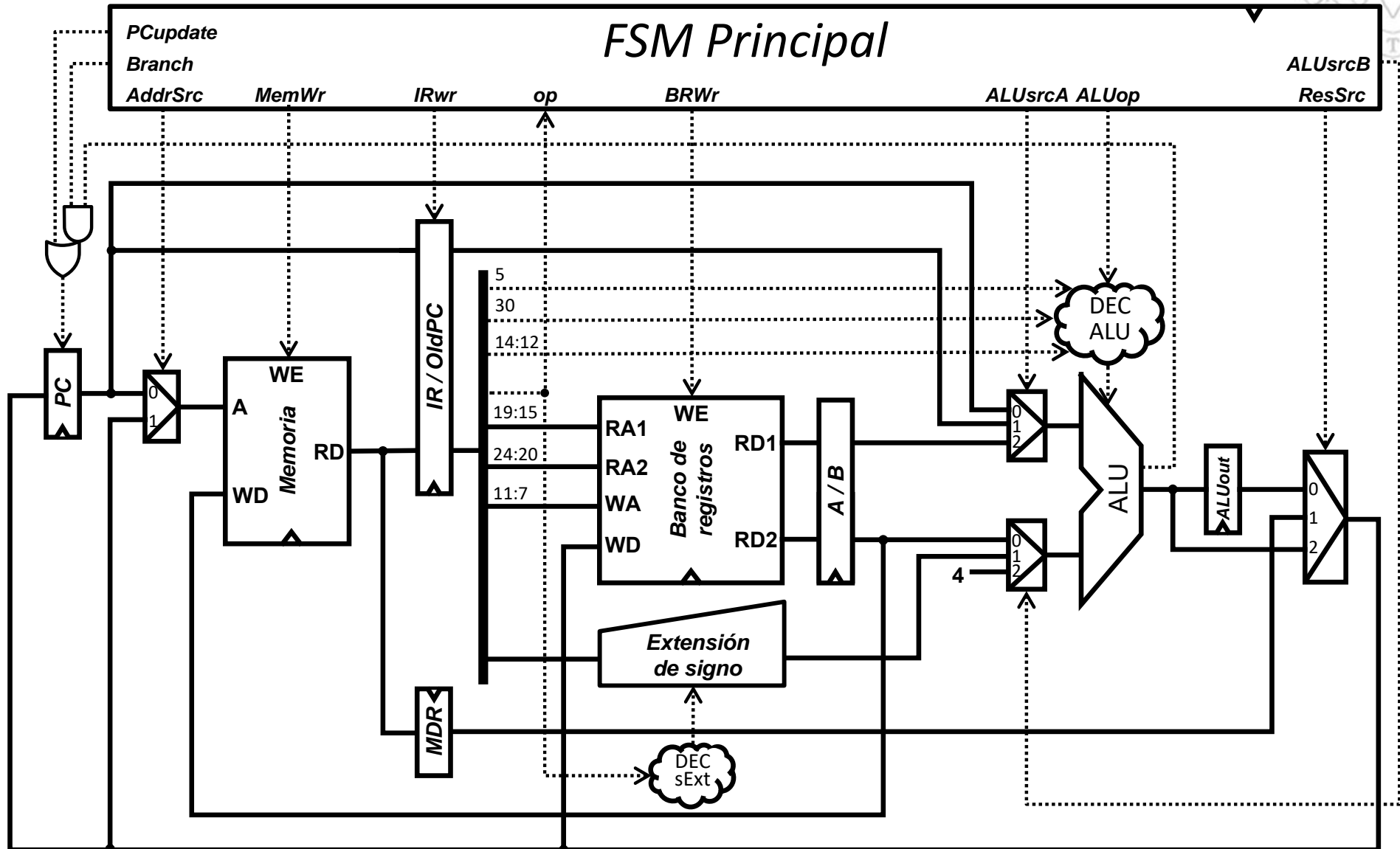


versión 27/10/23

tema 6:
Diseño multiciclo del procesador

FC-2

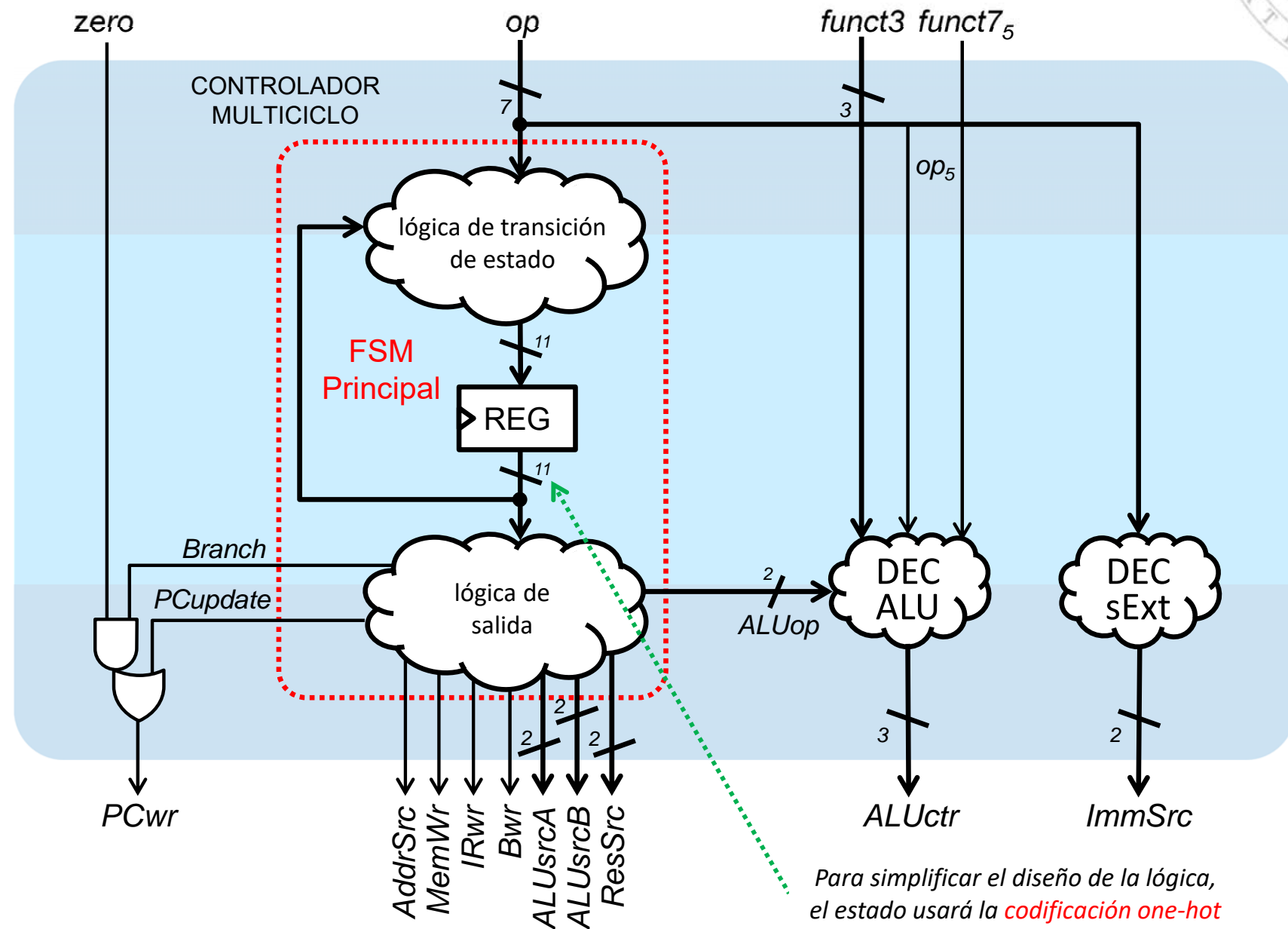
42





Diseño del controlador

Diseño de la FSM Principal

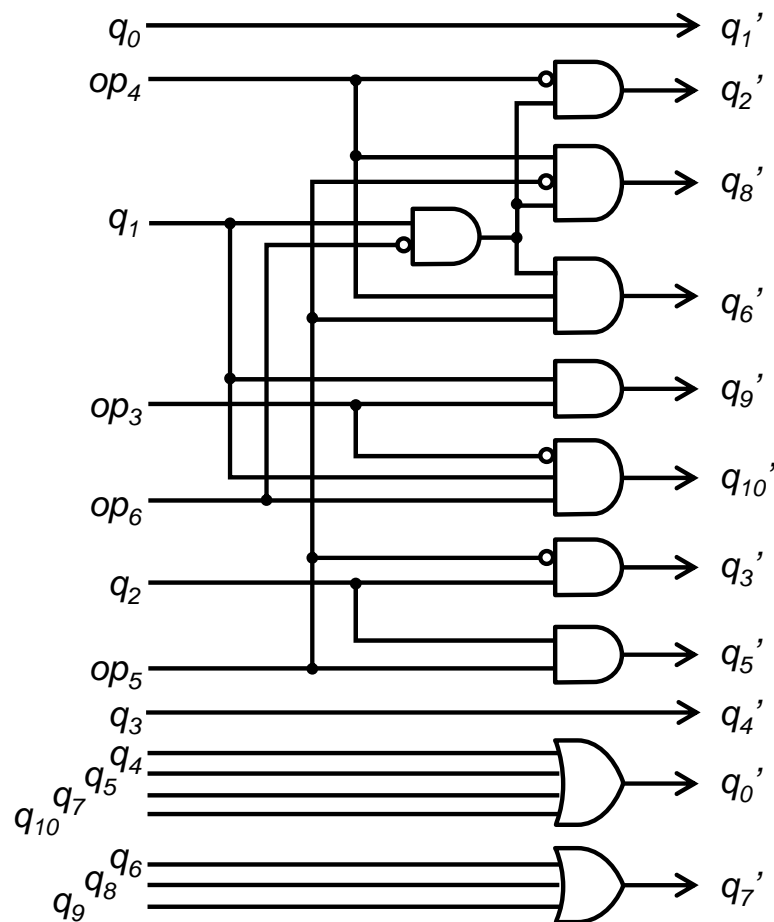


Para simplificar el diseño de la lógica, el estado usará la **codificación one-hot**



Diseño del controlador

Diseño de la FSM Principal: función de transición



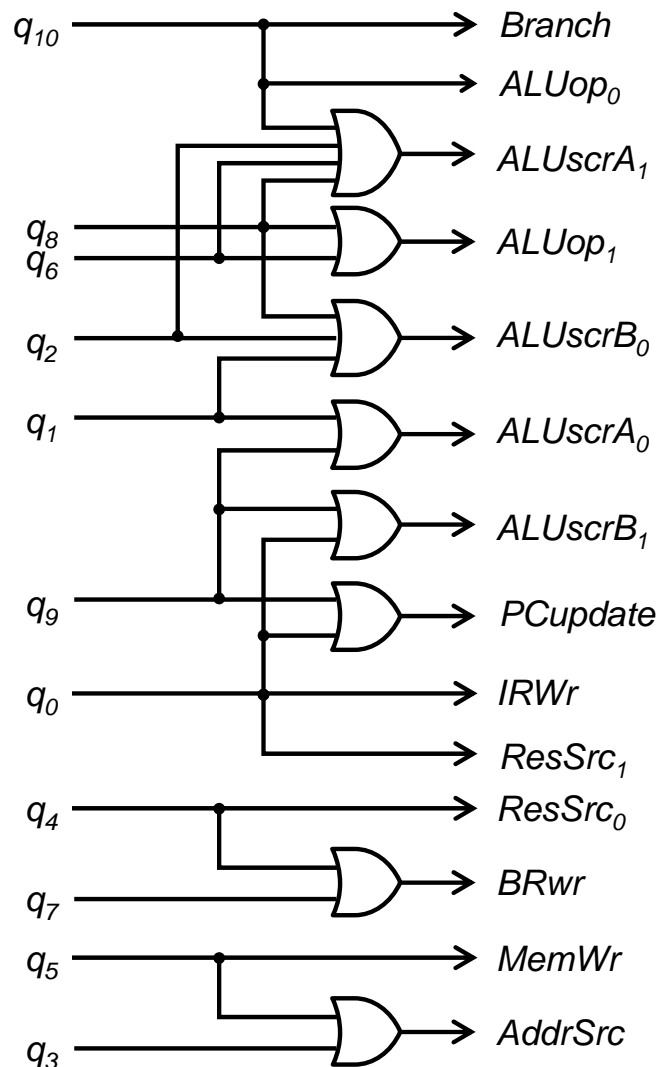
Función de transición de estados

$(q_{10} \dots q_0)$	op	$(q_{10} \dots q_0)'$
0000000001 ^(S0)	XXXXXXX	0000000010 ^(S1)
0000000010 ^(S1)	0X00011	0000000100 ^(S2)
0000000010 ^(S1)	0010011	0010000000 ^(S8)
0000000010 ^(S1)	0110011	0000100000 ^(S6)
0000000010 ^(S1)	1101111	0100000000 ^(S9)
0000000010 ^(S1)	1100011	1000000000 ^(S10)
00000000100 ^(S2)	0000011	00000001000 ^(S3)
00000000100 ^(S2)	0100011	00000100000 ^(S5)
00000001000 ^(S3)	XXXXXXX	00000010000 ^(S4)
00000010000 ^(S4)	XXXXXXX	00000000001 ^(S0)
00000100000 ^(S5)	XXXXXXX	00000000001 ^(S0)
00001000000 ^(S6)	XXXXXXX	00010000000 ^(S7)
00010000000 ^(S7)	XXXXXXX	00000000001 ^(S0)
00100000000 ^(S8)	XXXXXXX	00010000000 ^(S7)
01000000000 ^(S9)	XXXXXXX	00010000000 ^(S7)
10000000000 ^(S10)	XXXXXXX	00000000001 ^(S0)



Diseño del controlador

Diseño de la FSM Principal: función de salida



Función de salida

$(q_{10} \dots q_0)$	Branch	PCupdate	AddrSrc	MemWr	IRwr	BRwr	ALUsrcA	ALUsrcB	ALUOp	ResSrc
0000000001 ^(S0)	0	1	0	0	1	0	00	10	00	10
0000000010 ^(S1)	0	0	-	0	0	0	01	01	00	-
00000000100 ^(S2)	0	0	-	0	0	0	10	01	00	-
00000001000 ^(S3)	0	0	1	0	0	0	-	-	-	00
00000010000 ^(S4)	0	0	-	0	0	1	-	-	-	01
00000100000 ^(S5)	0	0	1	1	0	0	-	-	-	00
00001000000 ^(S6)	0	0	-	0	0	0	10	00	10	-
00010000000 ^(S7)	0	0	-	0	0	1	-	-	-	00
00100000000 ^(S8)	0	0	-	0	0	0	10	01	10	-
01000000000 ^(S9)	0	1	-	0	0	0	01	10	00	00
10000000000 ^(S10)	1	0	-	0	0	0	10	00	01	00



Procesador multicyclo

Coste y tiempo de ciclo (CMOS 90 nm)



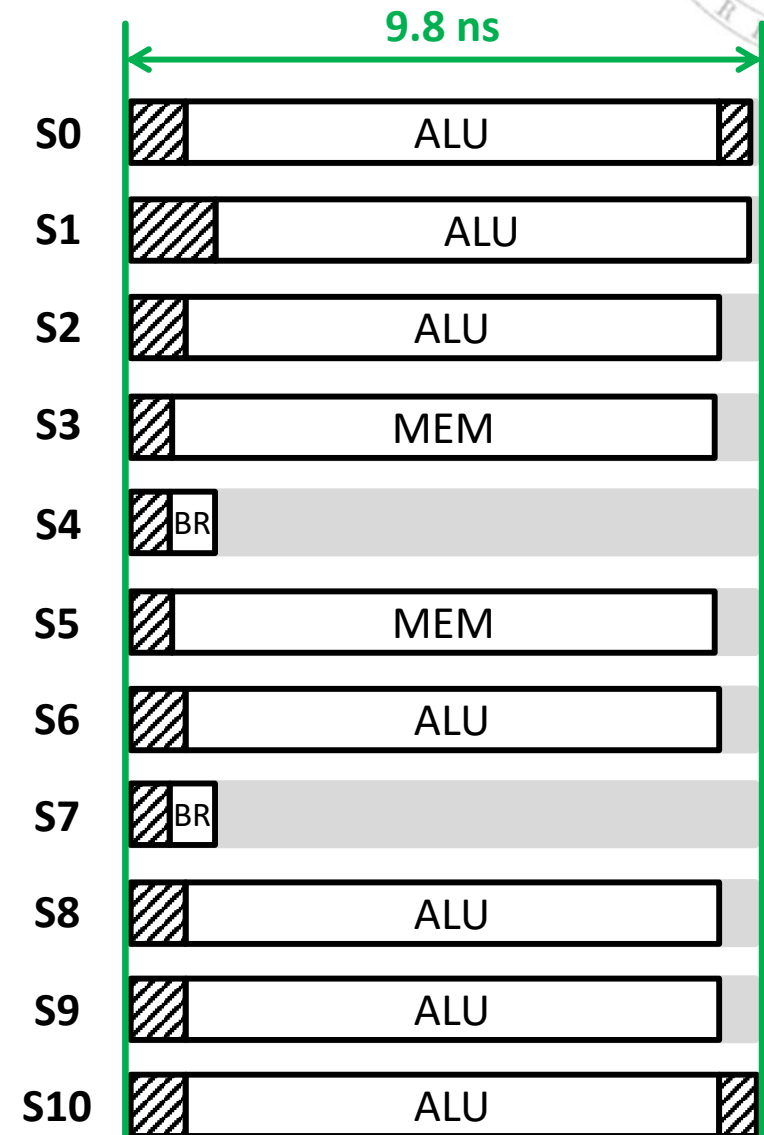
versión 27/10/23

tema 6:
Diseño multicyclo del procesador

FC-2

46

transferencia	estado	camino crítico
$IR \leftarrow Mem [PC]$	S0	9312 ps
$PC \leftarrow PC+4$		9689 ps
$OldPC \leftarrow PC$		589 ps
$A \leftarrow BR[rs1]$	S1	890 ps
$B \leftarrow BR[rs2]$		890 ps
$ALUout \leftarrow oldPC + sExt(imm)$		9688 ps
$ALUout \leftarrow A + sExt(imm)$	S2	9216 ps
$MDR \leftarrow Mem[ALUout]$	S3	9140 ps
$BR[rd] \leftarrow MDR$	S4	1321 ps
$Mem[ALUout] \leftarrow B$	S5	9140 ps
$ALUout \leftarrow A op B$	S6	9216 ps
$BR[rd] \leftarrow ALUout$	S7	1321 ps
$ALUout \leftarrow A op sExt(imm)$	S8	9216 ps
$PC \leftarrow ALUout$	S9	940 ps
$ALUout \leftarrow OldPC + 4$		9216 ps
$if (A - B = 0) then PC \leftarrow ALUout$	S10	9790 ps
	máx.	9790 ps





Procesador multiciclo

Coste y tiempo de ciclo (CMOS 90 nm)



versión 27/10/23

tema 6:
Diseño multiciclo del procesador

FC-2

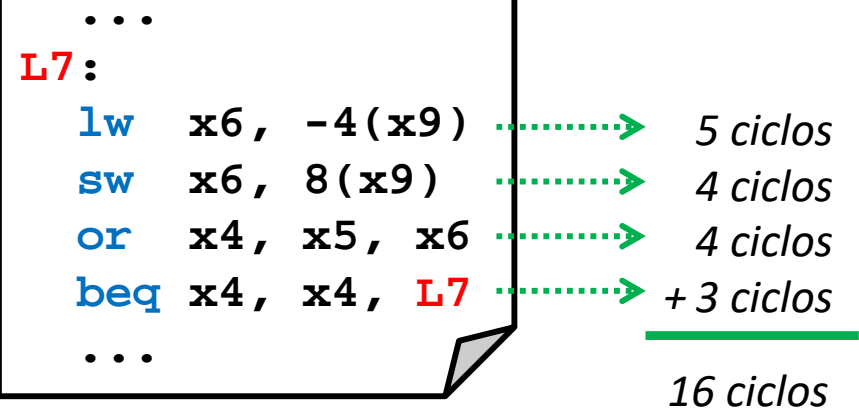
47

transferencia	estado	camino crítico
IR ← Mem [PC]	S0	9312 ps
PC ← PC+4		9689 ps
OldPC ← PC		589 ps
A ← BR[rs1]	S1	890 ps
B ← BR[rs2]		890 ps
ALUout ← oldPC + sExt(imm)		9688 ps
ALUout ← A + sExt(imm)	S2	9216 ps
MDR ← Mem[ALUout]	S3	9140 ps
BR[rd] ← MDR	S4	1321 ps
Mem[ALUout] ← B	S5	9140 ps
ALUout ← A op B	S6	9216 ps
BR[rd] ← ALUout	S7	1321 ps
ALUout ← A op sExt(imm)	S8	9216 ps
PC ← ALUout	S9	940 ps
ALUout ← OldPC + 4		9216 ps
if (A - B = 0) then PC ← ALUout	S10	9790 ps
	máx.	9790 ps

$$area = 65626 \mu m^2$$

$$t_{clk} = 9.8 ns$$

$$f_{clk} = \frac{1}{t_{clk}} = \frac{1}{9.8 \cdot 10^{-9}s} = 102 MHz$$



$$t_{ejec} = 16 \times 9.8 ns = 156.8 ns$$



Comparativa

RISC-V reducido: monociclo vs. multiciclo

■ Procesador monociclo:

- Todas las instrucciones **tardan un ciclo** en ejecutarse.
- Tiene un **tiempo de ciclo largo** limitado por la **instrucción más lenta**.
- Todos los **recursos están dedicados** a hacer una única operación.
- Requiere **memoria** de datos e instrucciones **separada**.

■ Procesador multiciclo:

- Todas las instrucciones **tardan más de un ciclo** en ejecutarse.
 - Las instrucciones simples tardan menos ciclos en ejecutarse que las complejas.
- Tiene un **tiempo de ciclo corto** limitado por **micro-operación más lenta**.
- Los **recursos pueden reutilizarse** para hacer diferentes operaciones en distintos ciclos de reloj.
- Solo existe una **única memoria** común para datos e instrucciones.
- Requiere usar **registros auxiliares no arquitectónicos** (es decir, invisibles al programador) para almacenar resultados parciales.



Comparativa

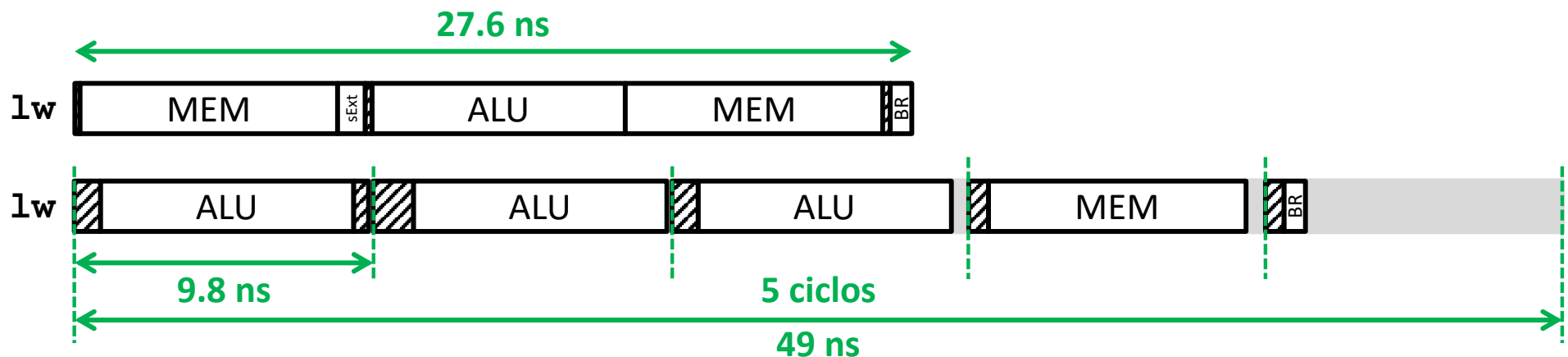
RISC-V reducido: monociclo vs. multiciclo

- El procesador multiciclo es más caro que el monociclo

$$65626 \mu m^2 = \text{coste}_{\text{multiciclo}} > \text{coste}_{\text{monociclo}} = 59181 \mu m^2$$

- El procesador multiciclo tiene peor rendimiento que el monociclo

$$156.8 \text{ ns} = t_{\text{ejec-multiciclo}} > t_{\text{ejec-monociclo}} = 110.4 \text{ ns}$$



- Aparentemente el procesador multiciclo es peor diseño, sin embargo, **no existen** en el mercado **procesadores monociclo**.
 - La razón de esta paradoja se debe a las **simplificaciones** que hemos asumido durante el proceso de diseño.



Comparativa

RISC-V reducido: monociclo vs. multiciclo

- El **procesador monociclo** ha resultado **más barato** porque:
 - No se ha tenido en cuenta el **coste de la memoria**.
 - Este procesador requiere 2 memorias y la versión multiciclo solo 1.
 - **Reutilizar la ALU** requiere añadir multiplexores y registros que tienen un coste mayor que los sumadores eliminados.
 - Con un grado de reuso mayor, el procesador multiciclo se abarata.
- El **procesador multiciclo** ha resultado tener **peor rendimiento** porque:
 - Se ha asumido que el **tiempo de acceso** de la memoria y el **tiempo de cómputo** de la ALU son menores que el tiempo de ciclo.
 - Las memorias RAM externas y las ALU complejas son más lentas.
 - La **carga computacional** de los estados no está perfectamente **equilibrada**.
 - Existen ciclos en donde la mayor parte del HW está inactivo.
- Un **procesador monociclo solo es mejor en arquitecturas simplificadas**.
 - Repertorios complejos, requieren añadir mayor número de elementos funcionales que no pueden reutilizarse y que alargan el camino crítico.



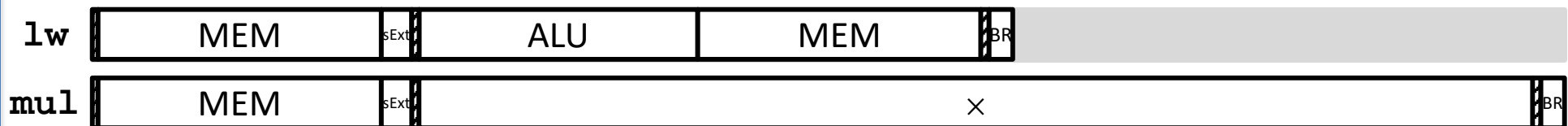
Comparativa

RISC-V reducido: monociclo vs. multiciclo

- Por ejemplo, supongamos que **ampliamos el repertorio** para que soporte la instrucción de **multiplicación**:

```
mul rd, rs1, rs2    rd ← rs1 × rs2    tipo-R
```

- Añadimos a ambas rutas de datos un **multiplicador combinacional** de 32 bits, con un **tiempo de cómputo 4 veces superior** al de la ALU.
 - En el **procesador monociclo**, el tiempo de ciclo estaría determinado por la ejecución de la instrucción `mul` que es ahora la más lenta.



$$t_{clk-monociclo} = 44 \text{ ns} \quad (18928 \text{ ps} + 3 \times 8360 \text{ ps})$$

$$t_{ejec-monociclo} = 4 \times 44 \text{ ns} = 176 \text{ ns}$$

- En el **procesador multiciclo**, el tiempo de ciclo podría dejarse inalterado a costa de que la instrucción `mul` tarde 7 ciclos en ejecutarse.
 - El número de ciclos requerido por las restantes instrucciones no cambiaría.

$$t_{clk-multiciclo} = 9.8 \text{ ns}$$

$$t_{ejec-multiciclo} = 16 \times 9.8 \text{ ns} = 156.8 \text{ ns}$$



Métricas de rendimiento

Tiempo de ejecución de un programa

- Las **métricas de rendimiento** permiten **comparar objetivamente las prestaciones** de distintos computadores.
 - Desde el punto de vista del usuario, el **tiempo de ejecución total** de un programa **es el más fiable**.
 - Dado que depende de múltiples factores nos centraremos en tiempo de CPU.
- El **tiempo de ejecución** de N instrucciones de i tipos de un programa dado en una cierta CPU será:

$$t_{ejec} = t_{clk} \cdot \sum_i c_i \cdot n_i \equiv \sum_i c_i \cdot n_i / f_{clk}$$

- donde:
 - n_i = número de instrucciones de tipo i ejecutadas.
 - c_i = número de ciclos que tarda en ejecutarse cada instrucción de tipo i .
 - t_{clk} = tiempo de ciclo (en segundos/ciclo).
 - f_{clk} = frecuencia de reloj (en hercios = ciclos/segundo).
 - $N \equiv \sum_i n_i$ = número total de instrucciones ejecutadas.
 - $\sum_i c_i \cdot n_i$ = número de ciclos total que tarda en ejecutarse el programa.



Métricas de rendimiento

Tiempo de ejecución de un programa

- Para poder dar una **expresión más compacta** del tiempo de ejecución se introduce el concepto de **Ciclos Promedio por Instrucción (CPI)**
 - CPI es la **suma ponderada** del número de ciclos que tarda por separado cada tipo de instrucción.
 - El CPI **es específico** para cada programa y cada CPU.

$$CPI = \frac{\sum_i c_i \cdot n_i}{\sum_i n_i}$$

- El **tiempo de ejecución** de N instrucciones de un programa dado en una cierta CPU será:

$$t_{ejec} = N \cdot CPI \cdot t_{clk} \equiv \frac{N \cdot CPI}{f_{clk}}$$

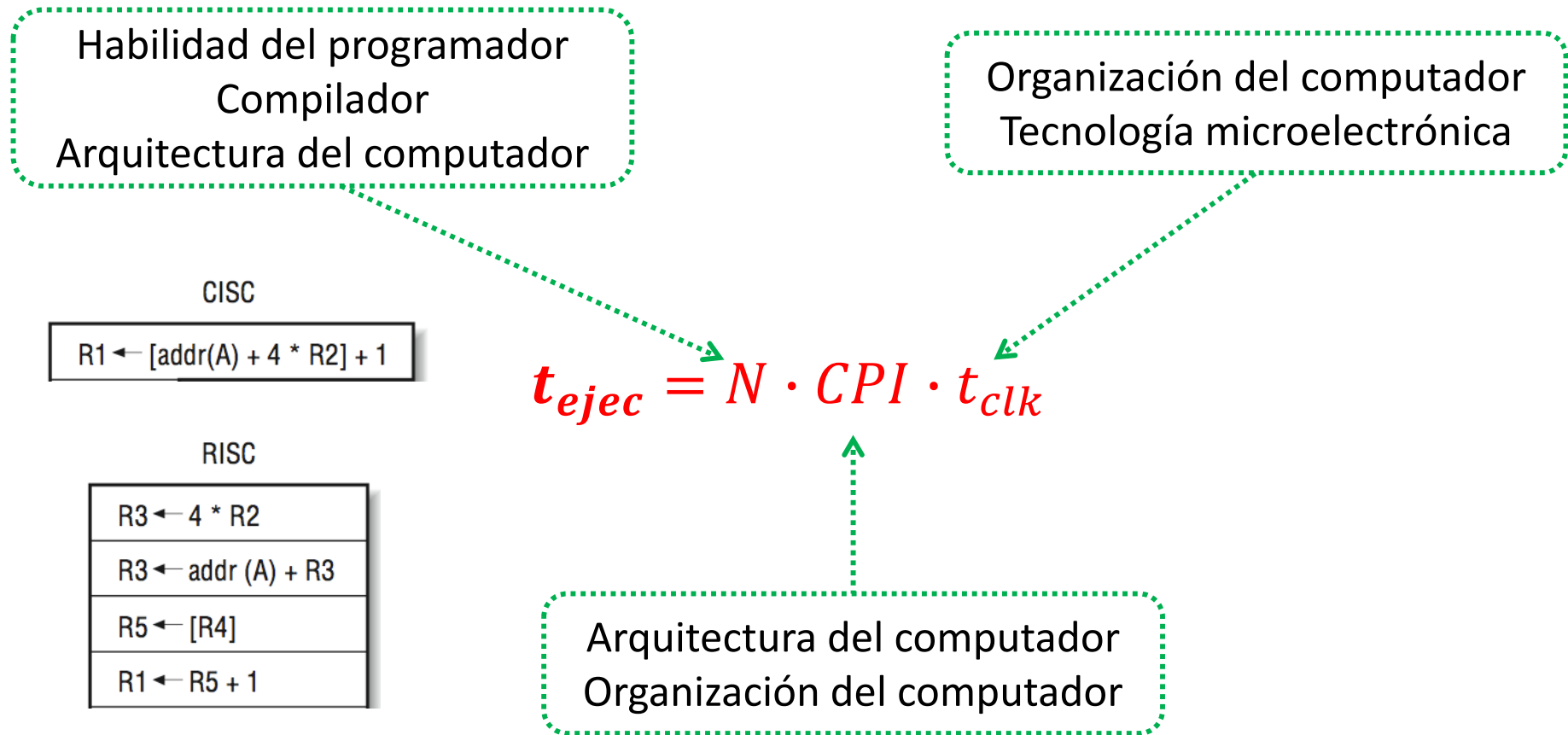
- donde:
 - $N \equiv \sum_i n_i$ = número total de instrucciones ejecutadas.
 - $N \cdot CPI$ = número de ciclos total que tarda en ejecutarse el programa.
 - t_{clk} = tiempo de ciclo (en segundos/ciclo).
 - f_{clk} = frecuencia de reloj (en hertzios = ciclos/segundo).



Métricas de rendimiento

Tiempo de ejecución de un programa

- Esta expresión es interesante porque permite localizar la contribución que tiene cada elemento del diseño en el rendimiento del computador.





Métricas de rendimiento

MIPS y MFLOPS

- Comúnmente se usan otras **métricas menos fiables** que indican el **número de instrucciones que ejecuta un computador por segundo**.
 - Las instrucciones de una familia arquitectónica pueden tener funcionalidades y duraciones muy diferentes a otra (RISC vs CISC) haciendo inútil la comparación.

- **Millones de Instrucciones por Segundo (MIPS)**

$$MIPS = \frac{N}{10^6 \cdot t_{ejec}} \equiv \frac{f_{clk}}{10^6 \cdot CPI}$$

- **Millones de instrucciones en punto flotante por segundo (MFLOPS)**
 - Se escogen estas por ser las instrucciones que más tardan en ejecutarse.
 - No sirve para comparar procesadores/programas con aritmética entera.



Métricas de rendimiento

RISC-V reducido: monociclo vs. multiciclo

- Sea un programa que ejecuta 10^8 instrucciones (100 millones) tal que:
 - 25% de las instrucciones son de tipo `lw`
 - 10% de las instrucciones son de tipo `sw`
 - 11% de las instrucciones son de tipo `beq`
 - 2% de las instrucciones son de tipo `jal`
 - 52% de las instrucciones son aritmético-lógicas

- CPI monociclo: todas las instrucciones tardan un ciclo ($CPI = 1$).

$$CPI = 1$$

$$t_{ejec} = 10^8 \cdot 1 \cdot 27.6 \text{ ns} = 2.76 \text{ s}$$

$$MIPS = 10^8 / (10^6 \cdot 2.76 \text{ s}) = 32.6 \text{ Minst/s}$$

- CPI multiciclo: todas las instrucciones tardan más de un ciclo ($CPI > 1$).

- `lw`: 5 ciclos, `sw`: 4 ciclos, `beq`: 3 ciclos, `jal`: 4 ciclos, aritmético-lógicas: 4 ciclos

$$CPI = 0.25 \cdot 5 + 0.10 \cdot 4 + 0.11 \cdot 3 + 0.02 \cdot 4 + 0.52 \cdot 4 = 4.14$$

$$t_{ejec} = 10^8 \cdot 4.14 \cdot 9.8 \text{ ns} = 4.06 \text{ s}$$

$$MIPS = 10^8 / (10^6 \cdot 4.06 \text{ s}) = 25 \text{ Minst/s}$$



Métricas de rendimiento

Speedup

- La **comparación** entre los tiempos absolutos de ejecución de un mismo programa en 2 procesadores distintos **es poco visual**.
 - Es más efectivo indicar cuanto más rápido es un procesador respecto a otro.
- Se denomina **speedup** a la **relación** entre los tiempos de ejecución de un mismo programa en dos procesadores A y B
 - Mide **cuánto más rápido** es el procesador A respecto al procesador B ejecutando el programa.

$$\text{Speedup} = \frac{t_{ejec}^B}{t_{ejec}^A}$$

- Así, diremos que el **procesador monociclo** ejecuta el anterior programa **1.47 veces más rápido** que el procesador multiciclo porque:

$$t_{ejec}^{monociclo} = 2.76 \text{ s} \quad t_{ejec}^{multiciclo} = 4.06 \text{ s}$$

$$\text{Speedup} = \frac{t_{ejec}^{multiciclo}}{t_{ejec}^{monociclo}} = \frac{4.06}{2.76} = 1.47$$



Métricas de rendimiento

Benchmarking

- El resultado de cualquier **métrica de rendimiento** depende del **programa** que se ejecute
 - Para que la comparación sea justa el programa debe ser el mismo.
 - Pero un único programa puede no ser suficiente representativo.
- Un **benchmark** es una **colección de programas** que se usan para comparar computadores entre sí
 - **Dhrystone, CoreMark**: programas sintéticos de cálculo entero.
 - **Whetstone**: programas sintéticos de cálculo en punto flotante.
 - **Linkpack**: programas reales de cálculo científico.
 - **SPEC**: programas reales con versión entera y punto flotante.



Métricas de rendimiento

TOP500

- El proyecto **Top500** es un ranking de las 500 supercomputadoras con mayor rendimiento del mundo.

#	Computador	País	Fabricante	# cores	Procesador	Rpico (Pflops*)	Potencia (kW)
1	Frontier	EEUU	HP	8730112	AMD Opt 3rd Gen EPYC 64C @ 2GHz	1685.65	21100
2	Fugaku	Japón	Fujitsu	7630848	A64FX 48C @ 2.2GHz	537.21	29899
3	LUMI	Finlandia	HP	1110144	AMD Opt 3rd Gen EPYC 64C @ 2GHz	214.35	2942
4	Summit	EEUU	IBM	2414592	IBM POWER9 22C @ 3.07GHz	200.79	10096
5	Sierra	EEUU	IBM	1572480	IBM POWER9 22C @ 3.1GHz	125.71	7438
...
82	MareNostrum	España	Lenovo	153216	Xeon Platinum 8160 24C @ 2.1GHz	10.30	1632

fuelle: Top 500 (June 2022), <https://www.top500.org/>

(*) 1 Pflops = 10⁹ Mflops

- Mi portátil.

#	Computador	País	Fabricante	# cores	Procesador	Rpico (Mflops)	Potencia (kW)
-	Elite Dragonfly	EEUU	HP	4	Intel Core i7-8565U @ 1.80GHz	13.77	-

fuelle: PassMark Software Pty Ltd , <https://www.cpubenchmark.net>



Métricas de rendimiento

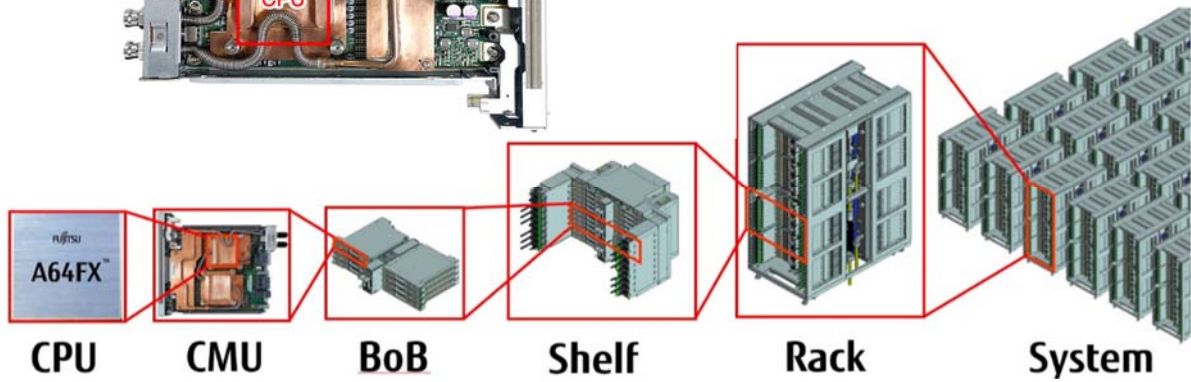
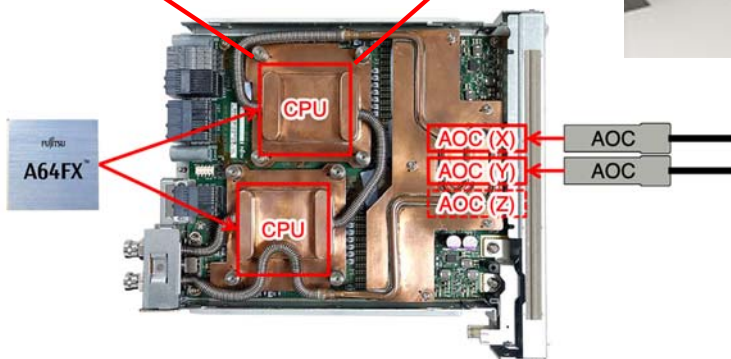
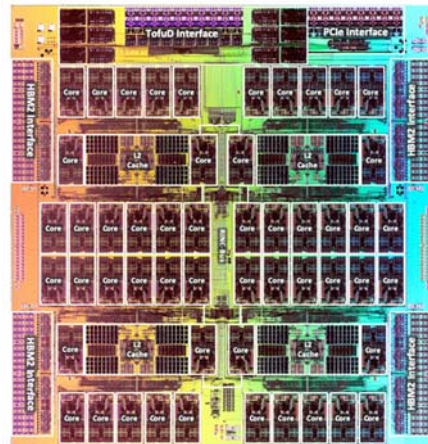
TOP500: Fugaku

versión 27/10/23

tema 6:
Diseño multiciclo del procesador

FC-2

60



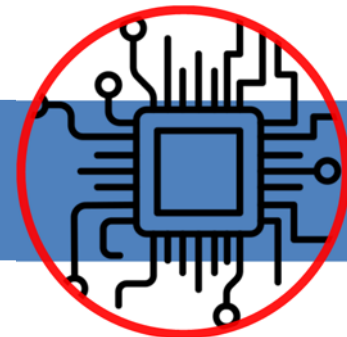
Unidad	# nodos	Descripción
CPU	1	Nodo de 48+2 procesadores
CMU	2	CPU Memory Unit: 2 CPUs
BoB	16	Bunch of Blades: 8 CMUs
Shelf	48	3 BoBs
Rack	192/384	4/8 Shelves
Fugaku	158976	396 + 36 Racks (8/4 Shelves)

fuentes: Jack Dongarra, Report on the Fujitsu Fugaku System, Tech Report No. ICL-UT-20-06 (2020)
Riken Center for Computational Science, <https://www.r-ccs.riken.jp/en/>



- Cálculo del coste.
- Cálculo del tiempo de ciclo.

Apéndice tecnológico





Cálculo del coste y tiempo de ciclo

- Para calcular el **coste del procesador** es la **suma del coste** de cada uno de los módulos que lo componen.
 - El **coste de cada módulo** se calcula sumando el **coste de sus celdas**.
- El **tiempo de ciclo del procesador** es el **máximo** de los **caminos críticos** de las **transferencias entre registros** que realiza el procesador.
 - El **camino crítico** de una transferencia entre registros es **el camino de datos de mayor retardo** de todos los implicados en dicha transferencia.
 - En el **procesador multiciclo**, en cada ciclo se realizan entre **1 y 3 transferencias entre registros**, la ejecución de una instrucción implica la realización en total de entre 7 y 9 transferencias entre registros.
- Para todos los cálculos se utilizará la **misma biblioteca** de celdas (CMOS 90nm) usada en **FC-1**

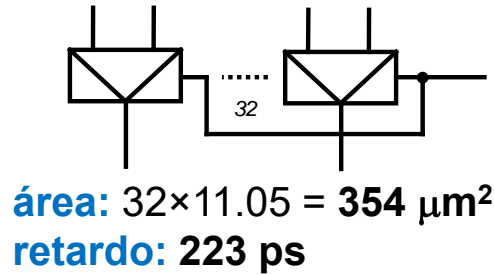
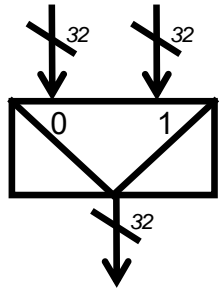


Cálculo del coste y tiempo de ciclo

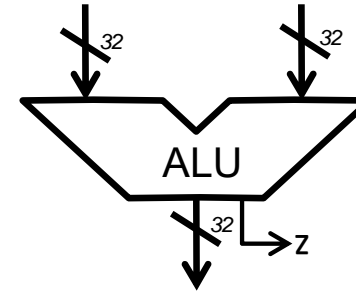
CMOS 90 nm



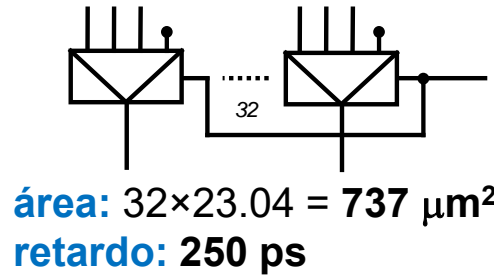
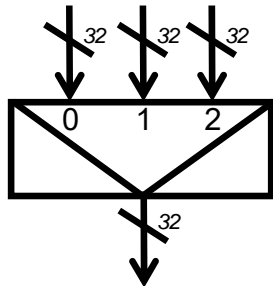
versión 27/10/23



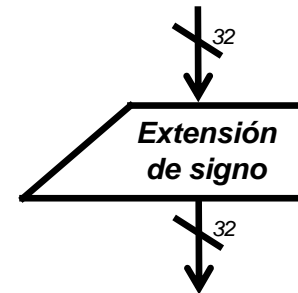
área: $32 \times 11.05 = 354 \mu\text{m}^2$
retardo: 223 ps



área: $3052 \mu\text{m}^2$
retardo: 8360 ps



área: $32 \times 23.04 = 737 \mu\text{m}^2$
retardo: 250 ps



área: $202 \mu\text{m}^2$
retardo: 460 ps



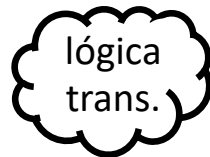
área: $56 \mu\text{m}^2$
retardo: 490 ps



área: $15 \mu\text{m}^2$
retardo: 351 ps



área: $21 \mu\text{m}^2$
retardo: 451 ps



área: $107 \mu\text{m}^2$
retardo: 486 ps



área: $64 \mu\text{m}^2$
retardo: 199 ps

tema 6:
Diseño multiciclo del procesador

FC-2

63

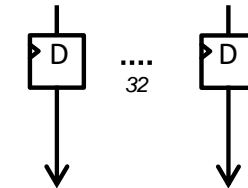
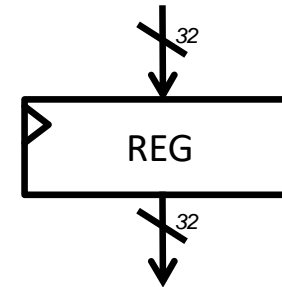
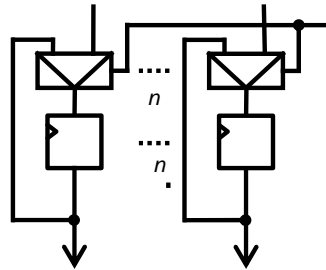
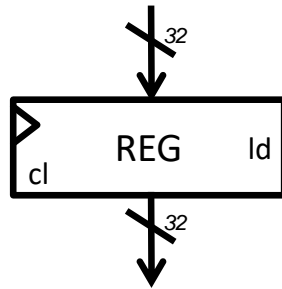


Cálculo del coste y tiempo de ciclo

CMOS 90 nm

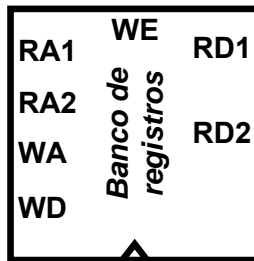


versión 27/10/23

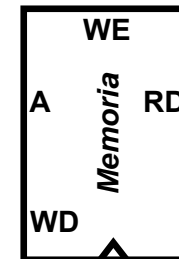


área: $32 \times 11.05 + 32 \times 32.26 = 1386 \mu\text{m}^2$
retardo CLK→Q: 167 ps
setup: $1 \times 223 = 223 \text{ ps}$ (debido a MUX de carga)

área: $32 \times 24.88 = 796 \mu\text{m}^2$
retardo CLK→Q: 167 ps
setup: 0 ps

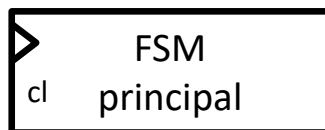


área: $51405 \mu\text{m}^2$
retardo lectura: 723 ps
setup escritura: 705 ps
 (debido al DEC de dirección)



área: -
tiempo acceso: 8500 ps

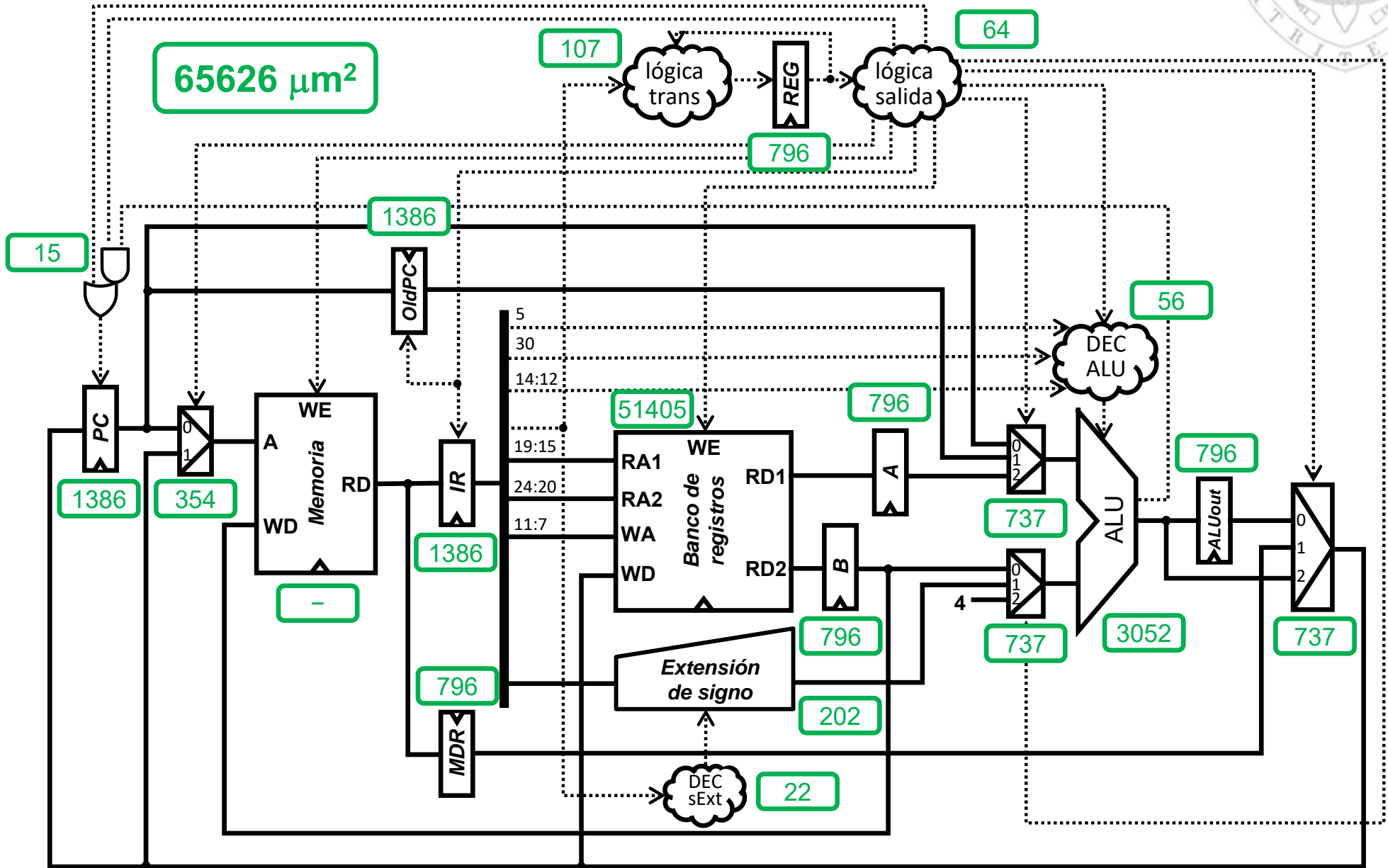
*Comportamiento idealizado:
 retardo comparable al de la ALU
 (para que pueda leerse en un ciclo de reloj)*



área: $525 \mu\text{m}^2$
retardo CLK→Q: 366 ps
setup: 486 ps (debido a la lógica trans.)



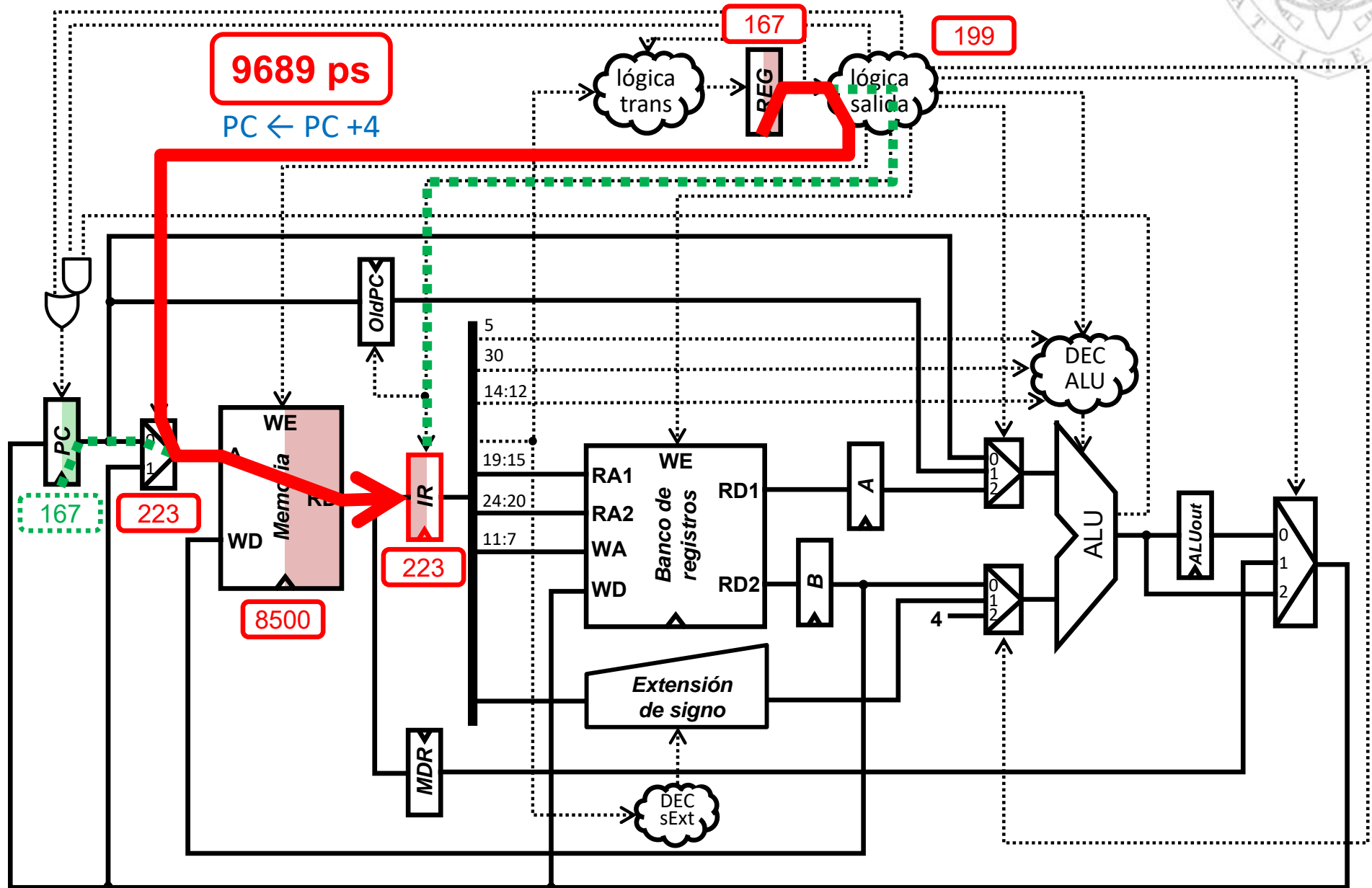
Cálculo del coste





Cálculo del tiempo de ciclo

Estado S0 (búsqueda de instrucción): camino crítico



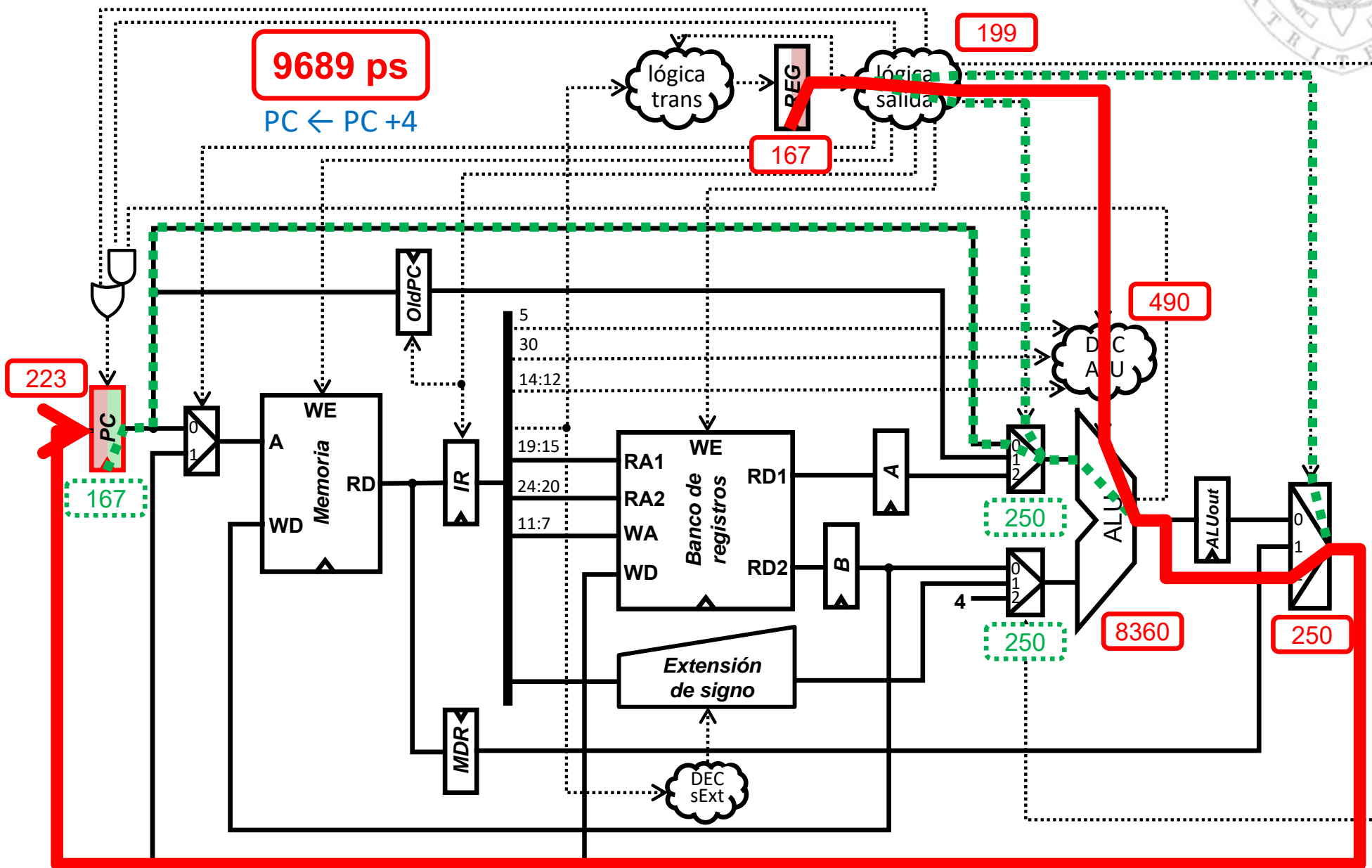


Cálculo del tiempo de ciclo

Estado S0 (incremento del PC): camino crítico

9689 ps

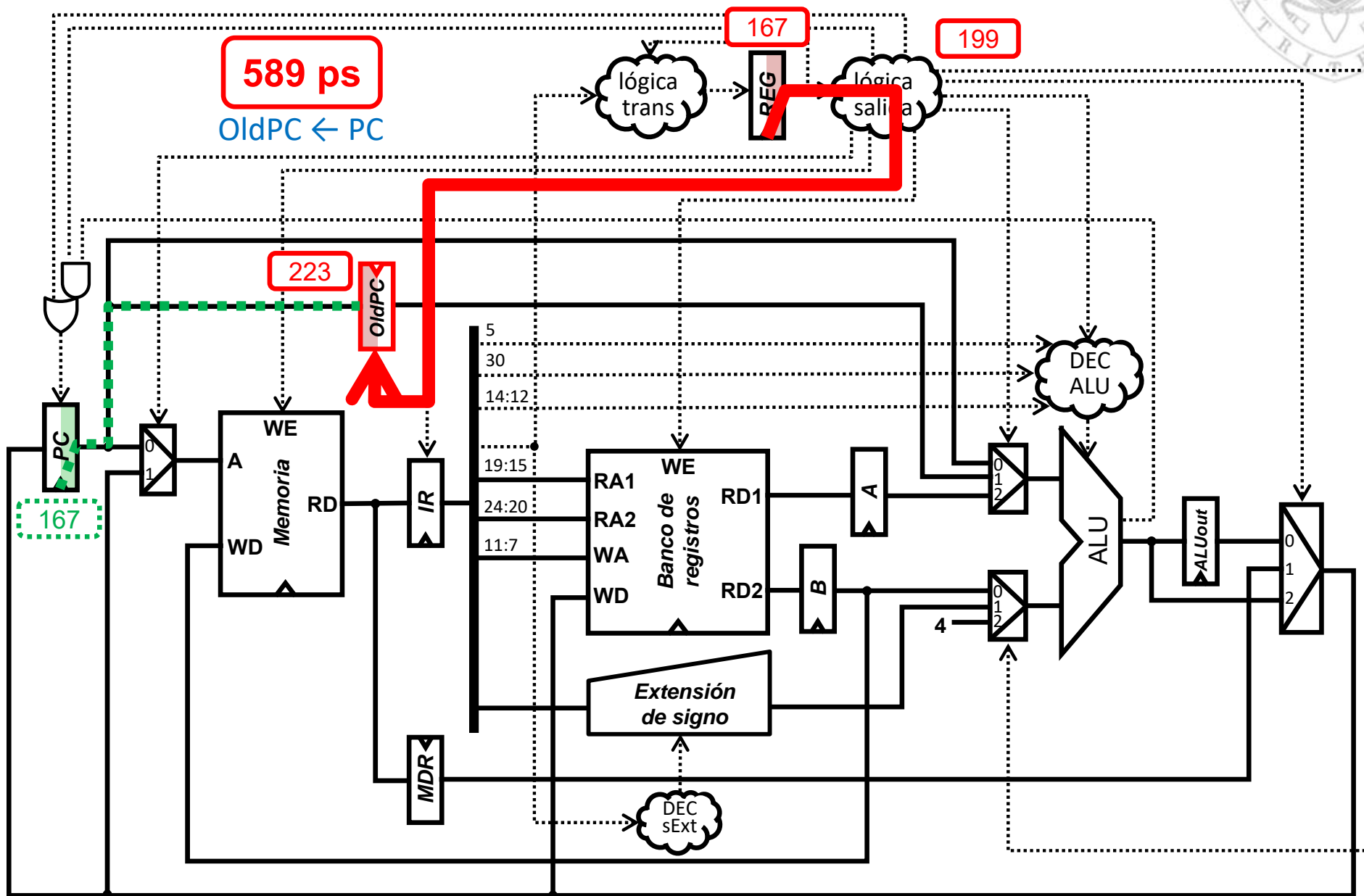
$PC \leftarrow PC + 4$





Cálculo del tiempo de ciclo

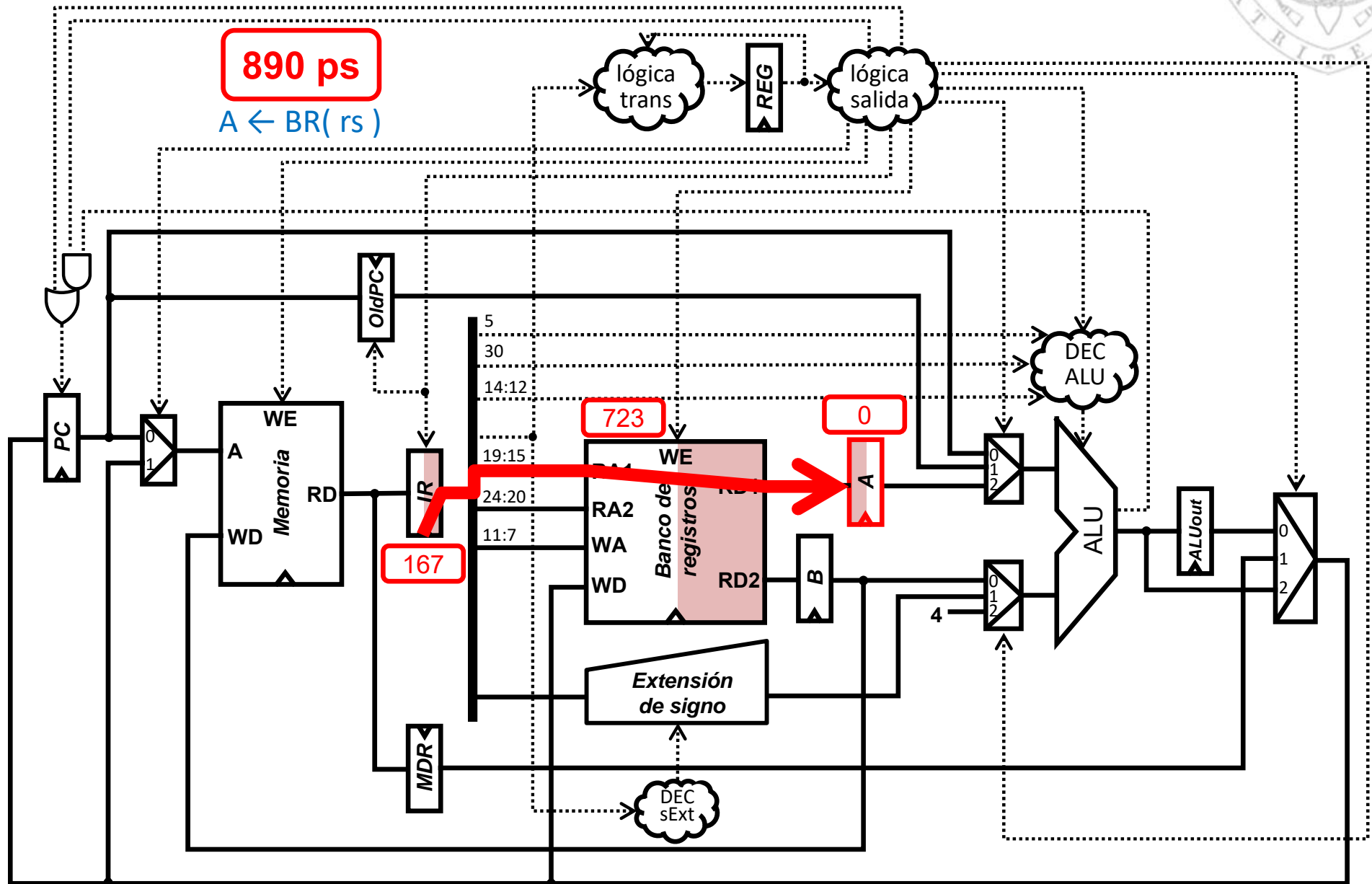
Estado S0 (salvado del PC): camino crítico





Cálculo del tiempo de ciclo

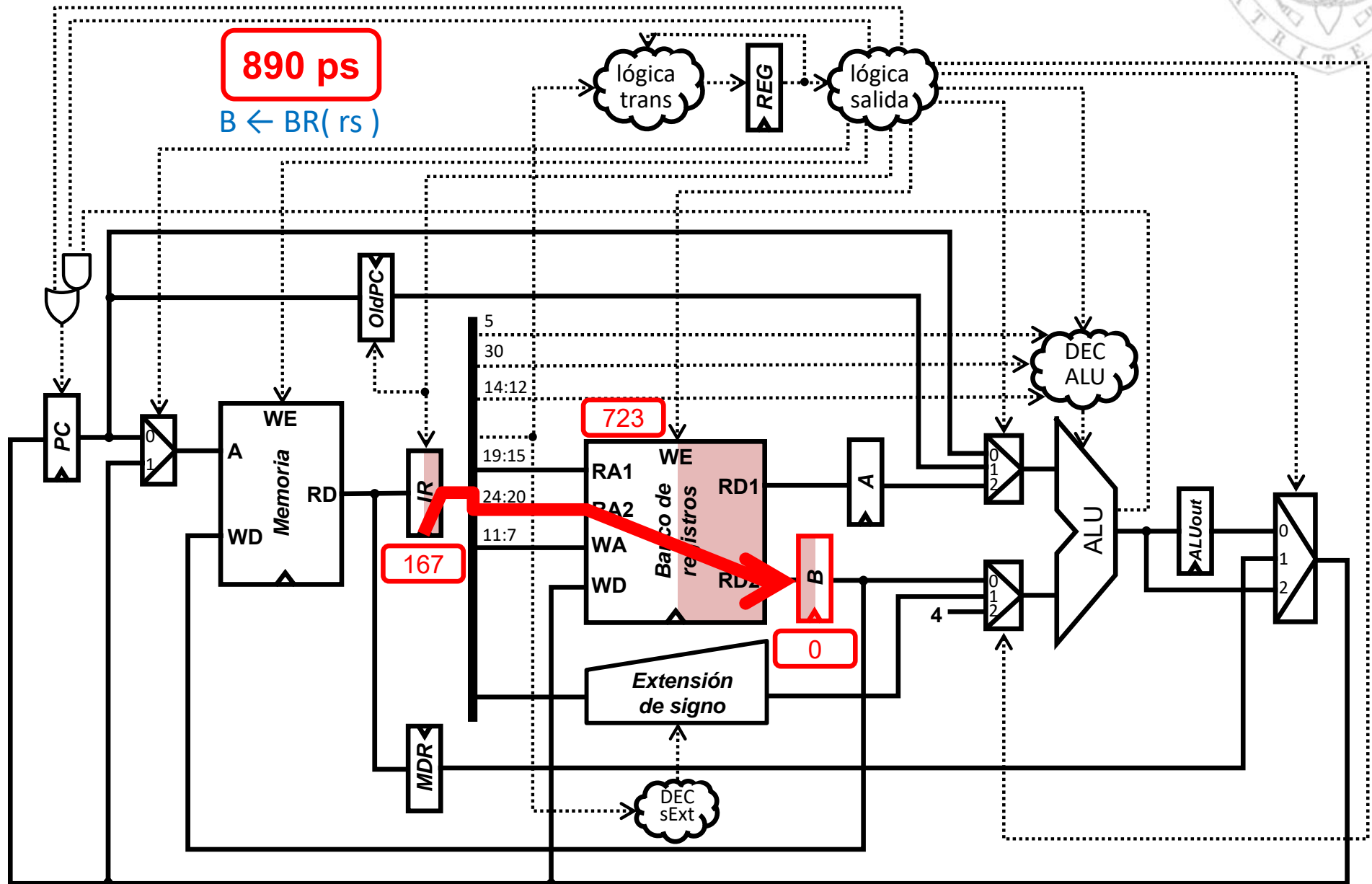
Estado S1 (búsqueda de operandos): camino crítico





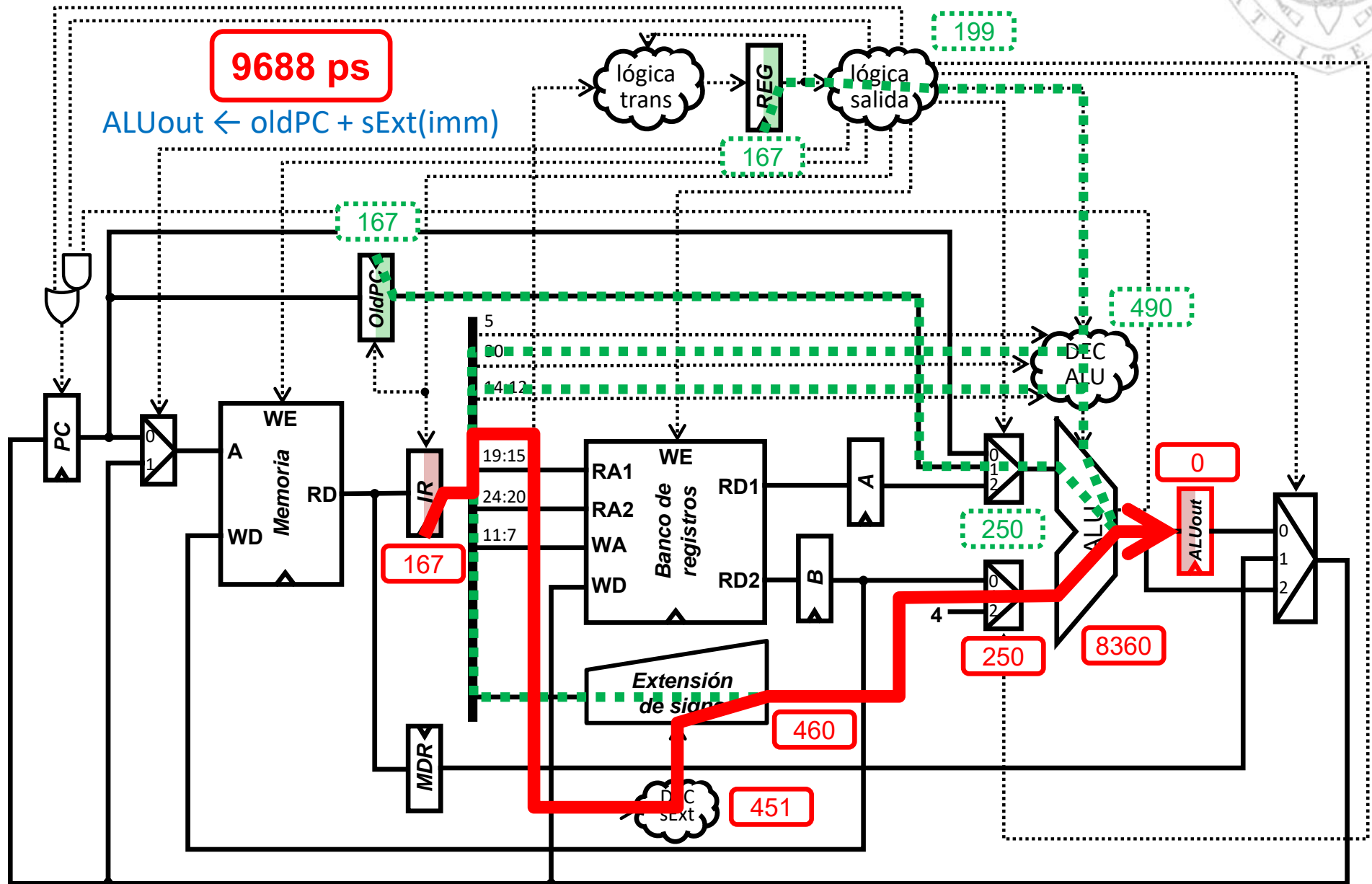
Cálculo del tiempo de ciclo

Estado S1 (búsqueda de operandos): camino crítico



Cálculo del tiempo de ciclo

Estado S1 (cálculo de la dirección de salto): camino crítico





Cálculo del tiempo de ciclo

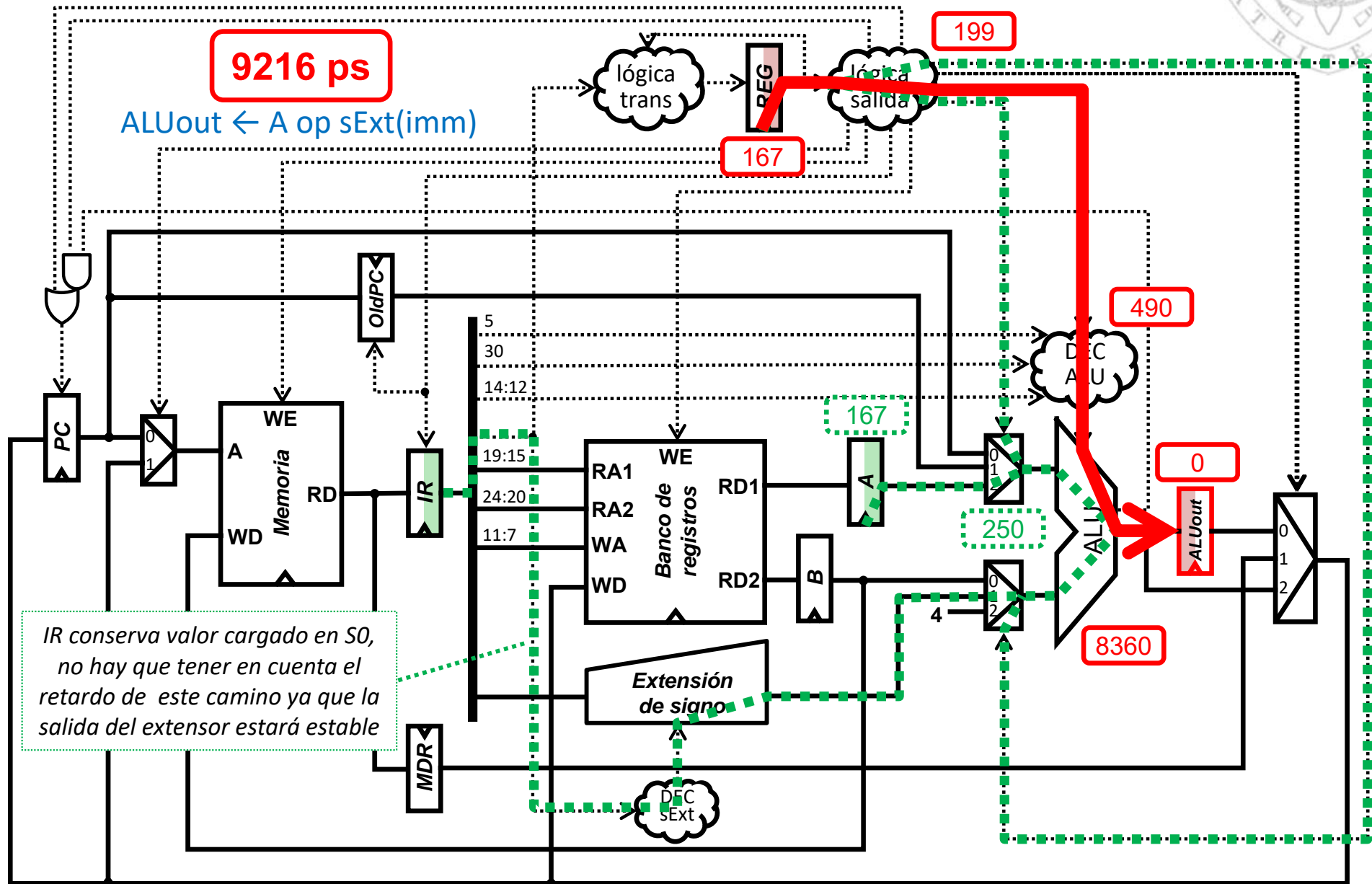
Estado S2 / S6 / S8 (cálculo en ALU): camino crítico

versión 27/10/23

tema 6:
Diseño multiciclo del procesador

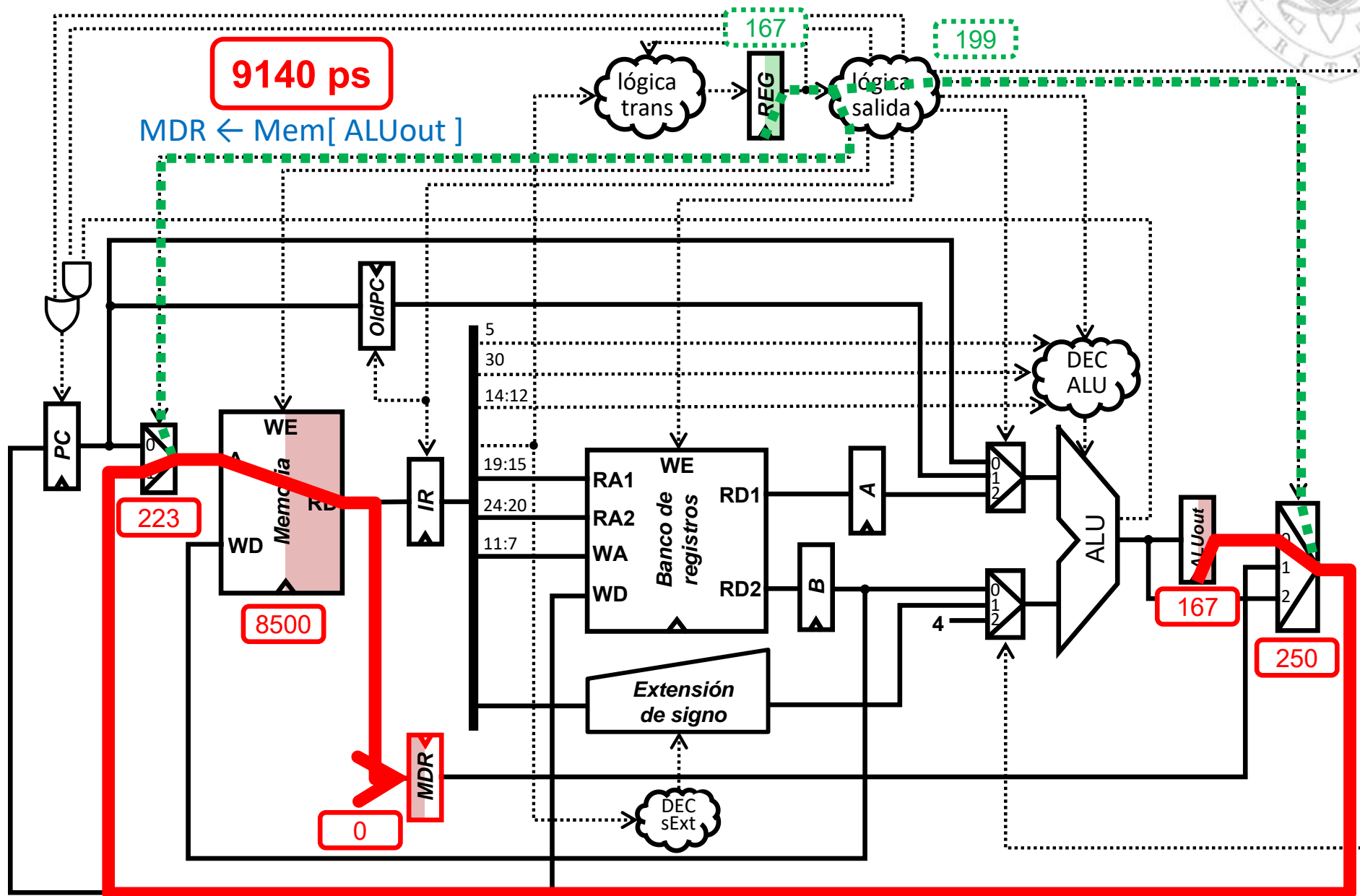
FC-2

72



Cálculo del tiempo de ciclo

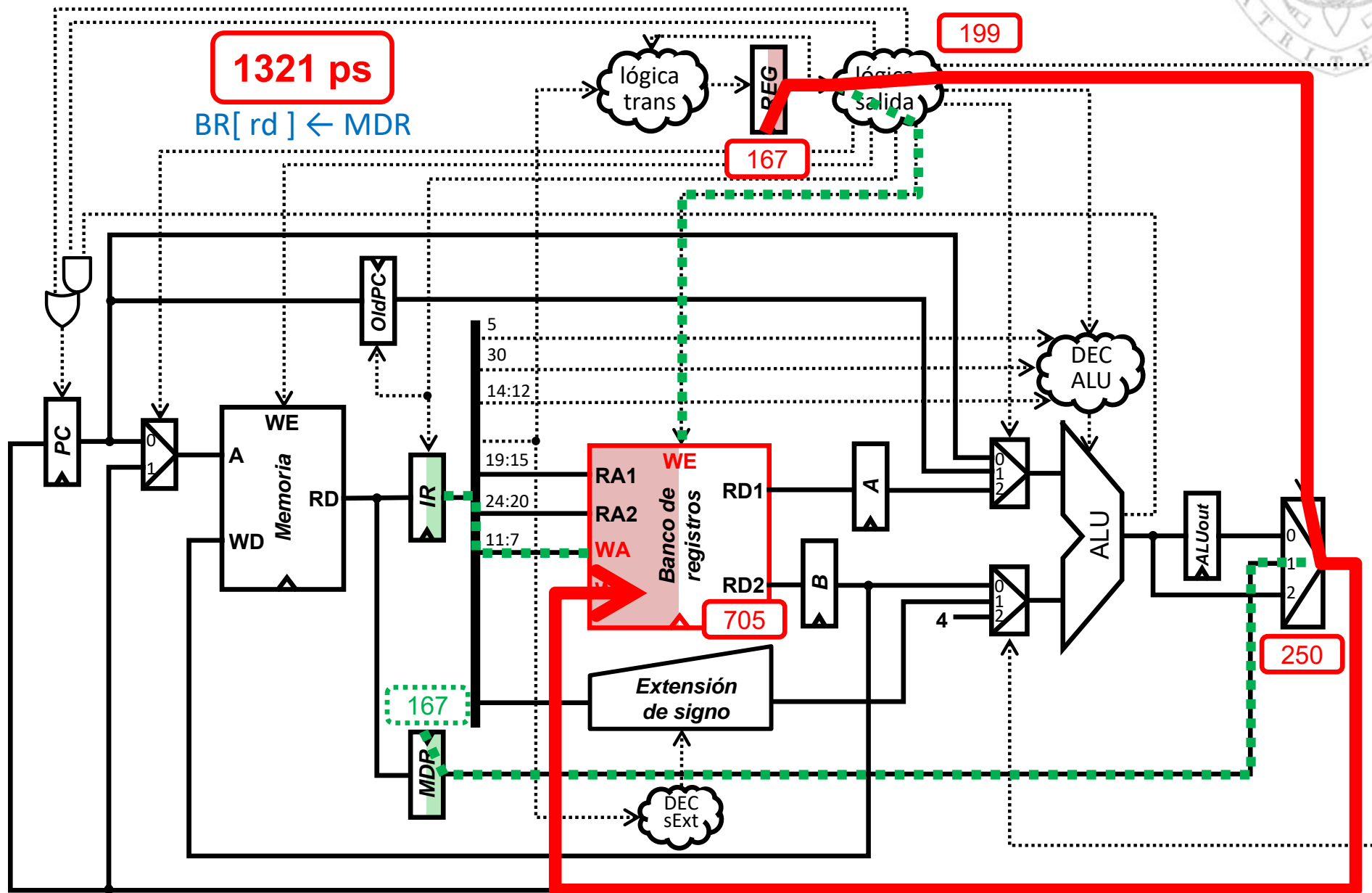
Estado S3 (lectura de memoria): camino crítico





Cálculo del tiempo de ciclo

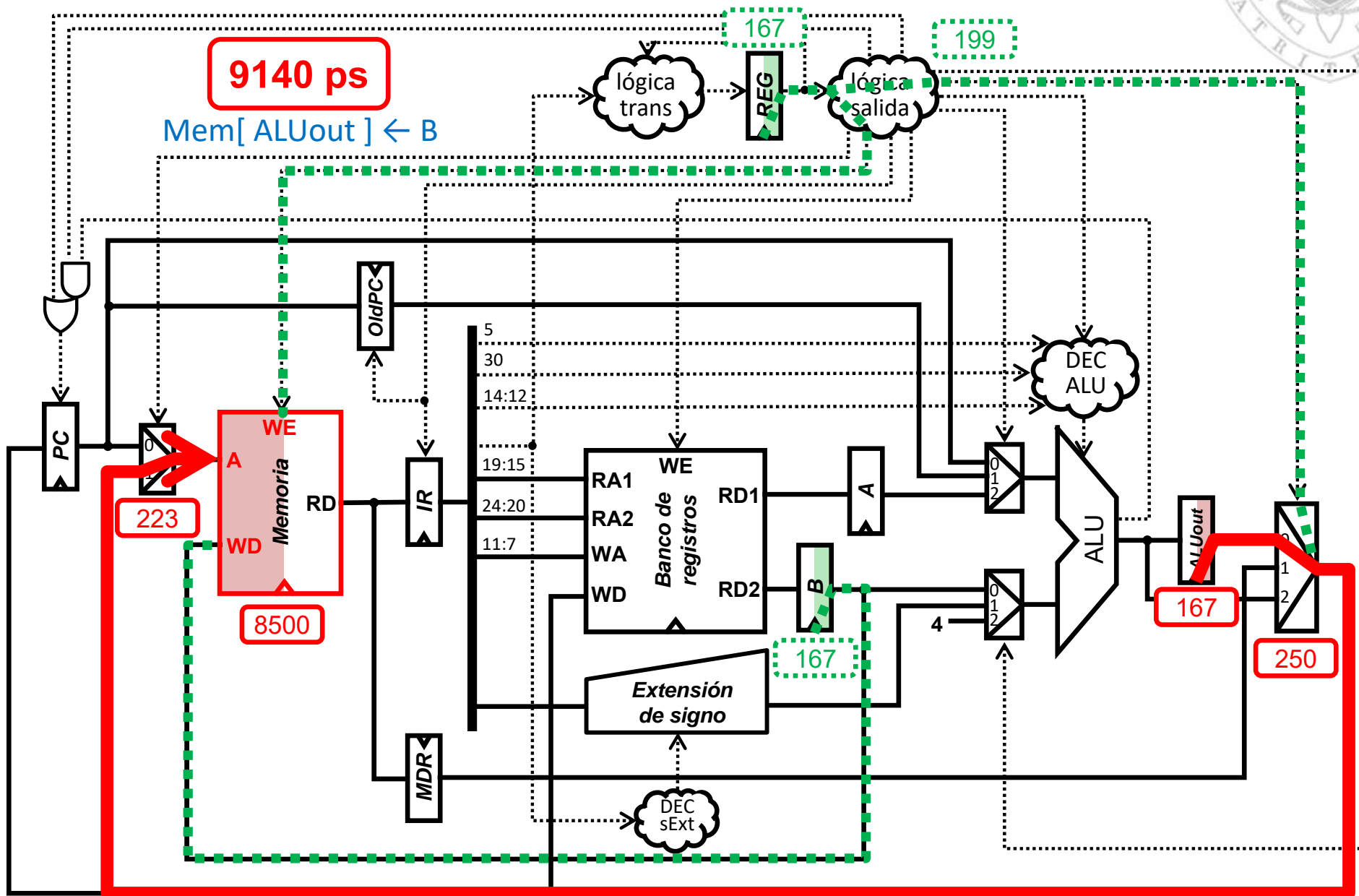
Estado S4 (escritura en el BR): camino crítico





Cálculo del tiempo de ciclo

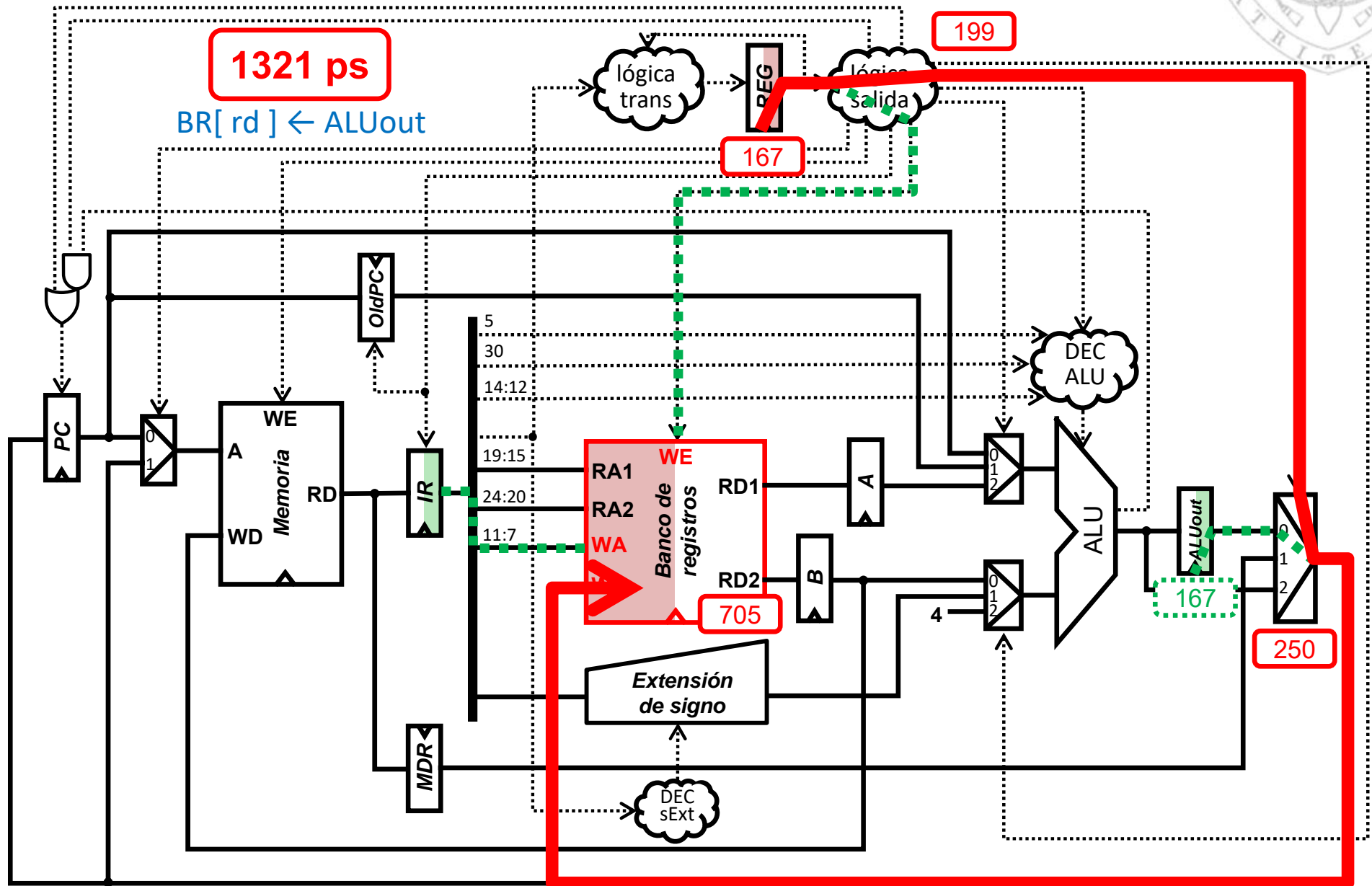
Estado S5 (escritura en memoria): camino crítico





Cálculo del tiempo de ciclo

Estado S7 (escritura en el BR): camino crítico





Aspectos tecnológicos

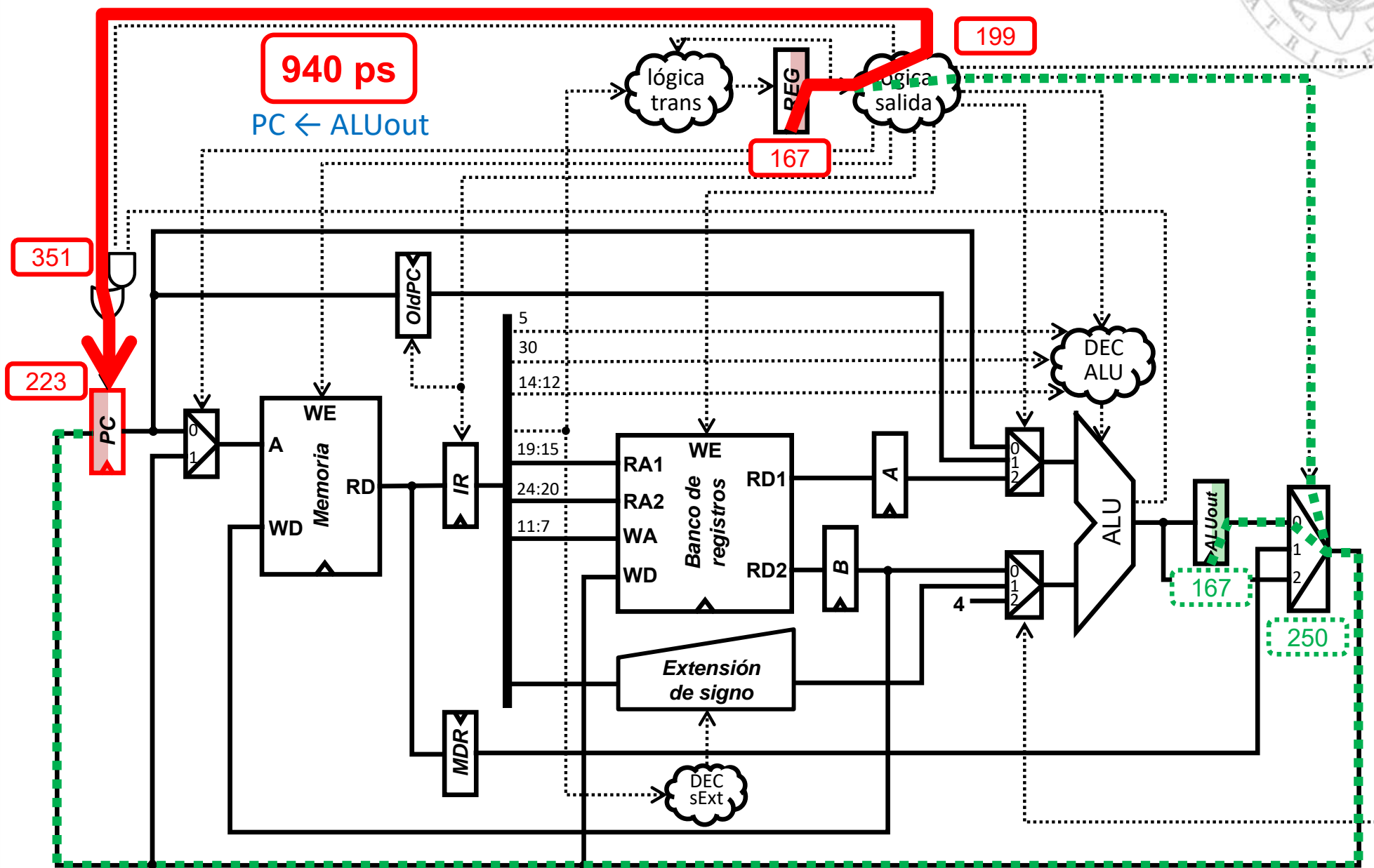
Estado S9 (actualización del PC): camino crítico

versión 27/10/23

tema 6:
Diseño multiciclo del procesador

FC-2

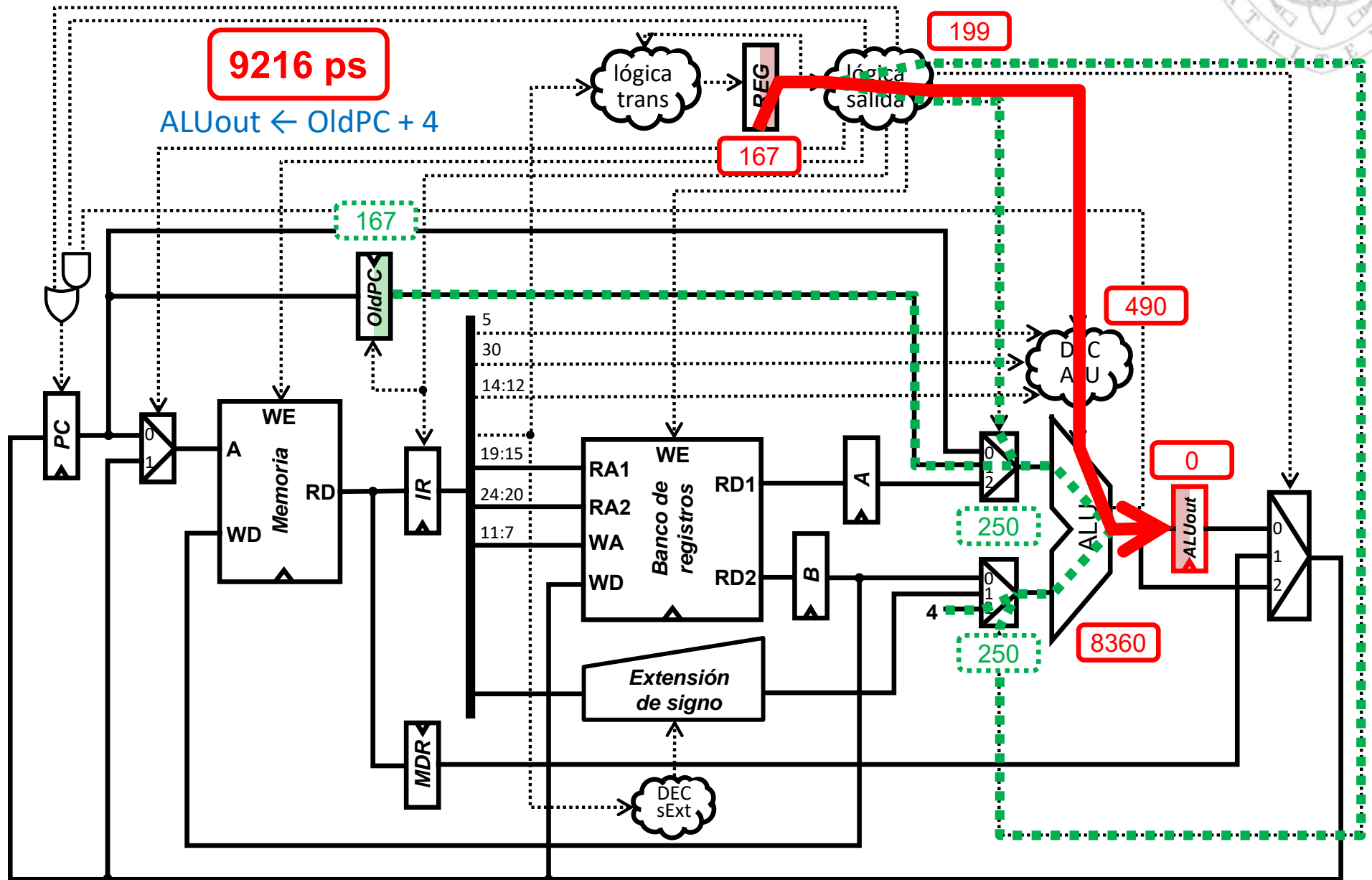
77





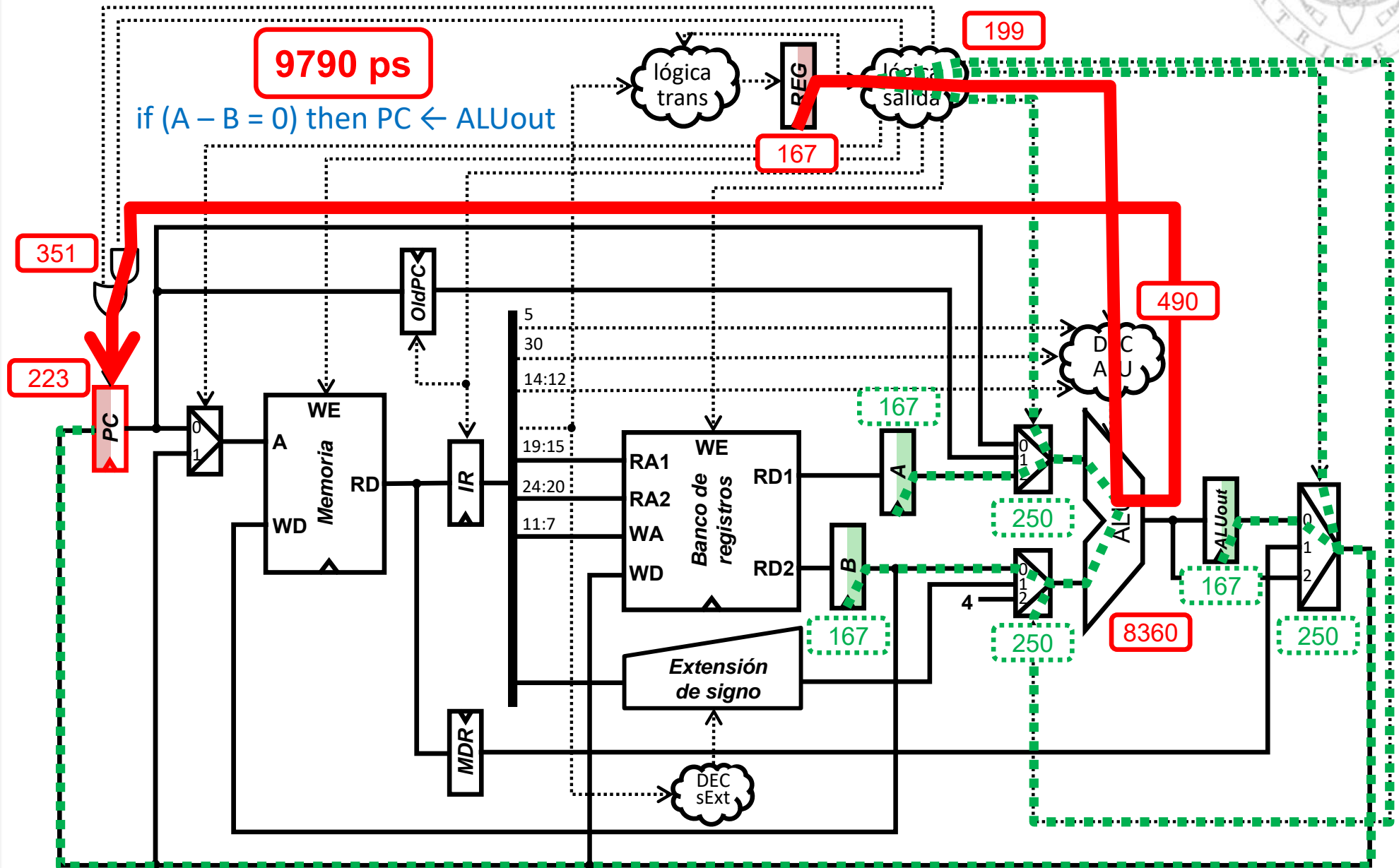
Cálculo del tiempo de ciclo

Estado S9 (cálculo dir. retorno): camino crítico



Cálculo del tiempo de ciclo

Estado S10: camino crítico



Acerca de *Creative Commons*



■ Licencia CC (**Creative Commons**)

- Ofrece algunos derechos a terceras personas bajo ciertas condiciones. Este documento tiene establecidas las siguientes:



Reconocimiento (*Attribution*):

En cualquier explotación de la obra autorizada por la licencia hará falta reconocer la autoría.



No comercial (*Non commercial*):

La explotación de la obra queda limitada a usos no comerciales.



Compartir igual (*Share alike*):

La explotación autorizada incluye la creación de obras derivadas siempre que mantengan la misma licencia al ser divulgadas.

Más información: <https://creativecommons.org/licenses/by-nc-sa/4.0/>